

Sesión 12.2: Distance-Based Indexing Methods

CS3102 EDA

Índice

1. Approximate Voronoi Diagram
2. Distance-Based Indexing Methods
3. M-Tree

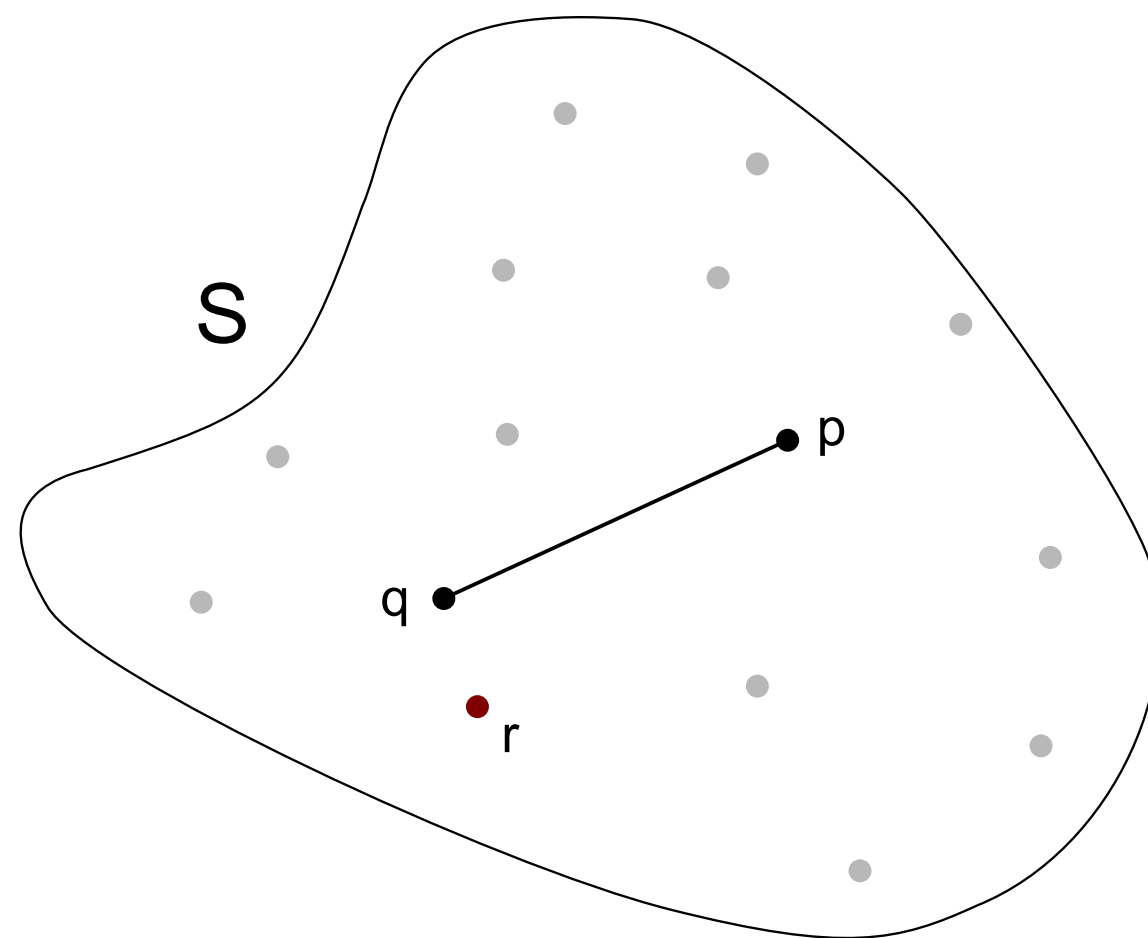


1



Approximate Voronoi Diagram (AVD)

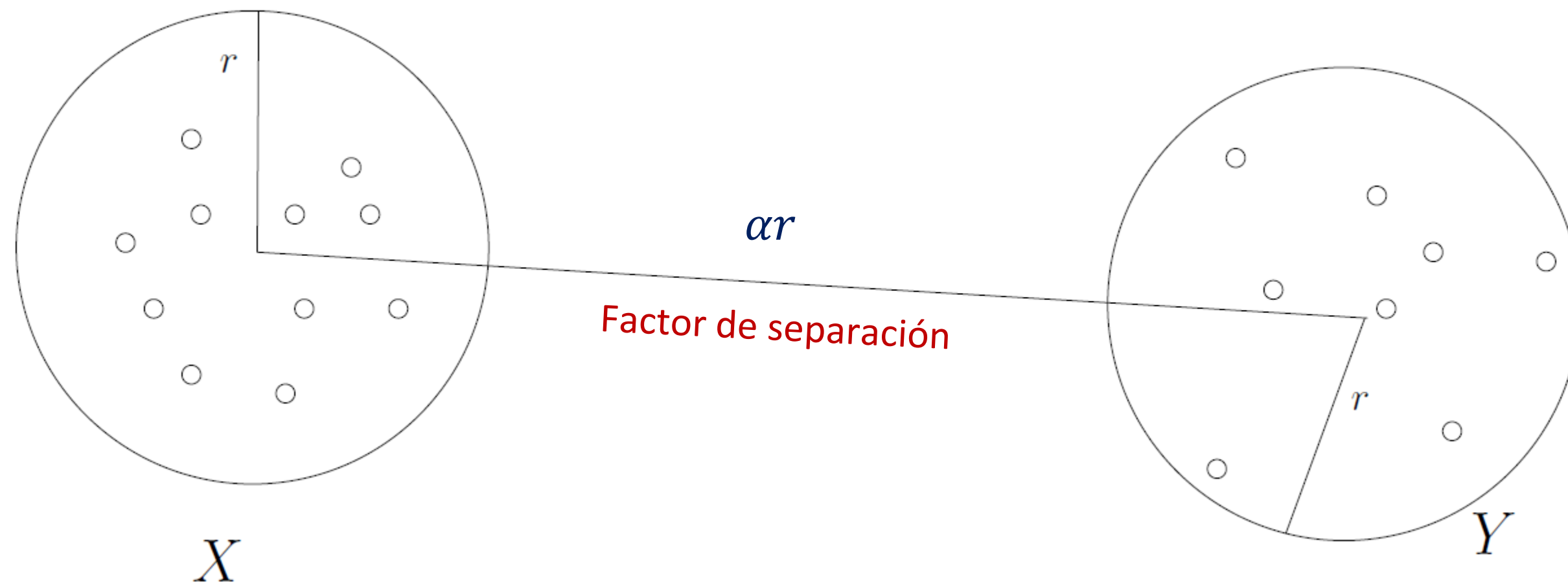
ϵ -nearest neighbor (ϵ -NN)



Candidato a vecino más cercano o'
Vecino más cercano real: o

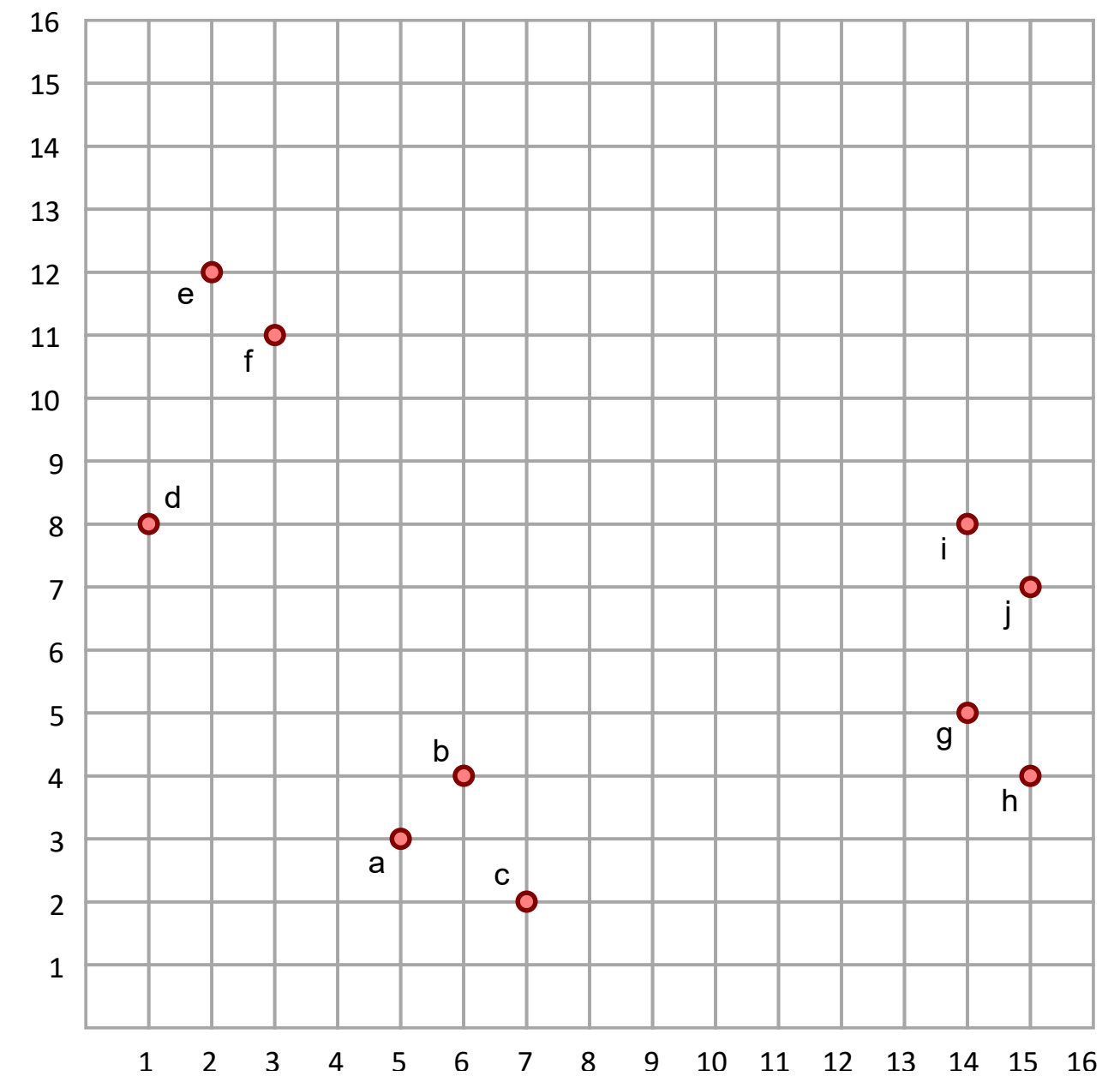
El punto p es ϵ -NN de q si:
 $d(q, o') \leq (1 + \epsilon) \cdot d(q, o)$

Well-Separated Pair Decomposition (WSPD)



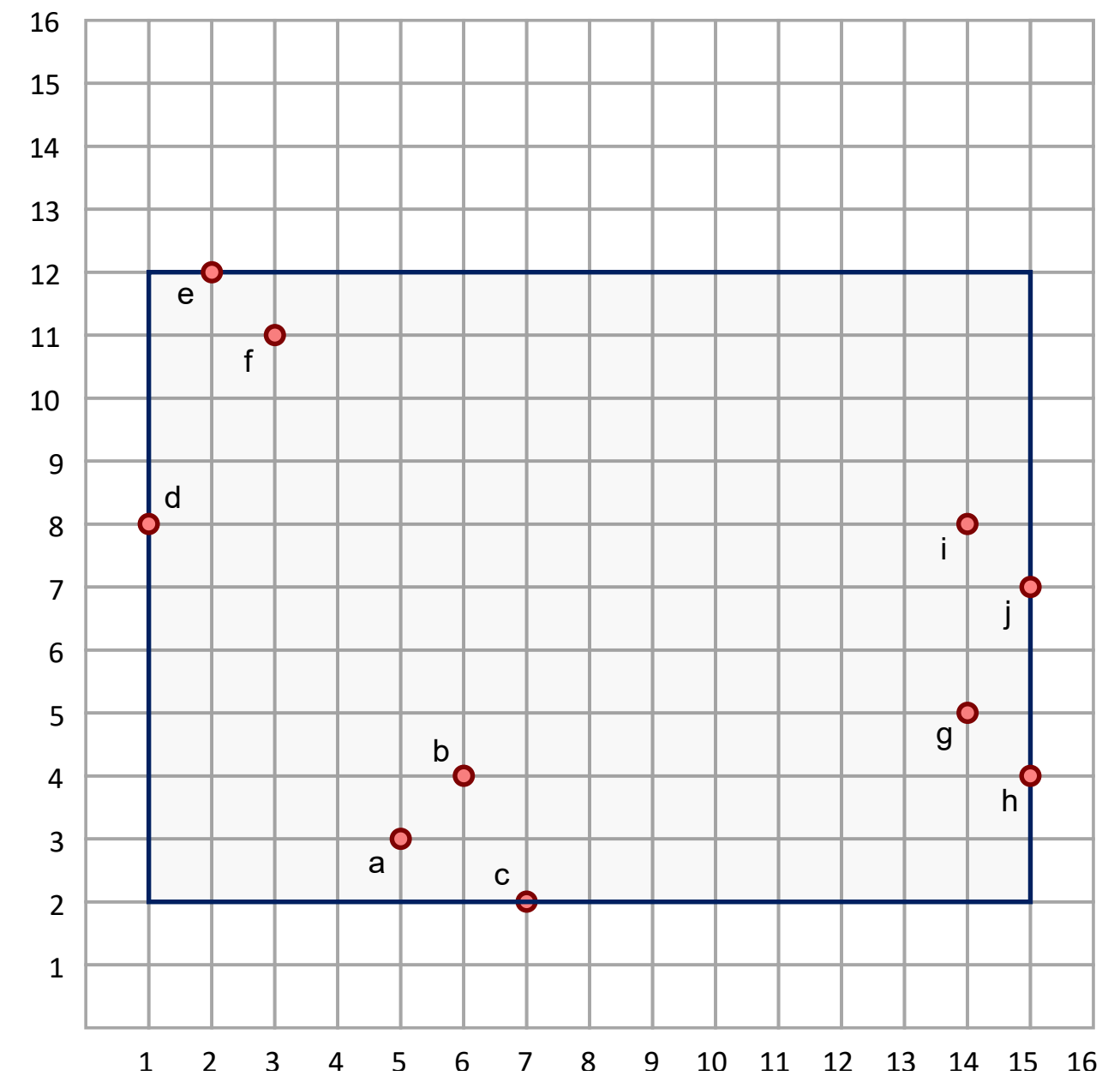
Fair split *tree*

Dividir el espacio recursivamente por la
 dimensión más grande del MBB.
 Construir un árbol binario a partir de las
 particiones.



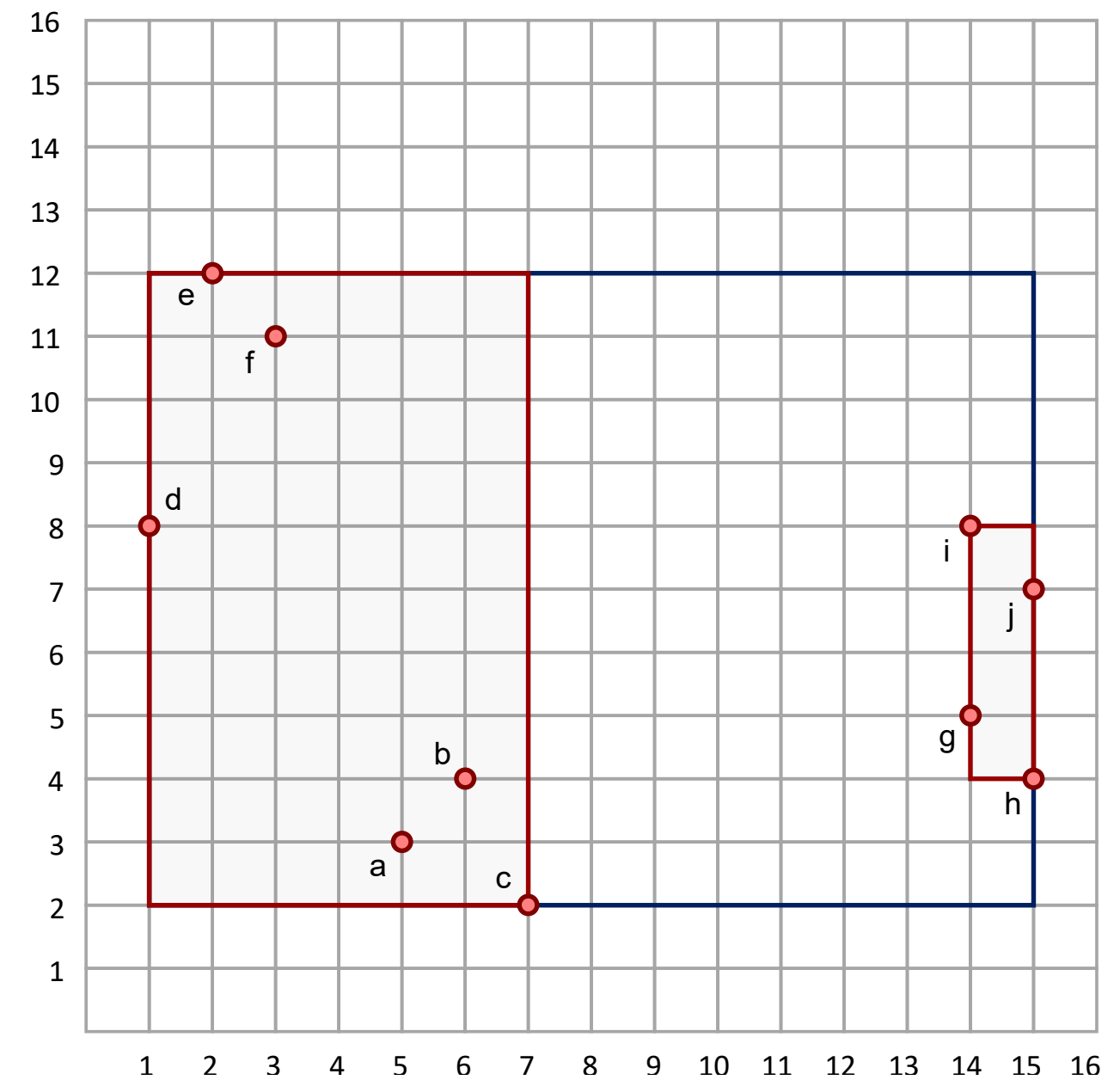
Fair split tree

Dividir el espacio recursivamente por la
 dimensión más grande del MBB.
 Construir un árbol binario a partir de las
 particiones.



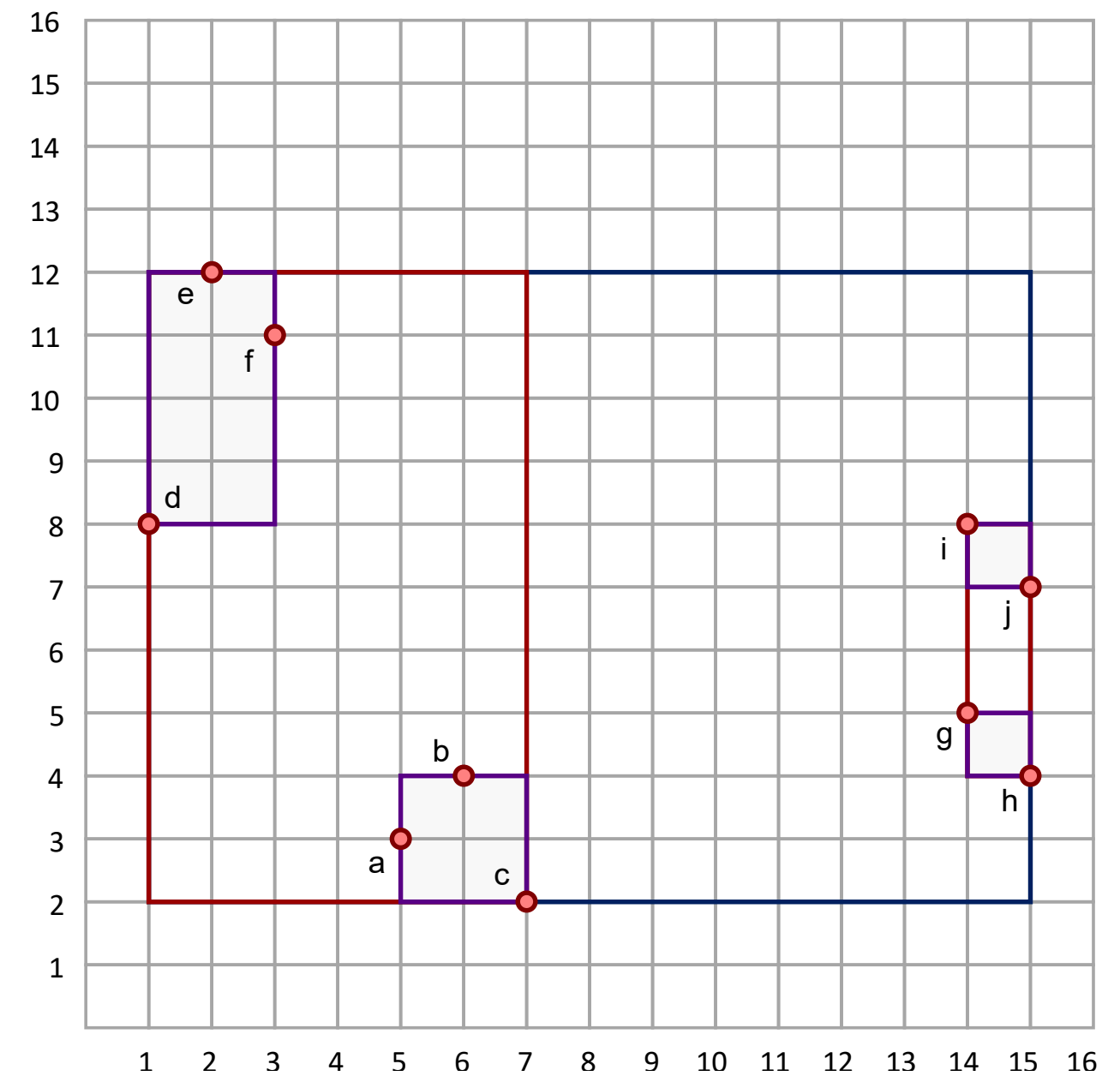
Fair split *tree*

Dividir el espacio recursivamente por la
 dimensión más grande del MBB.
 Construir un árbol binario a partir de las
 particiones.



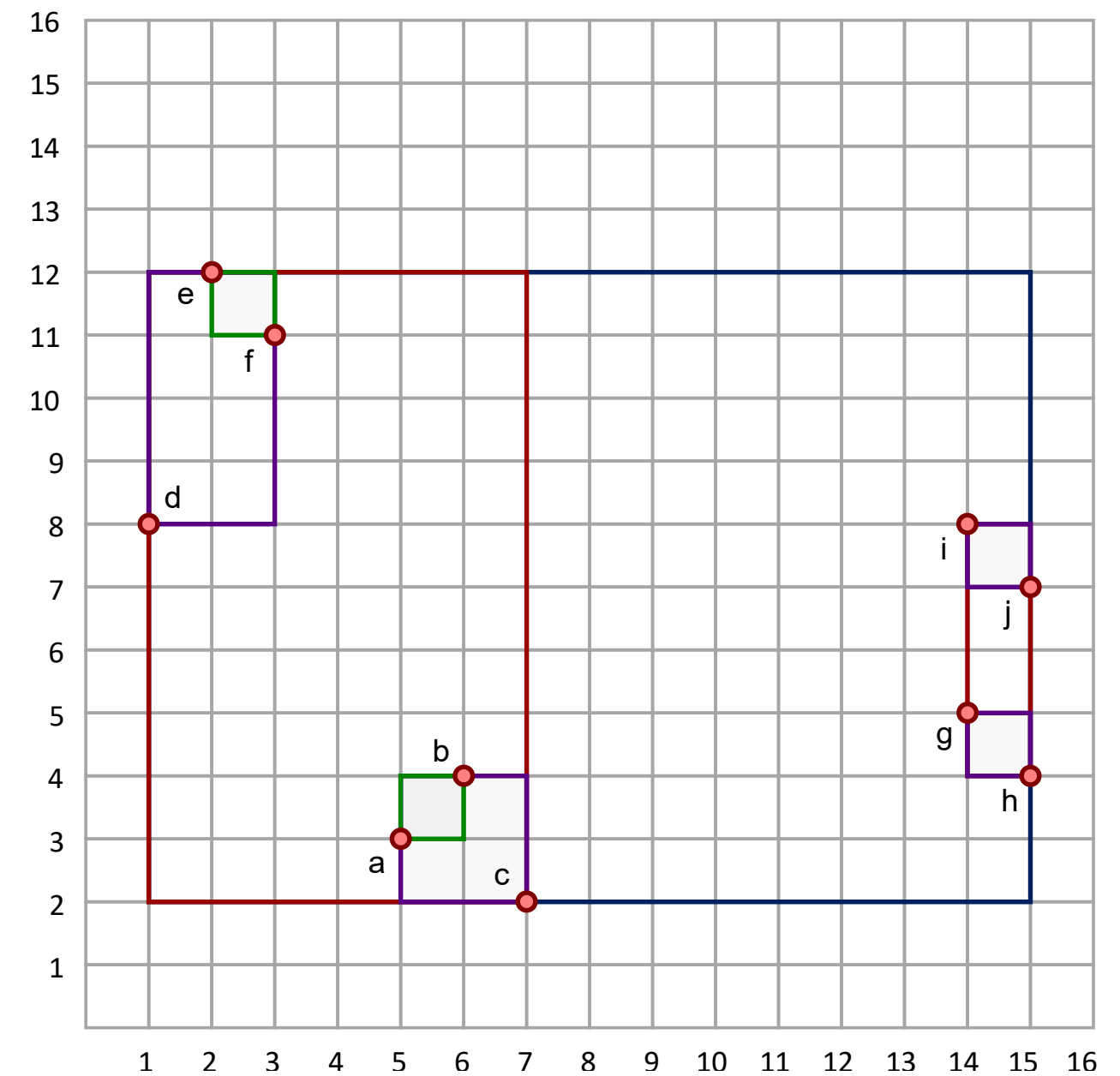
Fair split tree

Dividir el espacio recursivamente por la dimensión más grande del MBB.
Construir un árbol binario a partir de las particiones.

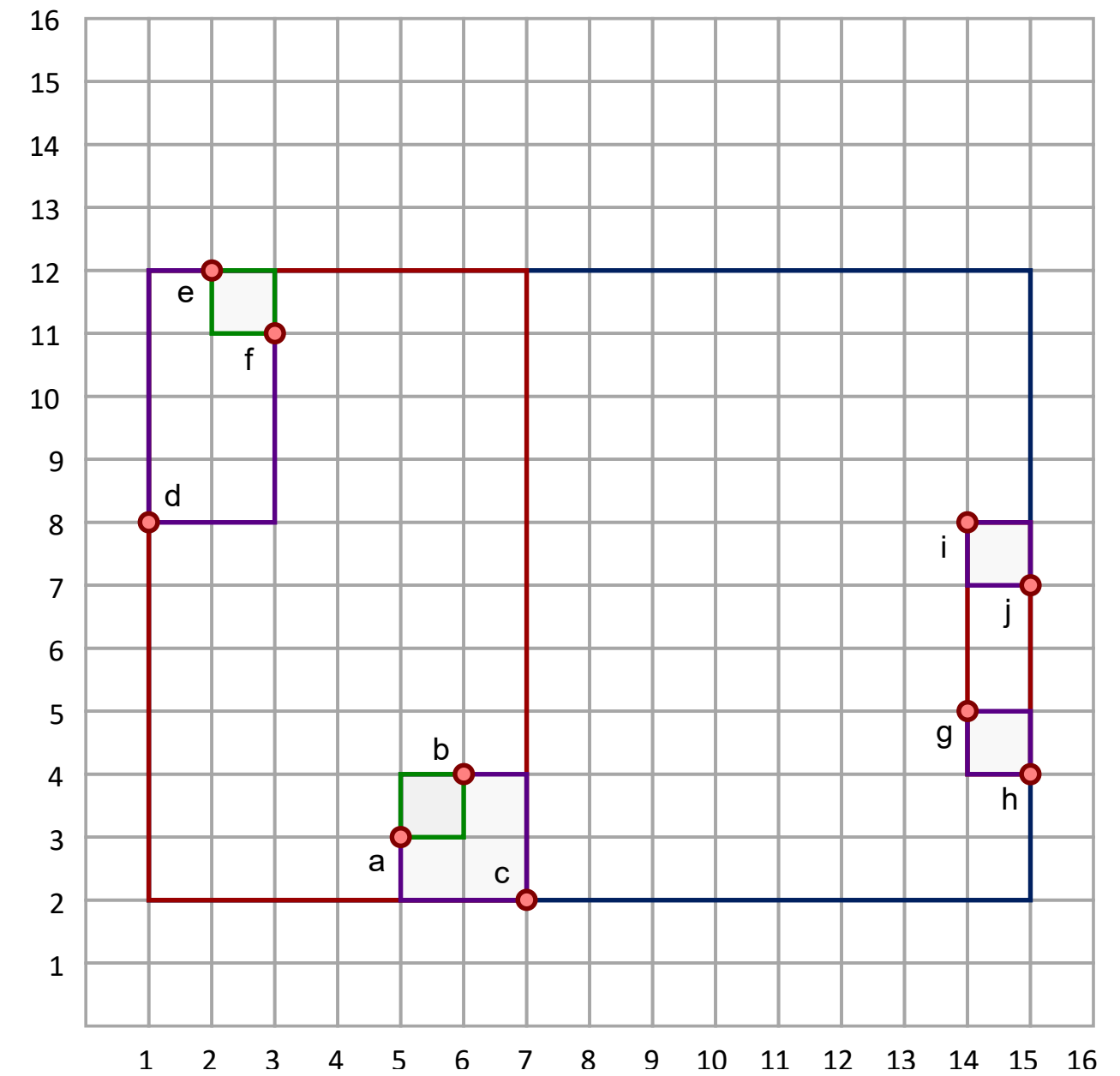
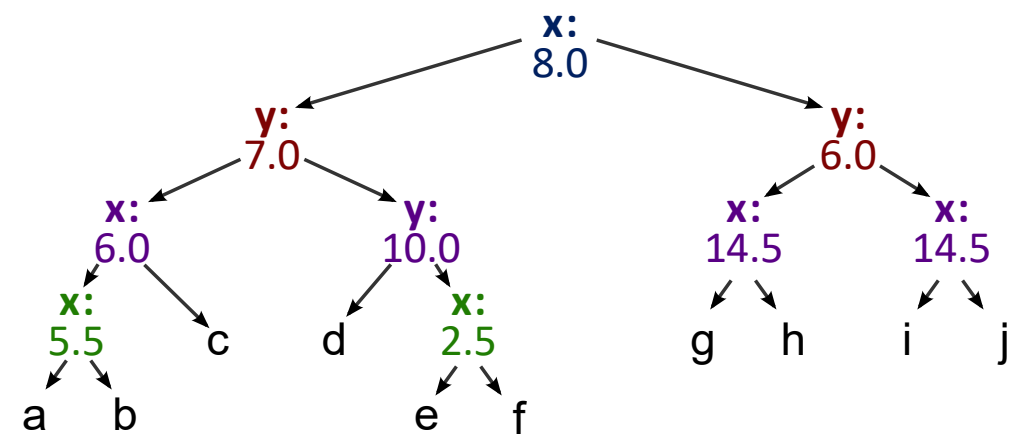


Fair split tree

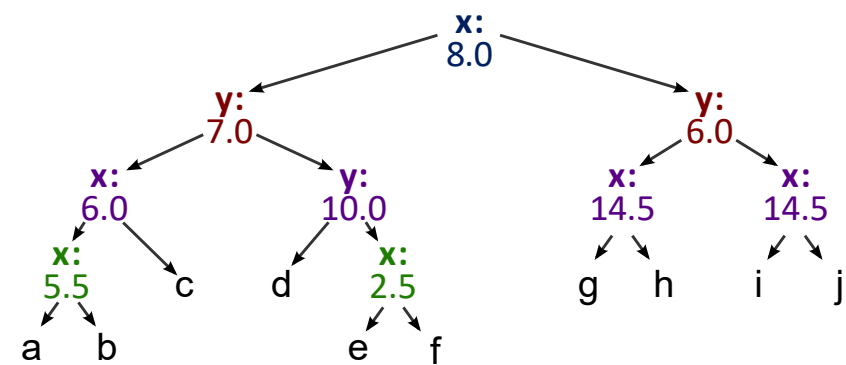
Dividir el espacio recursivamente por la dimensión más grande del MBB.
Construir un árbol binario a partir de las particiones.



Fair split tree

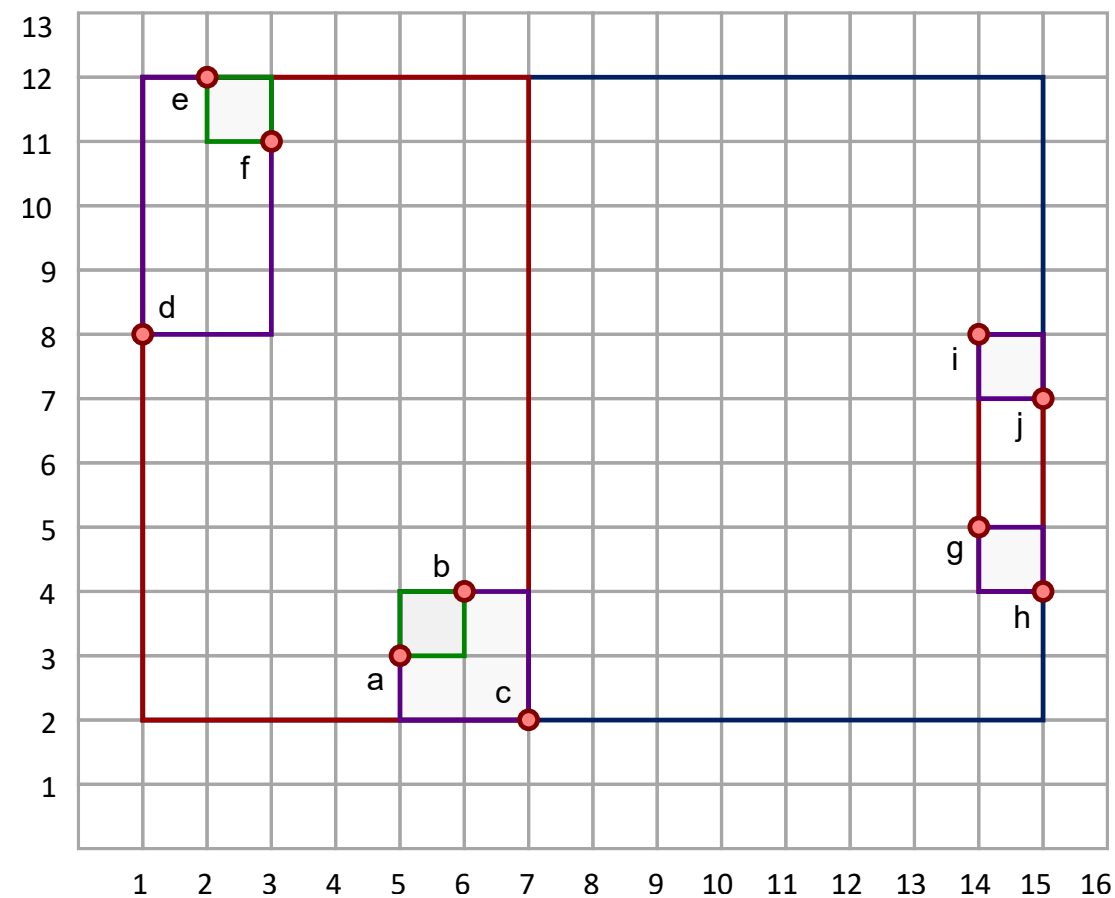


Well-Separated Pair Decomposition (WSPD)

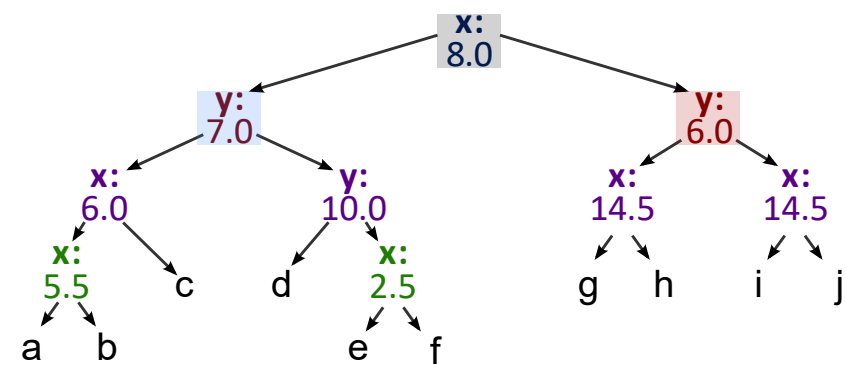


Revisar los hijos de todos los nodos internos

Verificar si son WSP

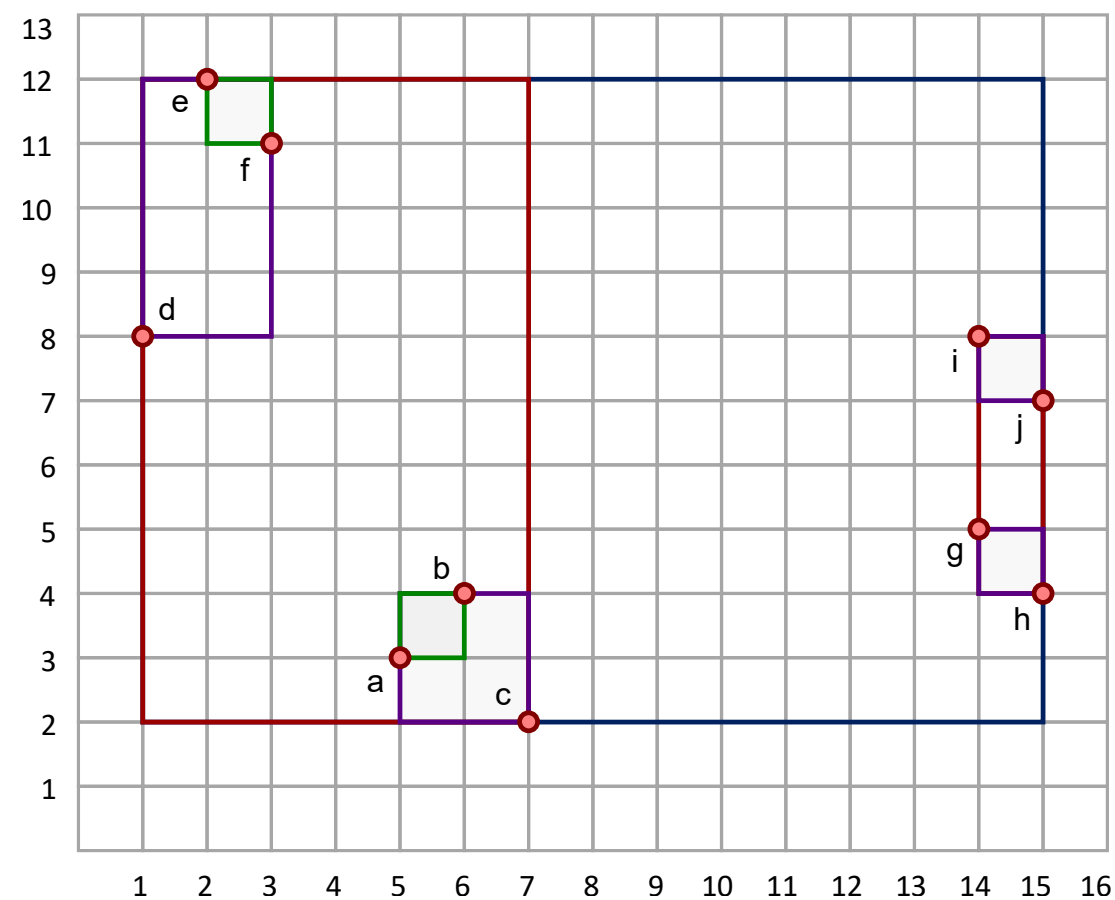


Well-Separated Pair Decomposition (WSPD)

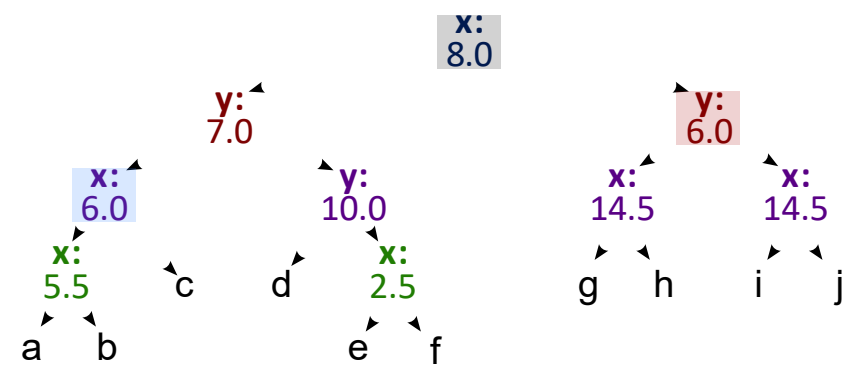


Revisar los hijos de todos los nodos internos

Verificar si son WSP



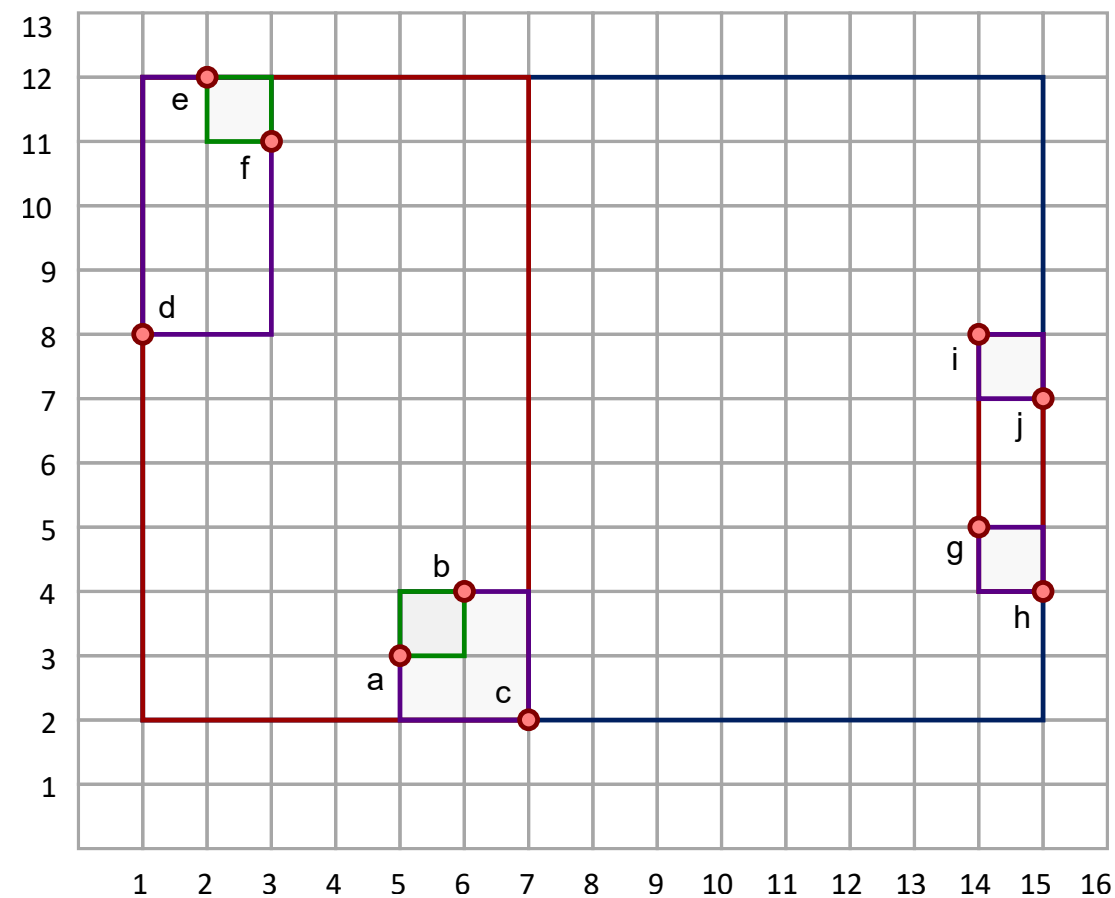
Well-Separated Pair Decomposition (WSPD)



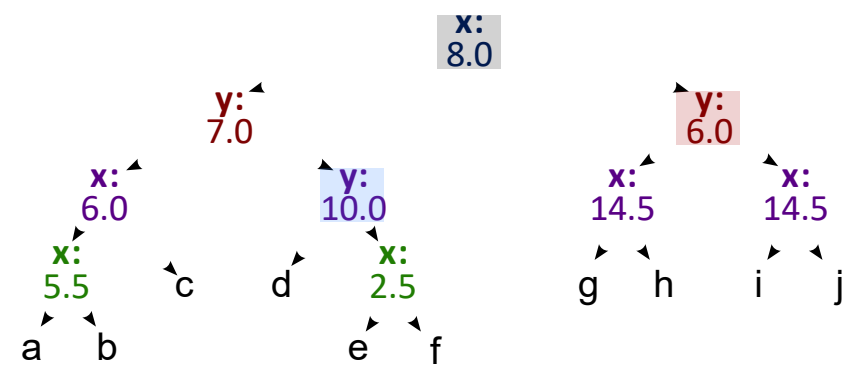
Revisar los hijos de todos los nodos internos

Verificar si son WSP

$\{a, b, c\}, \{g, h, i, j\}$



Well-Separated Pair Decomposition (WSPD)

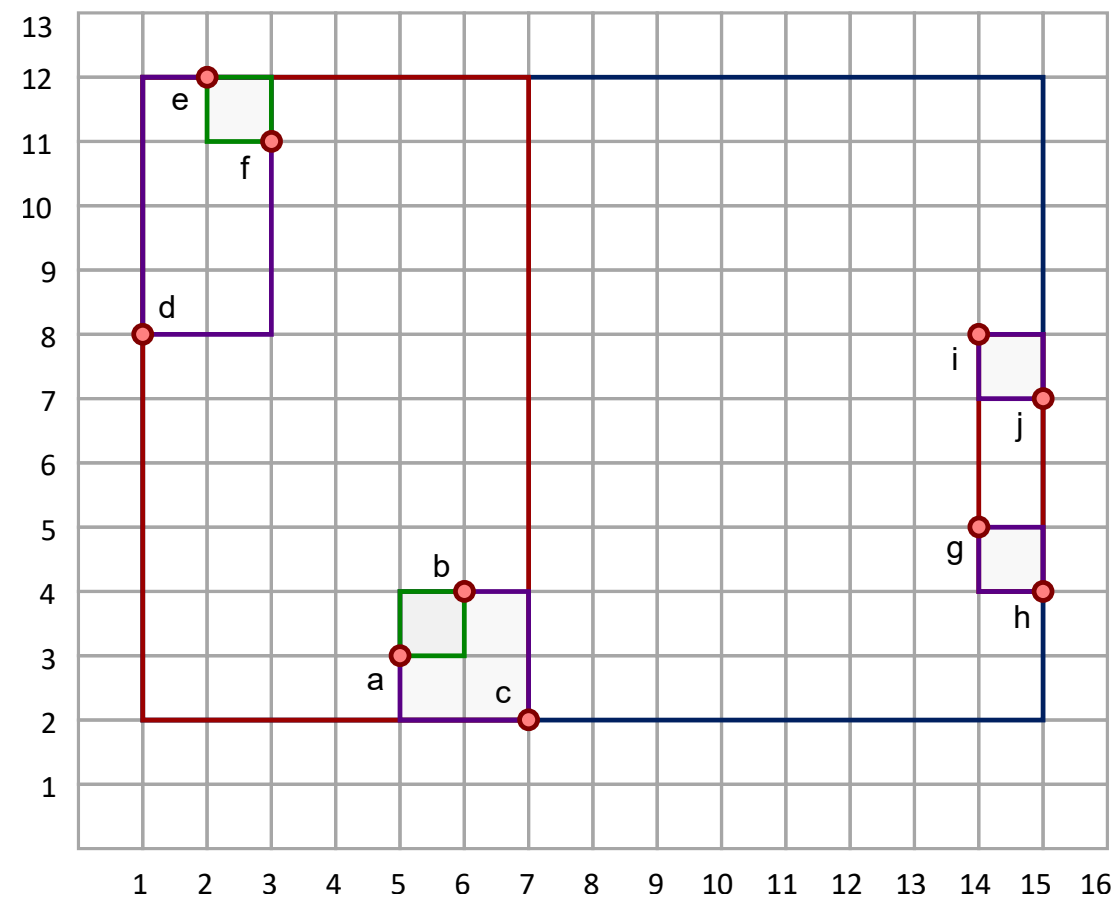


Revisar los hijos de todos los nodos internos

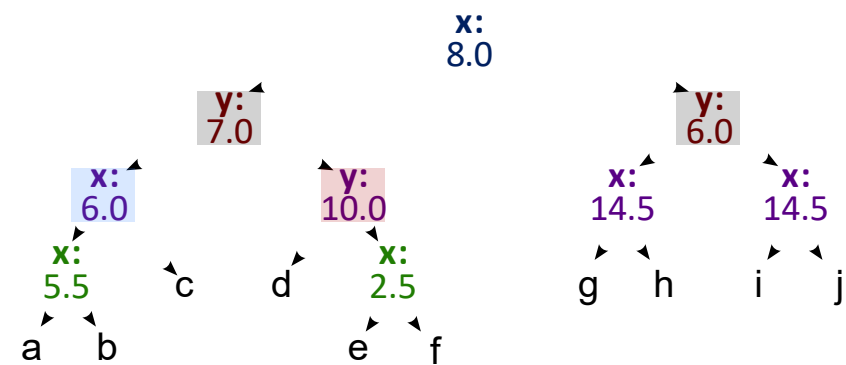
Verificar si son WSP

$\{a, b, c\}, \{g, h, i, j\}$

$\{d, e, f\}, \{g, h, i, j\}$

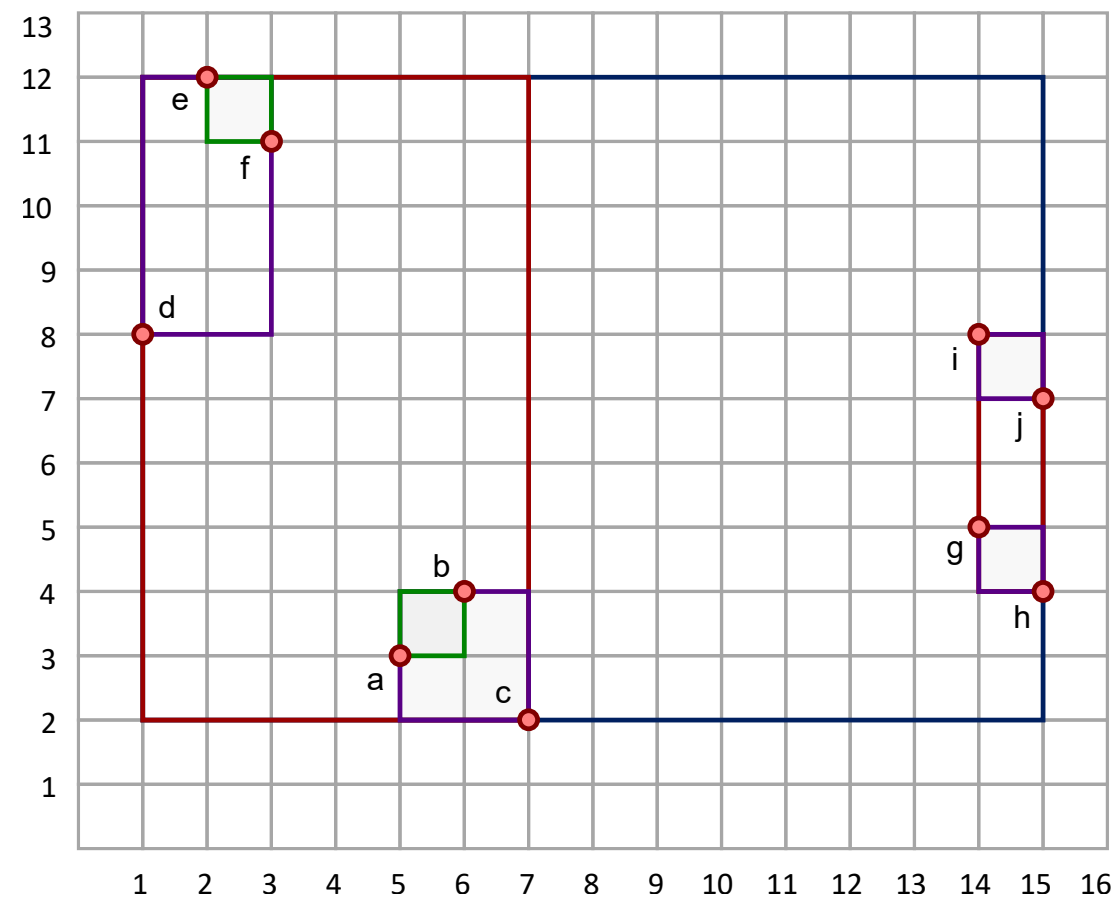


Well-Separated Pair Decomposition (WSPD)



Revisar los hijos de todos los nodos internos

Verificar si son WSP

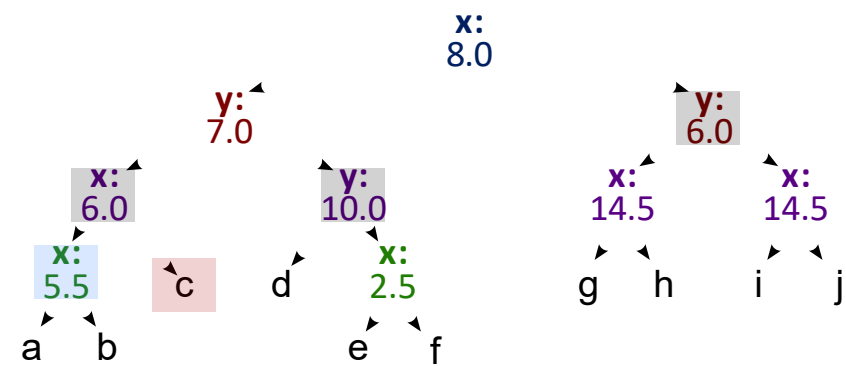


$\{a, b, c\}, \{g, h, i, j\}$

$\{d, e, f\}, \{g, h, i, j\}$

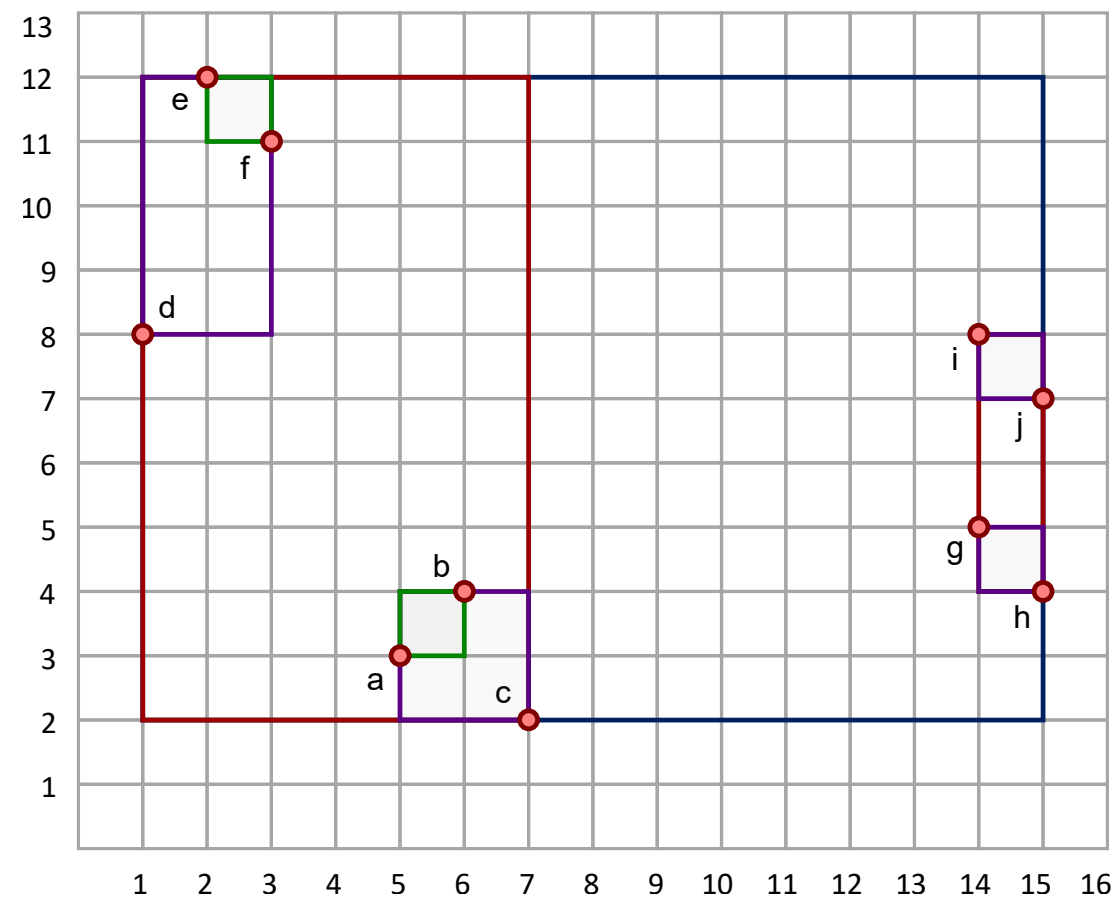
$\{a, b, c\}, \{d, e, f\}$

Well-Separated Pair Decomposition (WSPD)



Revisar los hijos de todos los nodos internos

Verificar si son WSP



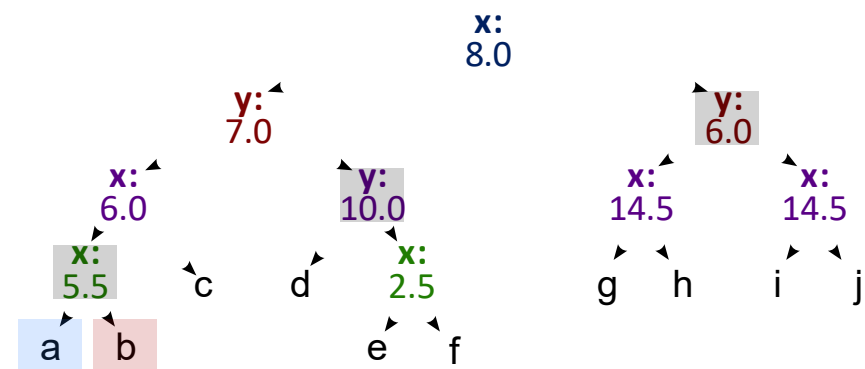
$\{a, b, c\}, \{g, h, i, j\}$

$\{d, e, f\}, \{g, h, i, j\}$

$\{a, b, c\}, \{d, e, f\}$

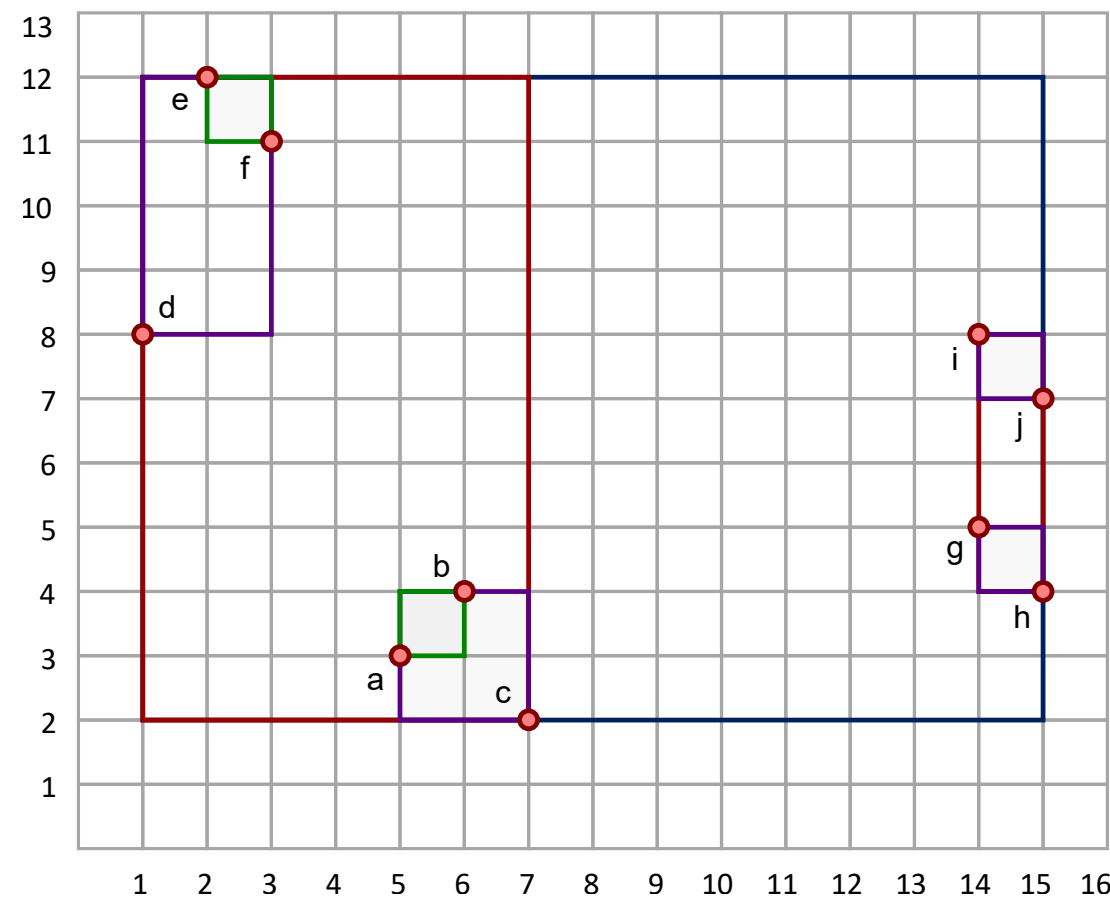
$\{a, b\}, \{c\}$

Well-Separated Pair Decomposition (WSPD)



Revisar los hijos de todos los nodos internos

Verificar si son WSP



$\{a, b, c\}, \{g, h, i, j\}$

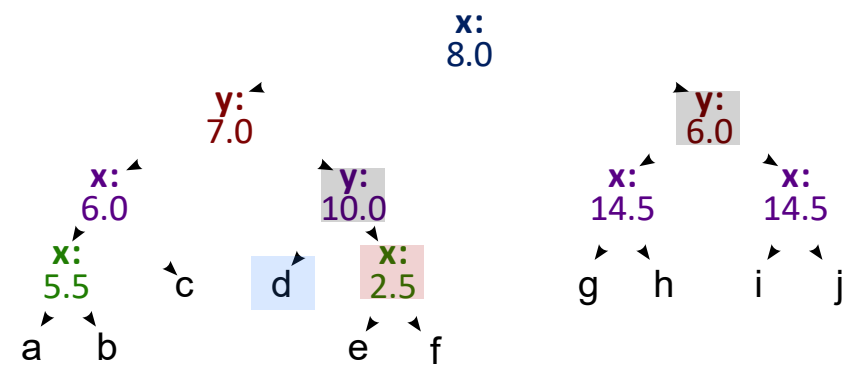
$\{d, e, f\}, \{g, h, i, j\}$

$\{a, b, c\}, \{d, e, f\}$

$\{a, b\}, \{c\}$

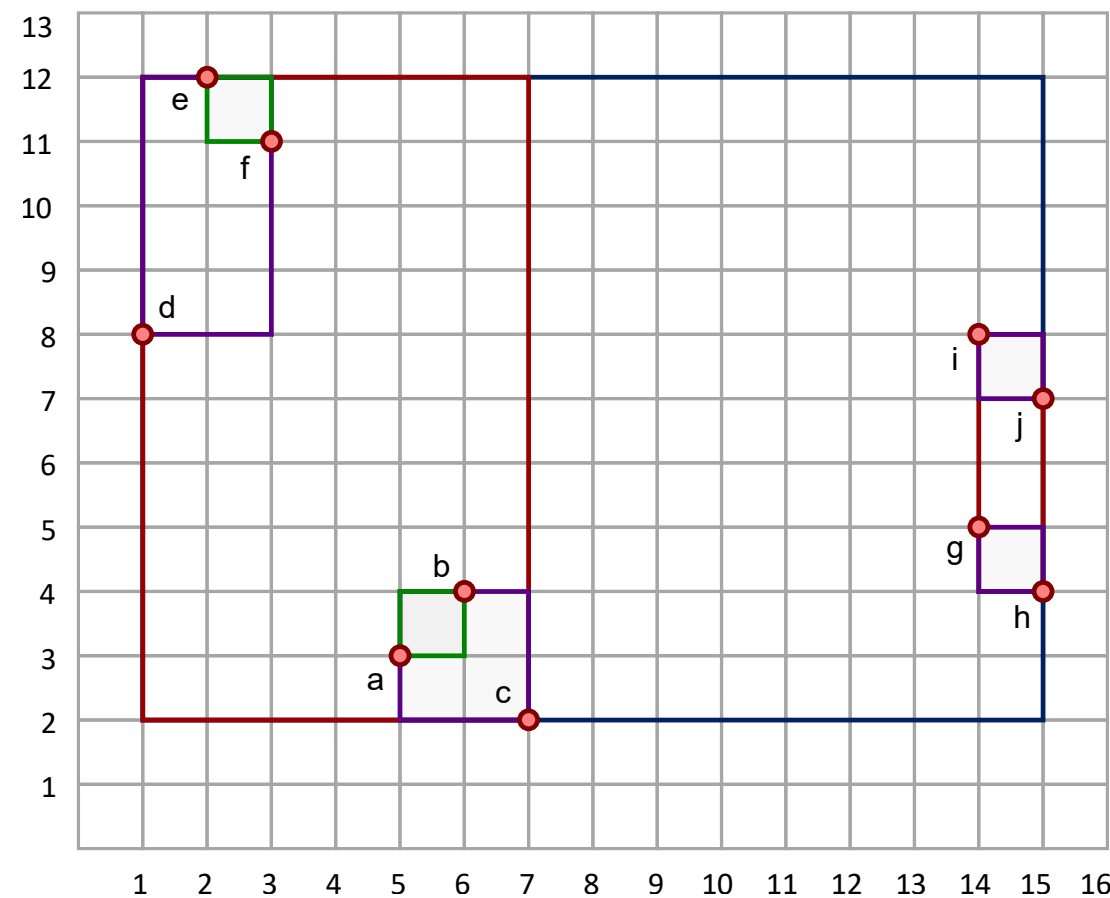
$\{a\}, \{b\}$

Well-Separated Pair Decomposition (WSPD)



Revisar los hijos de todos los nodos internos

Verificar si son WSP



$\{a, b, c\}, \{g, h, i, j\}$

$\{d, e, f\}, \{g, h, i, j\}$

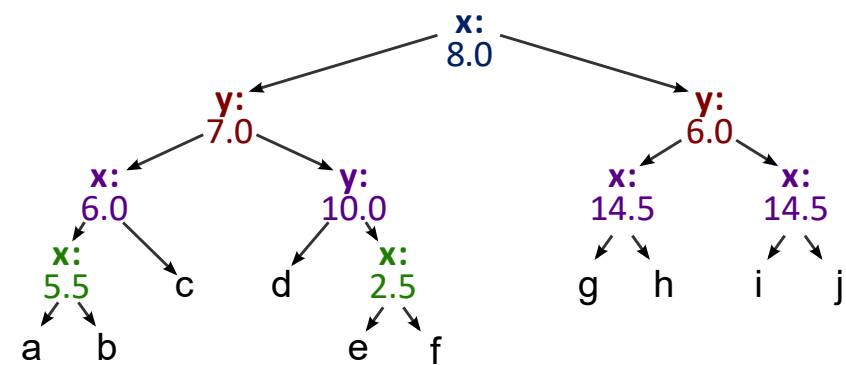
$\{a, b, c\}, \{d, e, f\}$

$\{a, b\}, \{c\}$

$\{a\}, \{b\}$

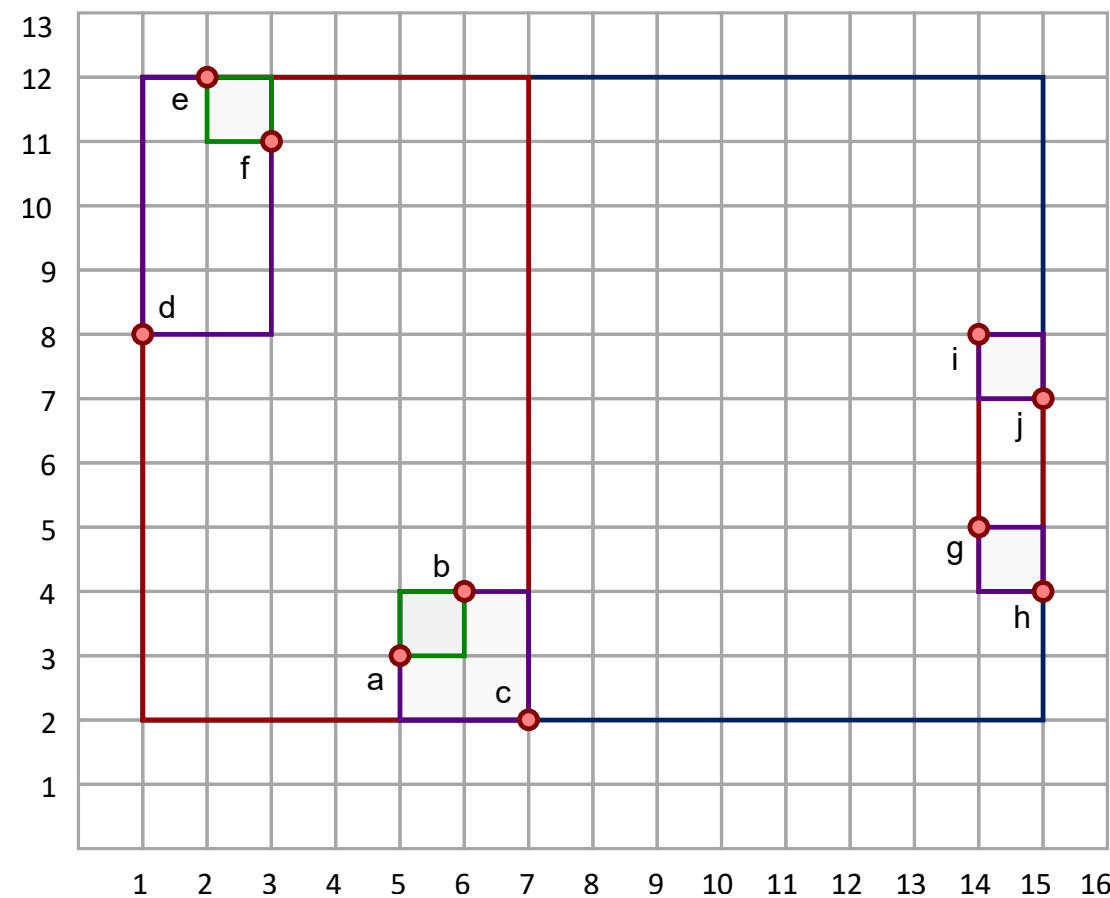
$\{d\}, \{e, f\}$

Well-Separated Pair Decomposition (WSPD)



Revisar los hijos de todos los nodos internos

Verificar si son WSP



$\{a, b, c\}, \{g, h, i, j\}$

$\{d, e, f\}, \{g, h, i, j\}$

$\{a, b, c\}, \{d, e, f\}$

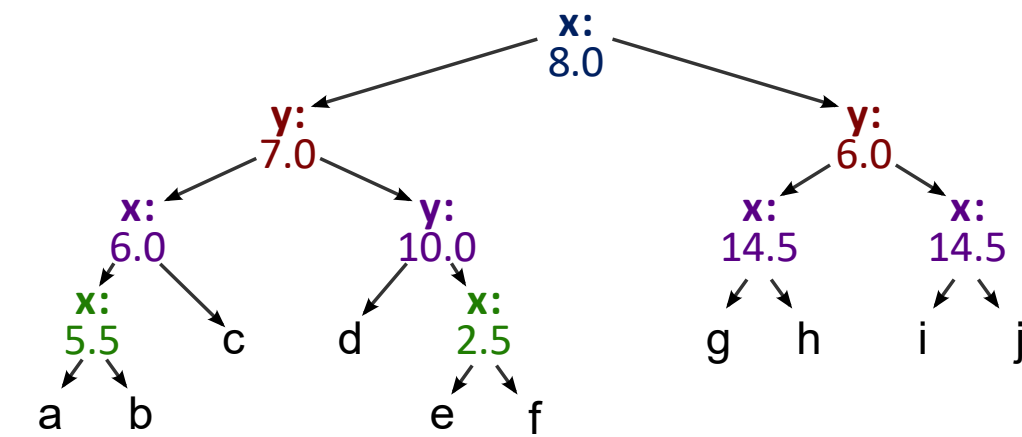
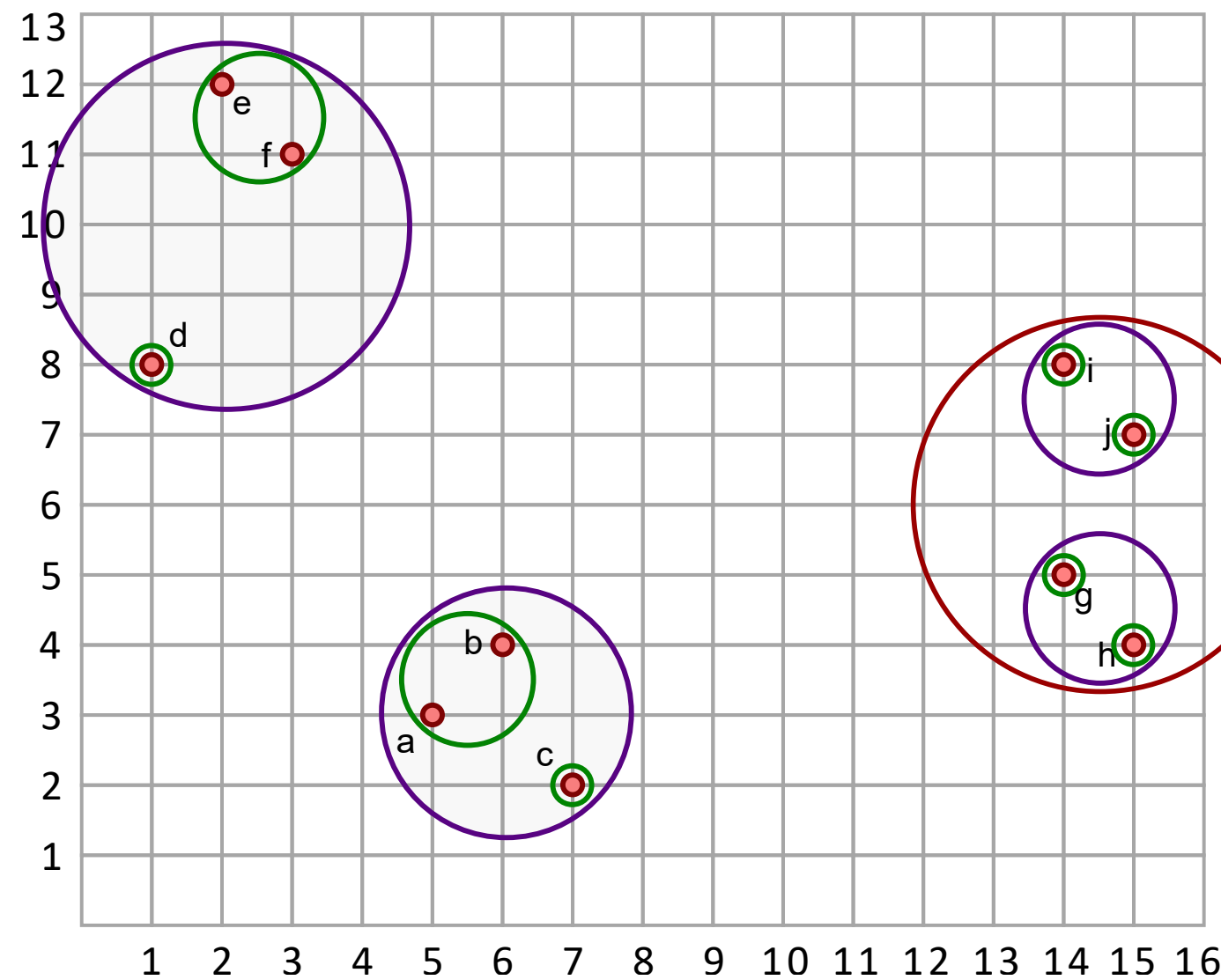
$\{a, b\}, \{c\}$

$\{a\}, \{b\}$

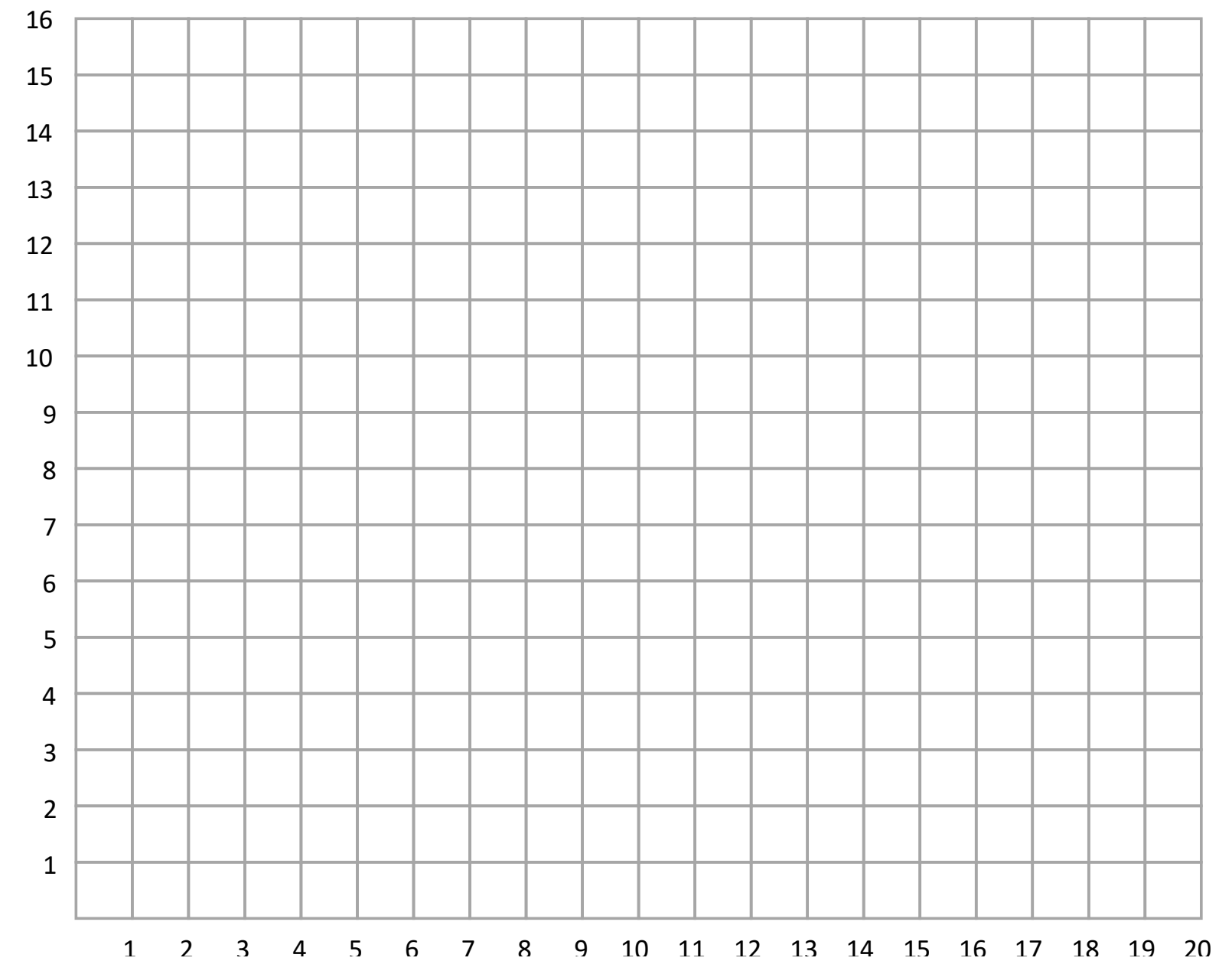
$\{d\}, \{e, f\}$

Continúe...

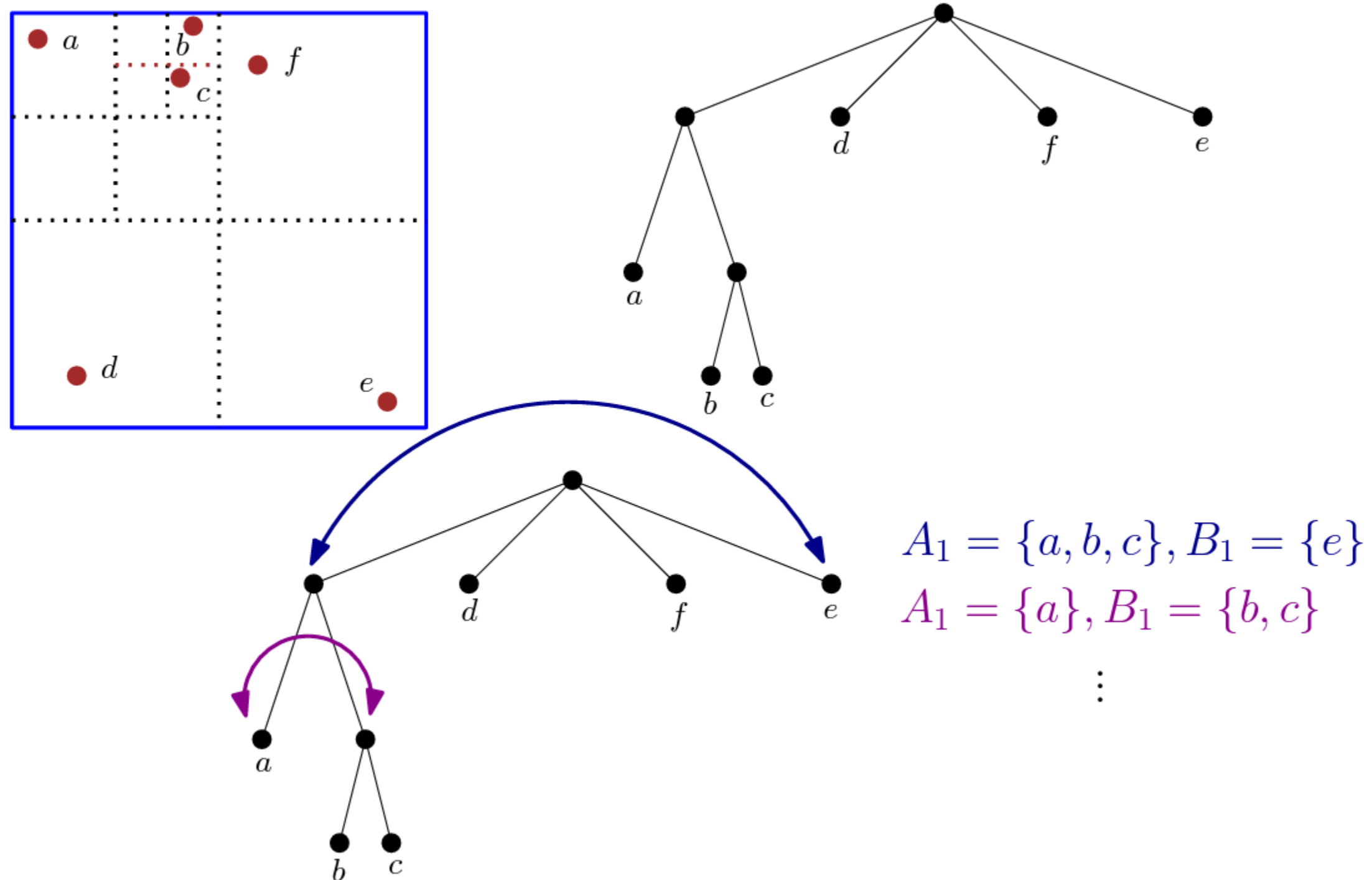
Well-Separated Pair Decomposition (WSPD)



Well-Separated Pair Decomposition (WSPD)

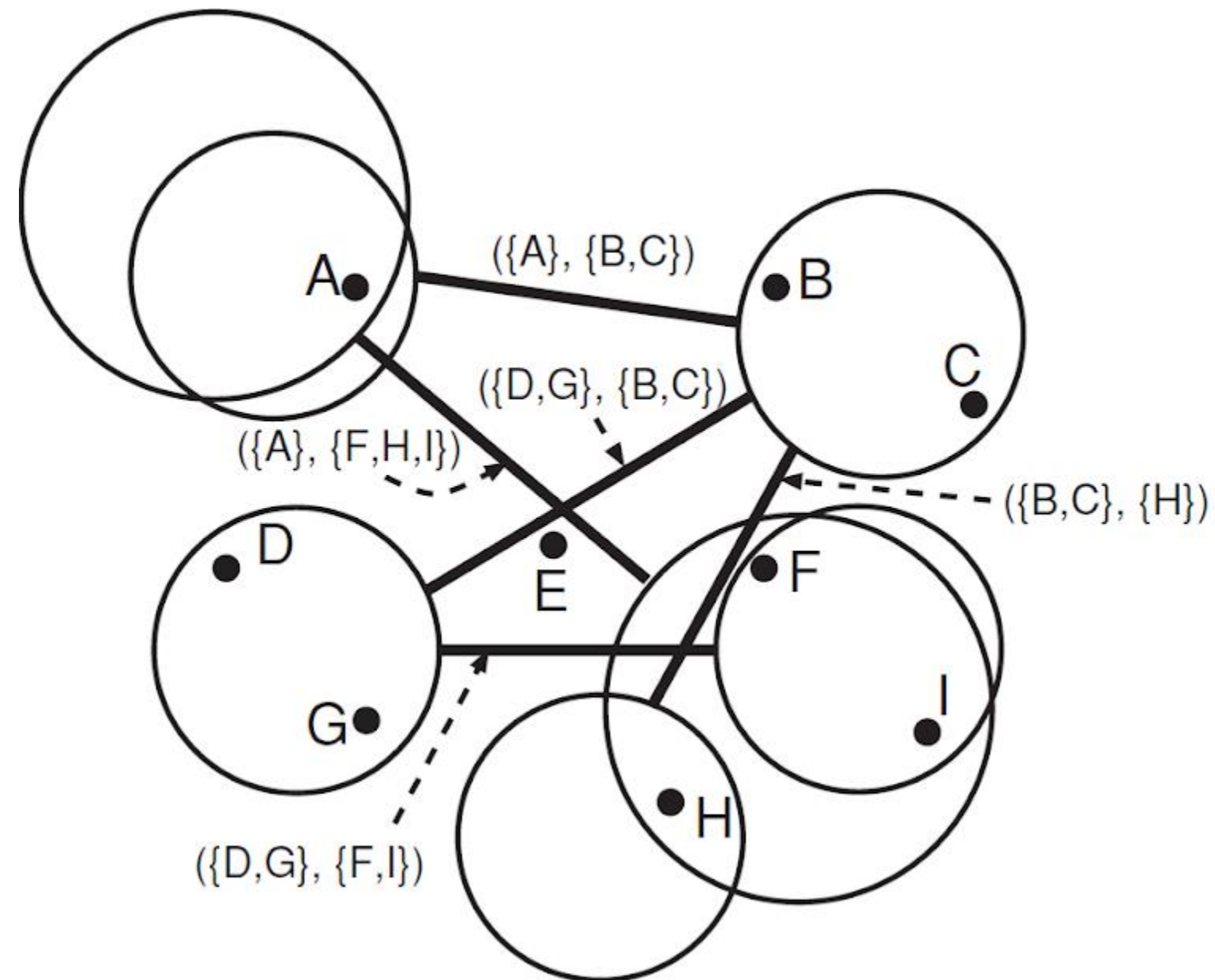


Well-Separated Pair Decomposition (WSPD)

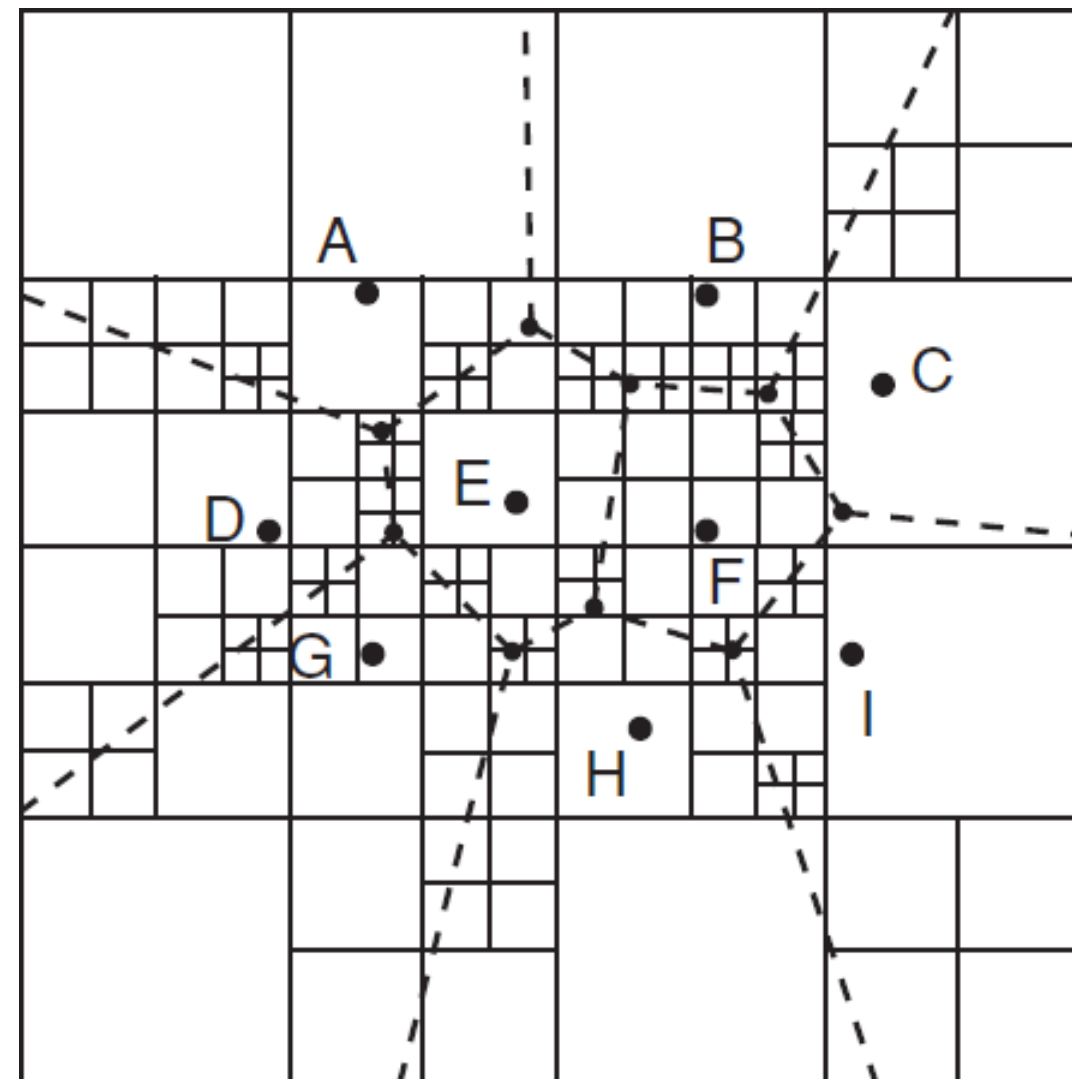


AVD

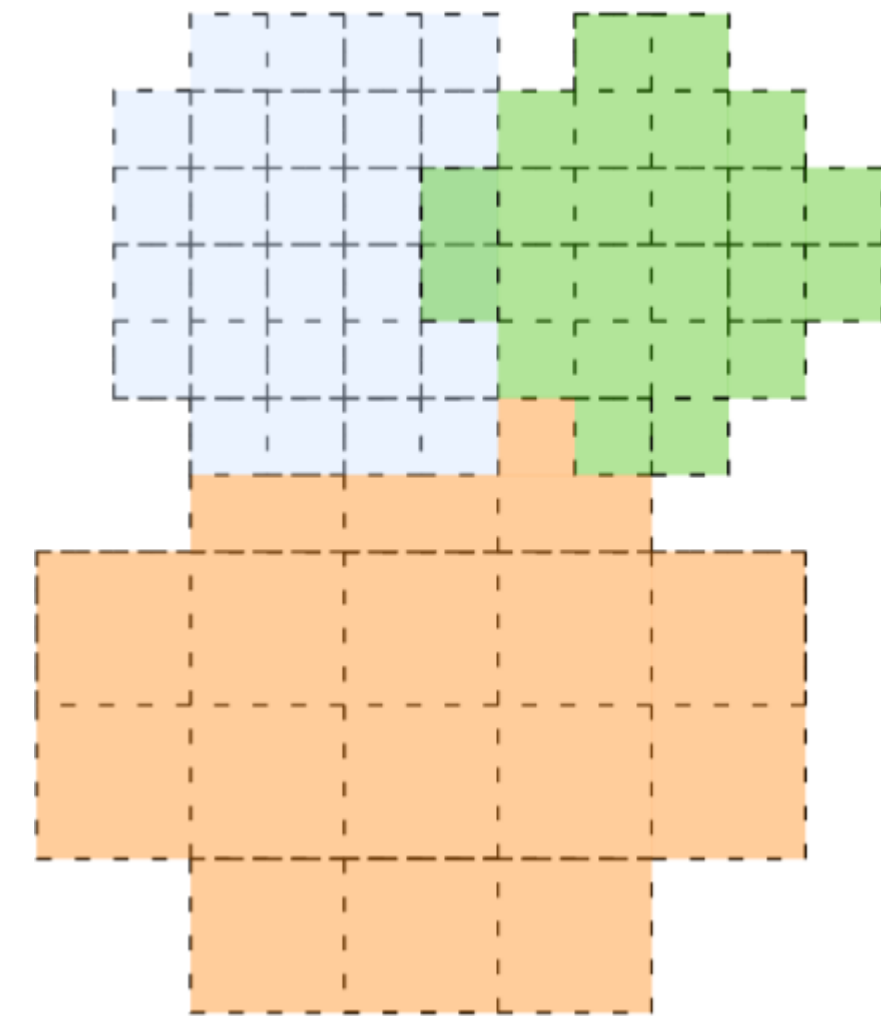
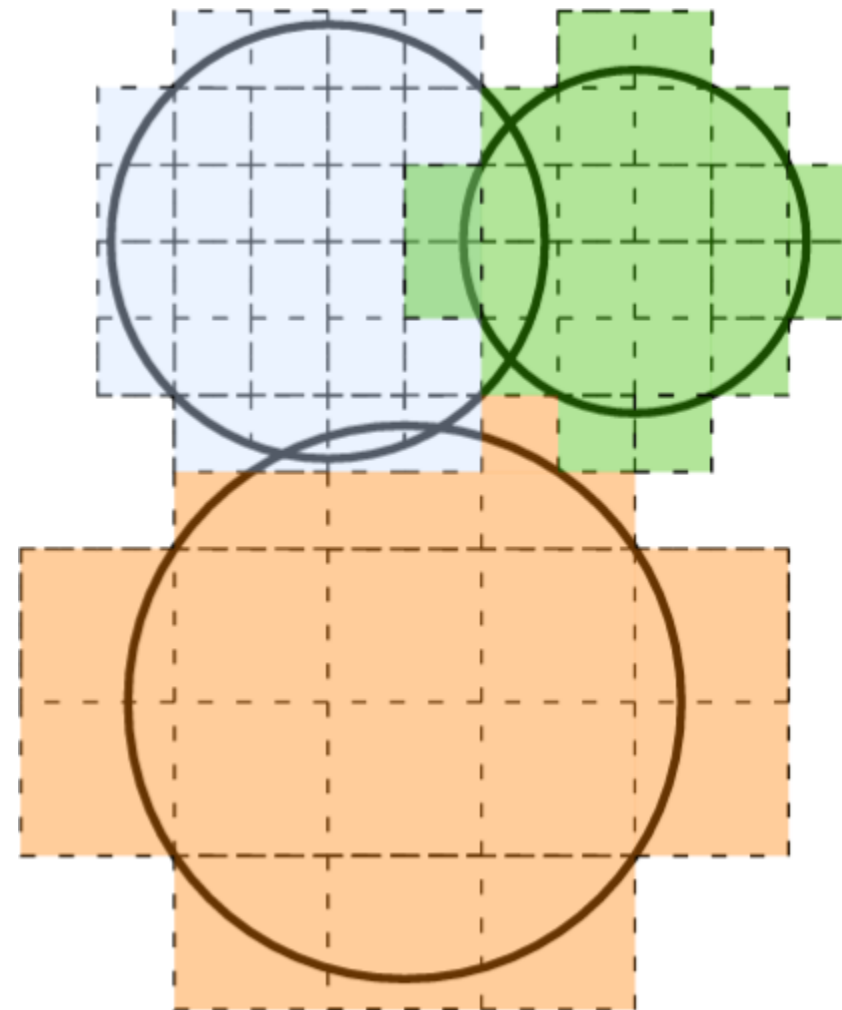
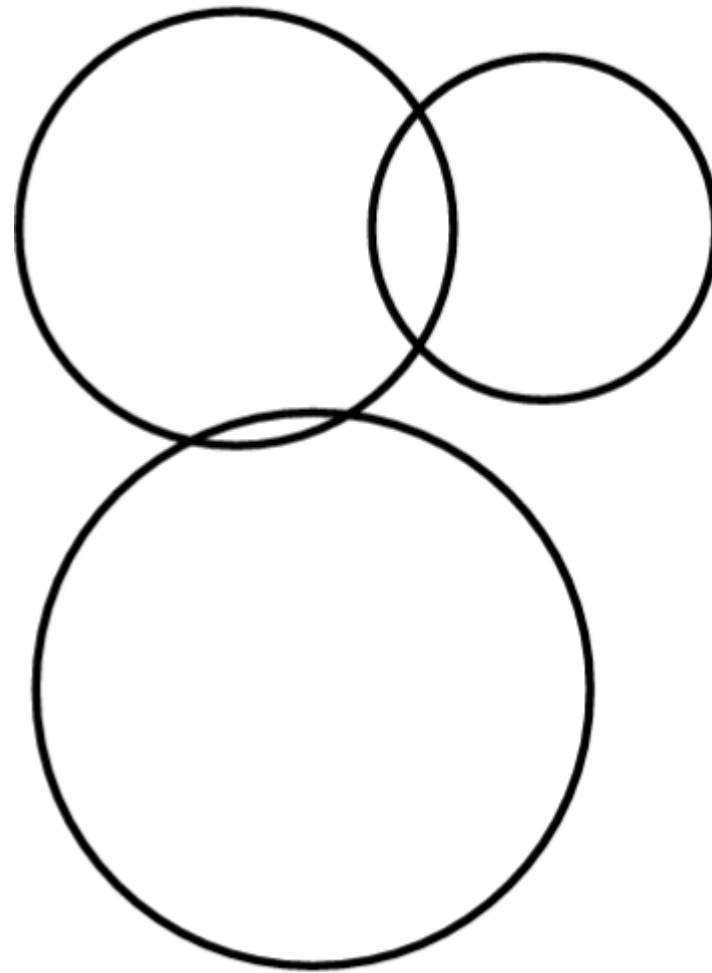
(Approximate Voronoi Diagram)



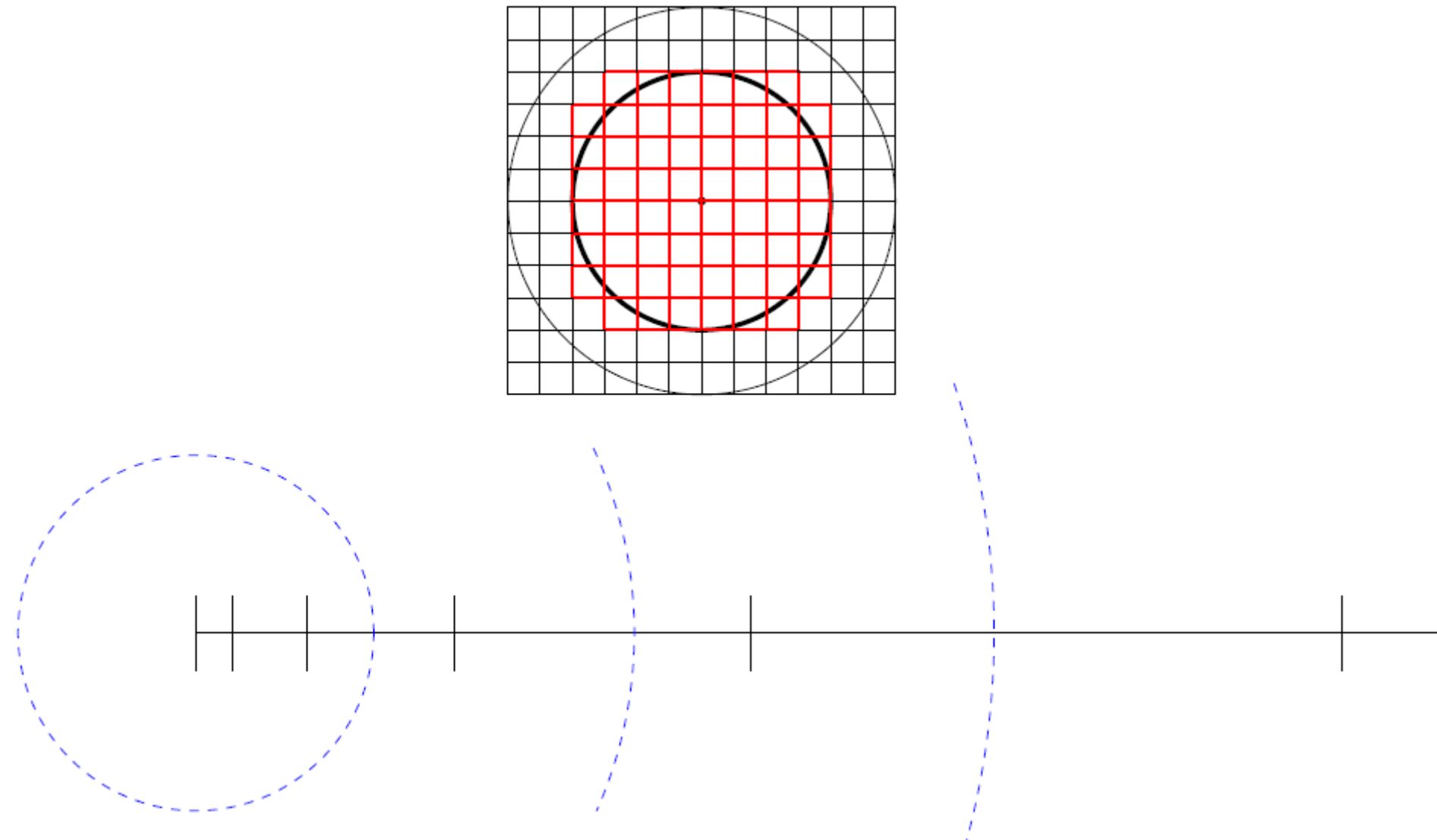
(t, ϵ) -Approximate Voronoi Diagram



(t, ϵ) -Approximate Voronoi Diagram

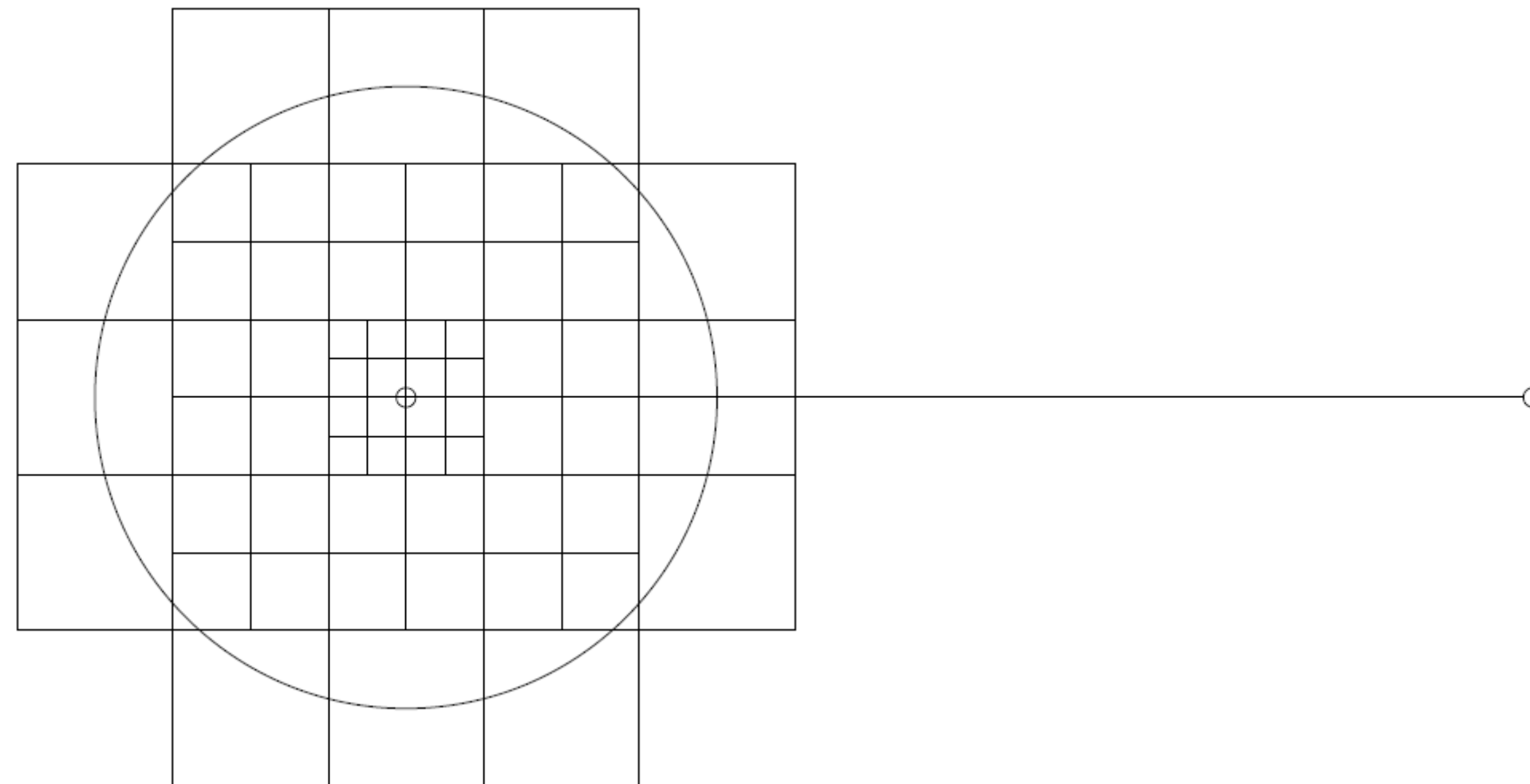


(t,ε)-Approximate *Voronoi Diagram*

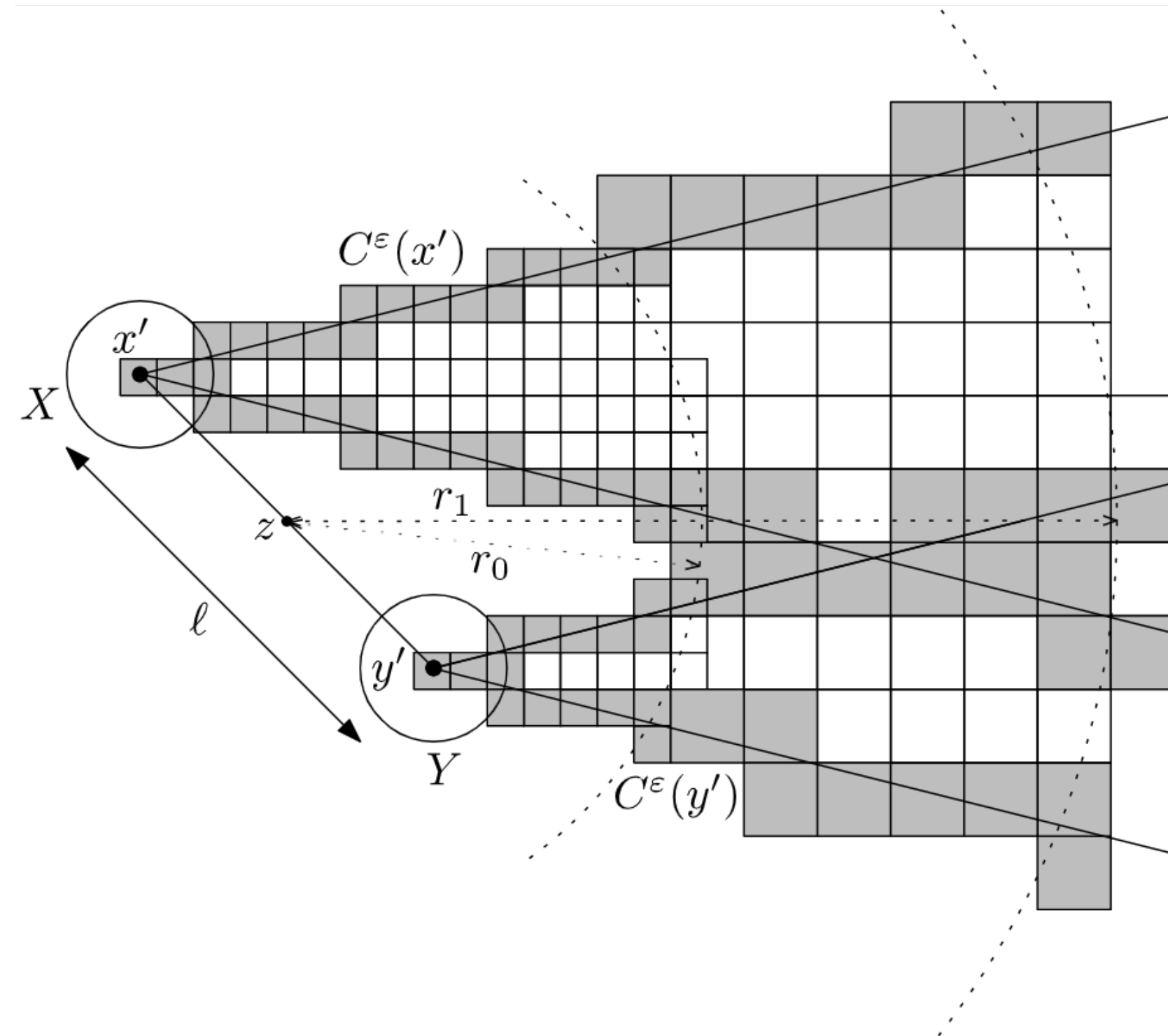


Tamaño de las cajas: $(1 + \epsilon)$, $(1 + \epsilon)^2$, $(1 + \epsilon)^3$, ...

(t, ϵ) -Approximate Voronoi Diagram

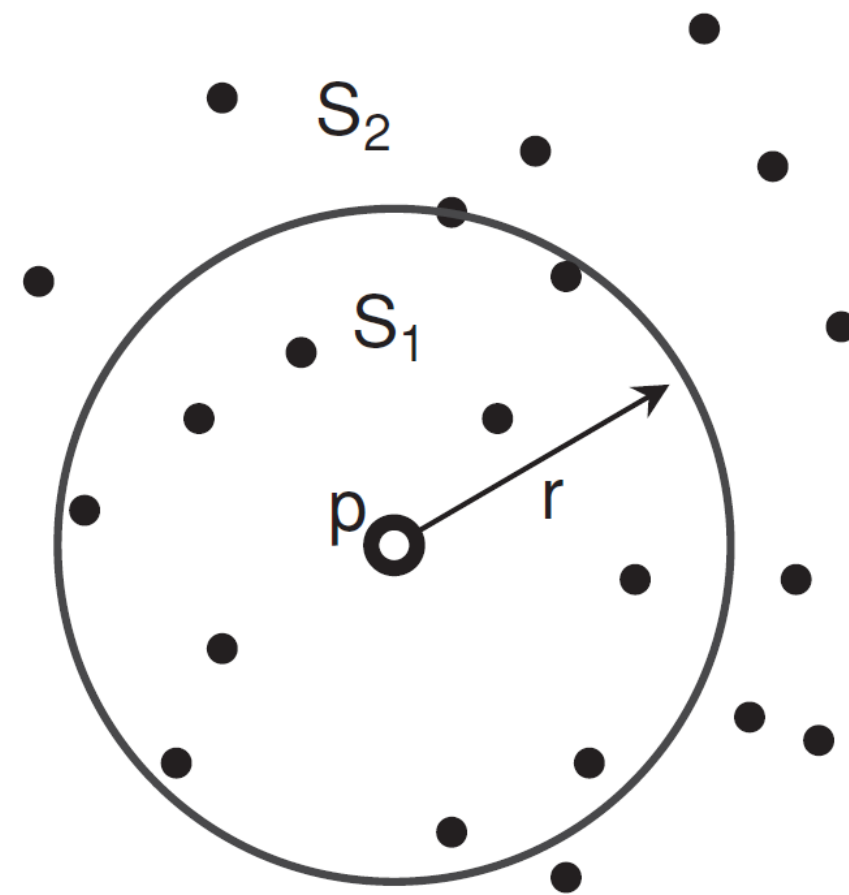


(t, ϵ) -Approximate Voronoi Diagram

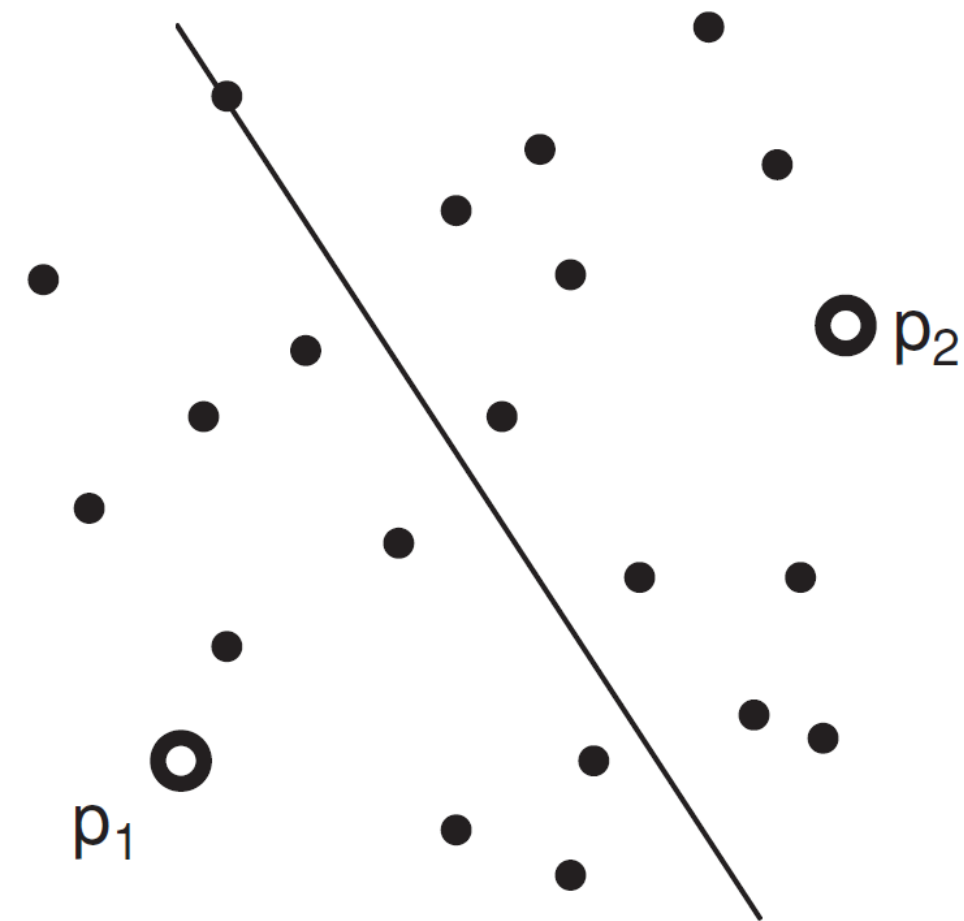


2 ● Distance-Based Indexing Methods

Distance-Based *Indexing Methods*



Ball partition

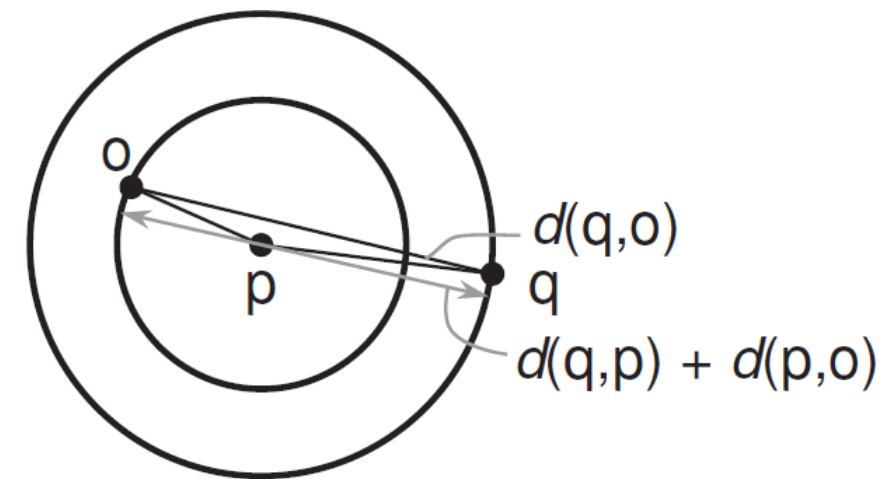
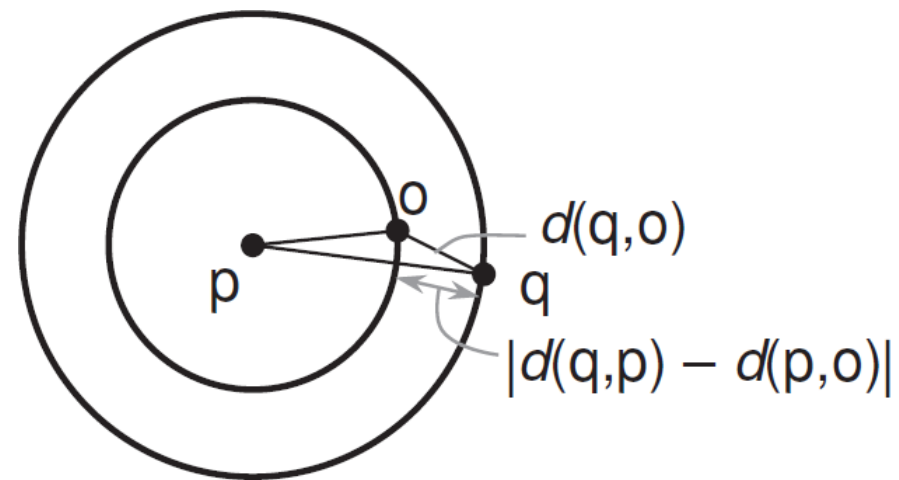


Generalized hyperplane partition

Distance-Based *Indexing Methods*

Lema 1

Sean los objetos p, q, o



$$|d(q,p) - d(p,o)| \leq d(q,o) \leq d(q,p) + d(p,o)$$

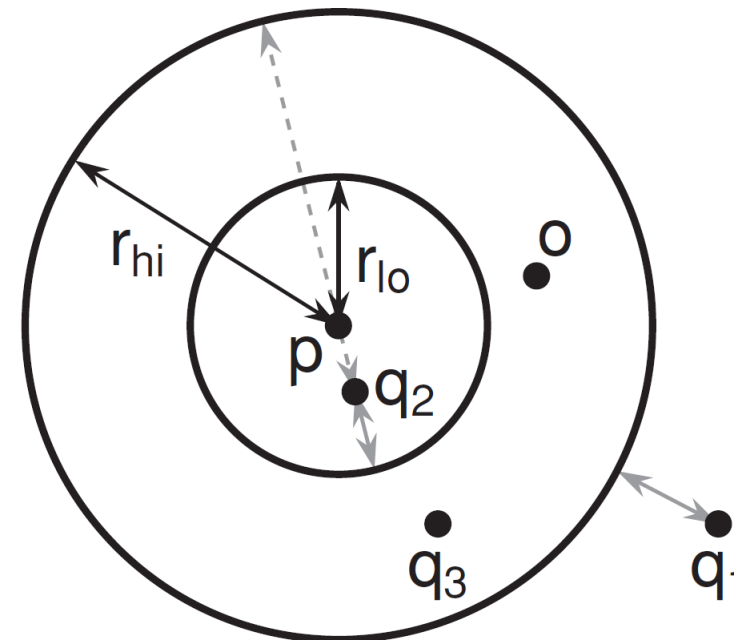
Cota inferior

Cota superior

Distance-Based *Indexing Methods*

Lema 2

Sean los objetos o y p tal que $r_{lo} \leq d(o, p) \leq r_{hi}$



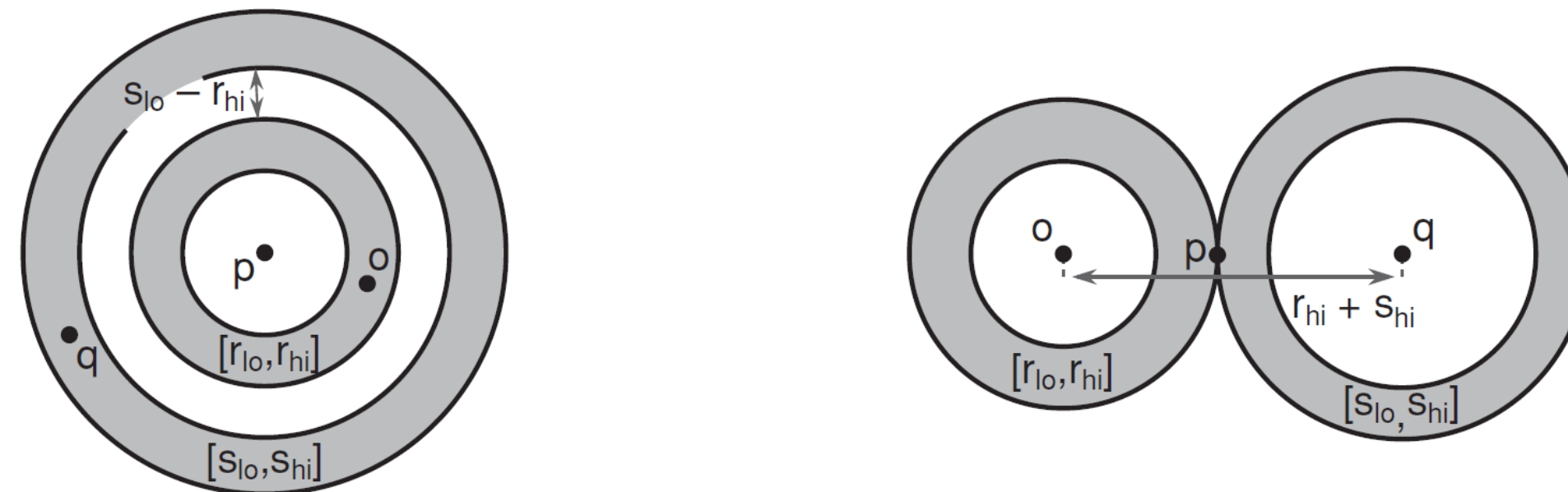
La distancia de o hacia algún otro objeto q está limitado por:

$$\max\{d(q, p) - r_{hi}, r_{lo} - d(q, p), 0\} \leq d(q, o) \leq d(q, p) + r_{hi}$$

Distance-Based Indexing Methods

Lema 3

Sean los objetos o , p y q , donde $d(o, p) \in [r_{lo}, r_{hi}]$ y $d(q, p) \in [s_{lo}, s_{hi}]$



La distancia de q hacia o está limitado por:

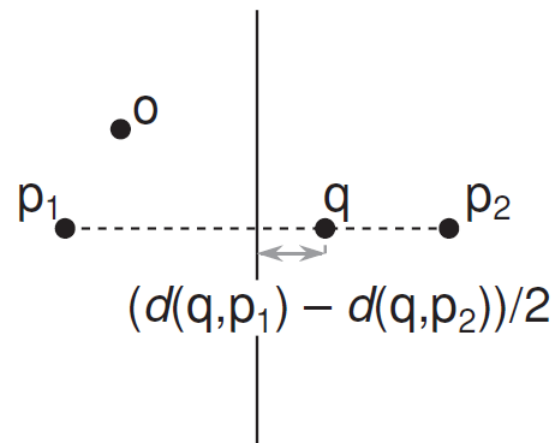
$$\max\{s_{lo} - r_{hi}, r_{lo} - s_{hi}, 0\} \leq d(q, o) \leq r_{hi} + s_{hi}$$

Distance-Based *Indexing Methods*

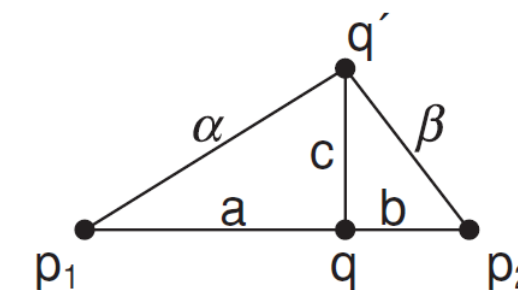
Lema 4

Sean o un objeto más cercano a p_1 que a p_2 o equidistante de ambos (i.e., $d(p_1, o) \leq d(p_2, o)$). Dados $d(q, p_1)$ y $d(q, p_2)$, podemos establecer un límite inferior para $d(q, o)$:

$$\max \left\{ \frac{d(q, p_1) - d(q, p_2)}{2}, 0 \right\} \leq d(q, o)$$



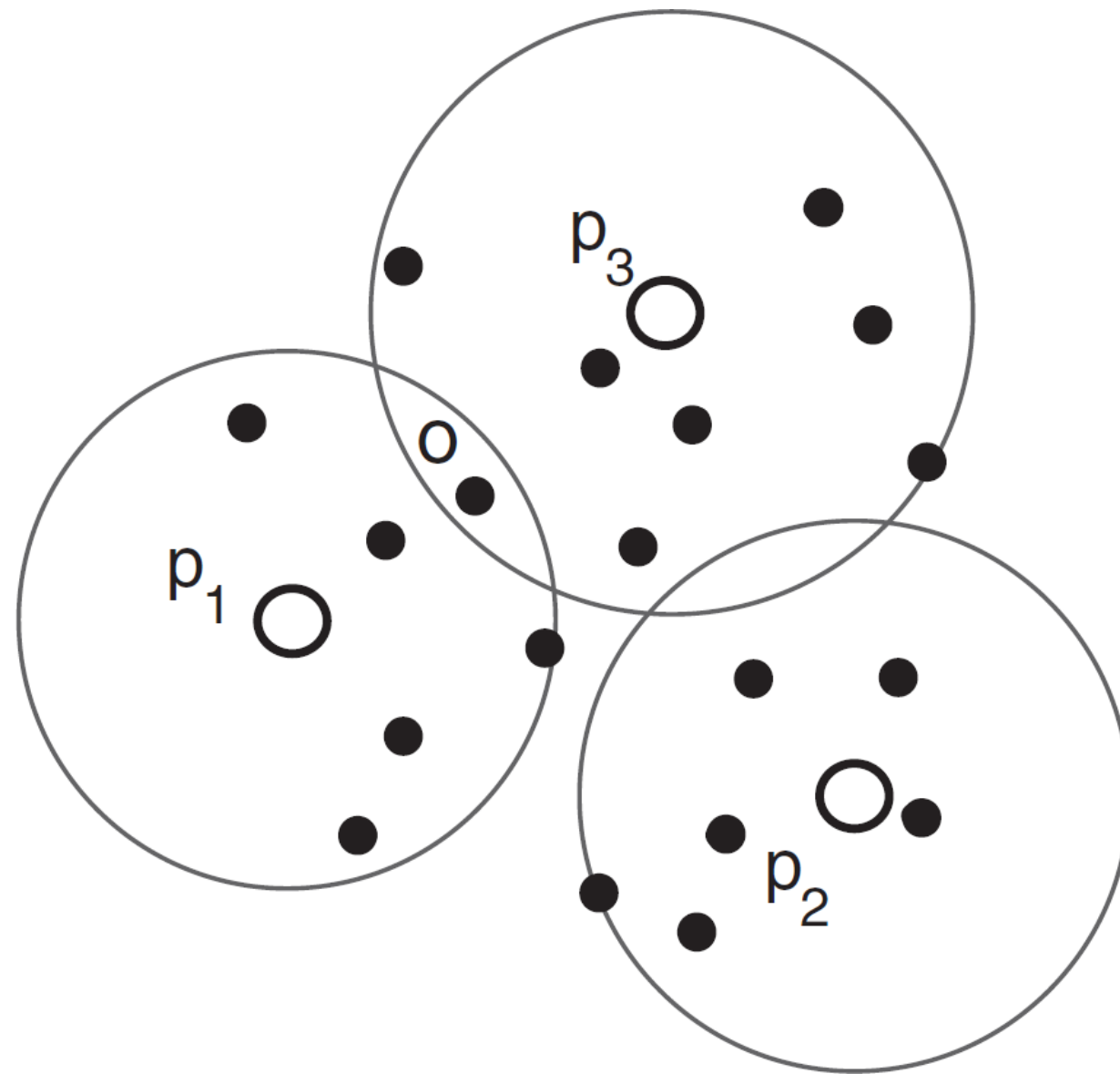
Límite inferior de $d(q, o)$ ilustrado en un espacio euclidiano bidimensional cuando q está en la línea entre p_1 y p_2 , más cerca de p_2 , mientras que o está más cerca de p_1 .



El límite inferior disminuye cuando q se desplaza fuera de la línea (por ejemplo, a q').

3. M-Tree

M-Tree



Nodo:

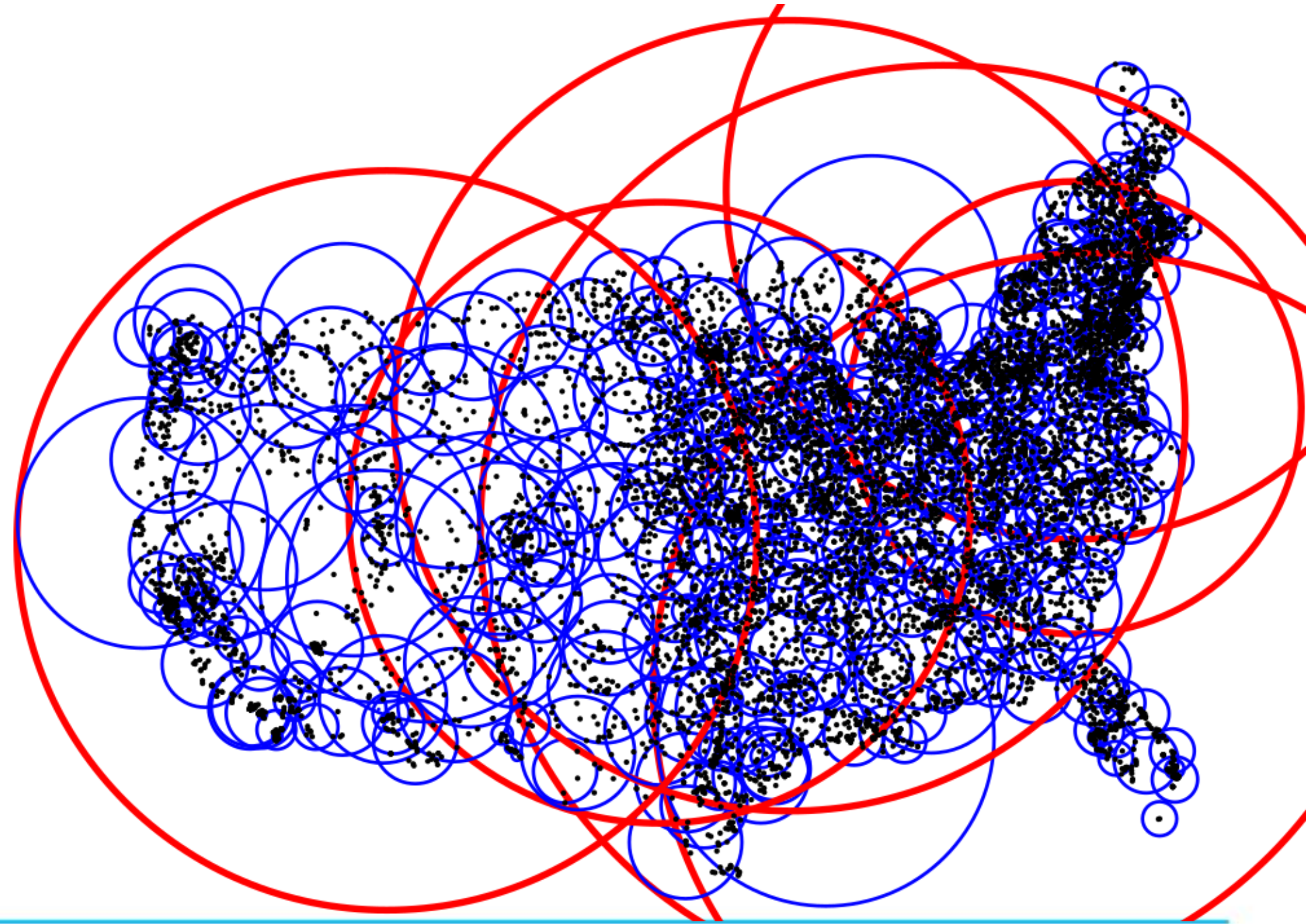
$[p, r, d(p, p'), T]$

- p : Pivote (centro de la hiper-esfera)
- r : Radio
- $d(p, p')$: Distancia del pivote al pivote del padre
- T : Lista de nodos hijos

M-Tree

Objetivo:

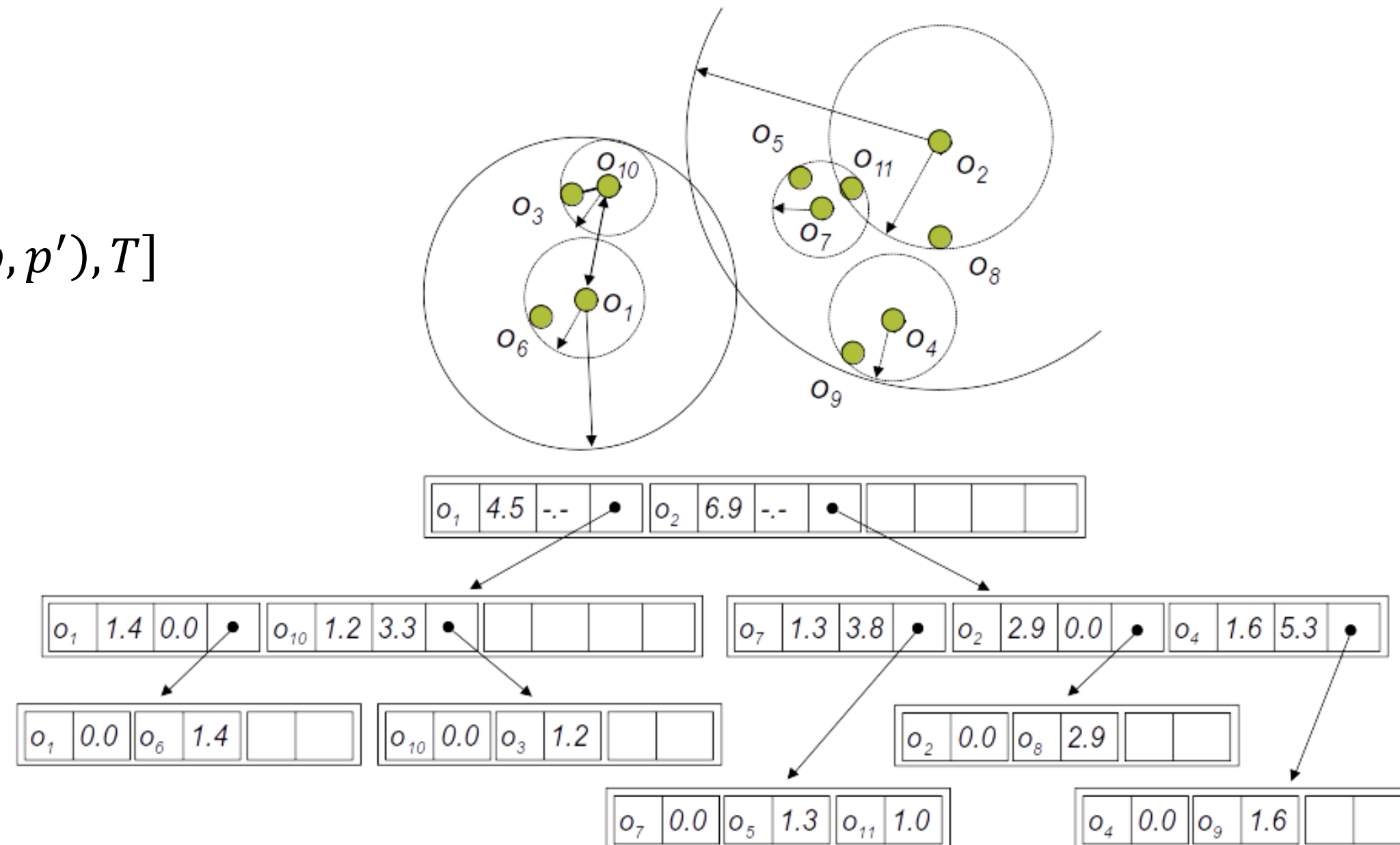
- Minimizar volumen
- Minimizar *overlap*



M-Tree

Nodo:

$[p, r, d(p, p'), T]$



M-Tree

Inserción

Insertar un nuevo objeto O_n :

- Desciende recursivamente por el árbol para localizar la hoja más adecuada para O_n
- En cada paso, acceda al subárbol con pivote p para el cual:
 - No se necesita ampliar el radio r_c , es decir, $d(O_n, p) \leq r_c$
En caso de empate, elegir el que tenga el p más cercano a O_n
 - Minimizar la ampliación de r_c
- Al llegar al nodo hoja N entonces
 - **Si N no está lleno:** guardar O_n en N
 - **Si no:** **split**(N, O_n).

M-Tree

Split

- Sea S el conjunto que contiene todas las entradas de N y O_n
- Seleccionar los pivotes p_1 y p_2 de S
- Particionar S en S_1 y S_2 según p_1 y p_2
- Almacenar S_1 en N y S_2 en un nuevo nodo asignado N'
 - **Si N es raíz:**
 - Asignar una nueva raíz y almacenar allí las entradas de p_1, p_2
 - **Si no:** (deja que N_p y p_p sean el nodo y pivote padre de N)
 - Sustituir la entrada p_p por p_1
 - Si N_p está lleno, entonces **split**(N_p, p_2)
 - Sino, almacenar p_2 en el nodo N_p

M-Tree

Pivot selection policies

Aleatorio Completamente aleatorio

Mínima suma de radios

$$\min(r_1 + r_2)$$

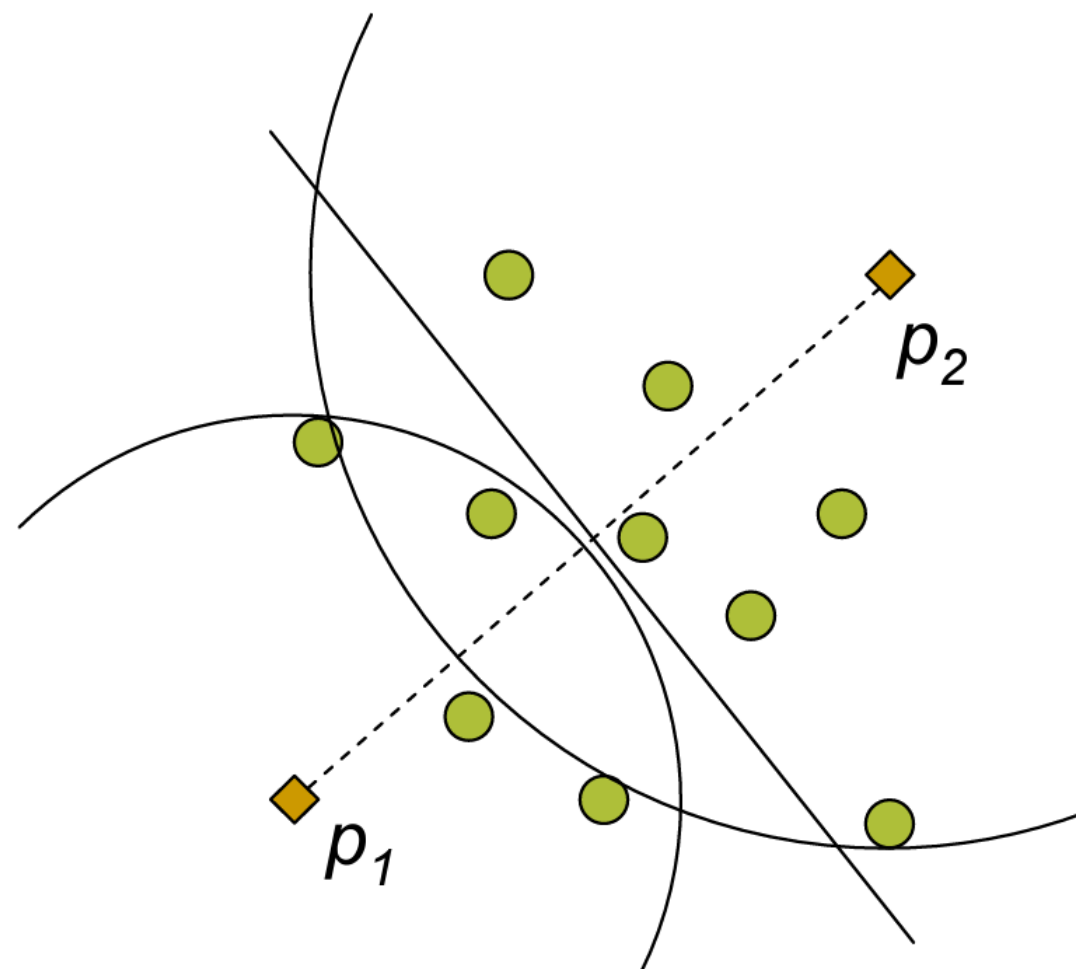
Muestreo **10%** aleatorio

$$\min(r_1 + r_2)$$

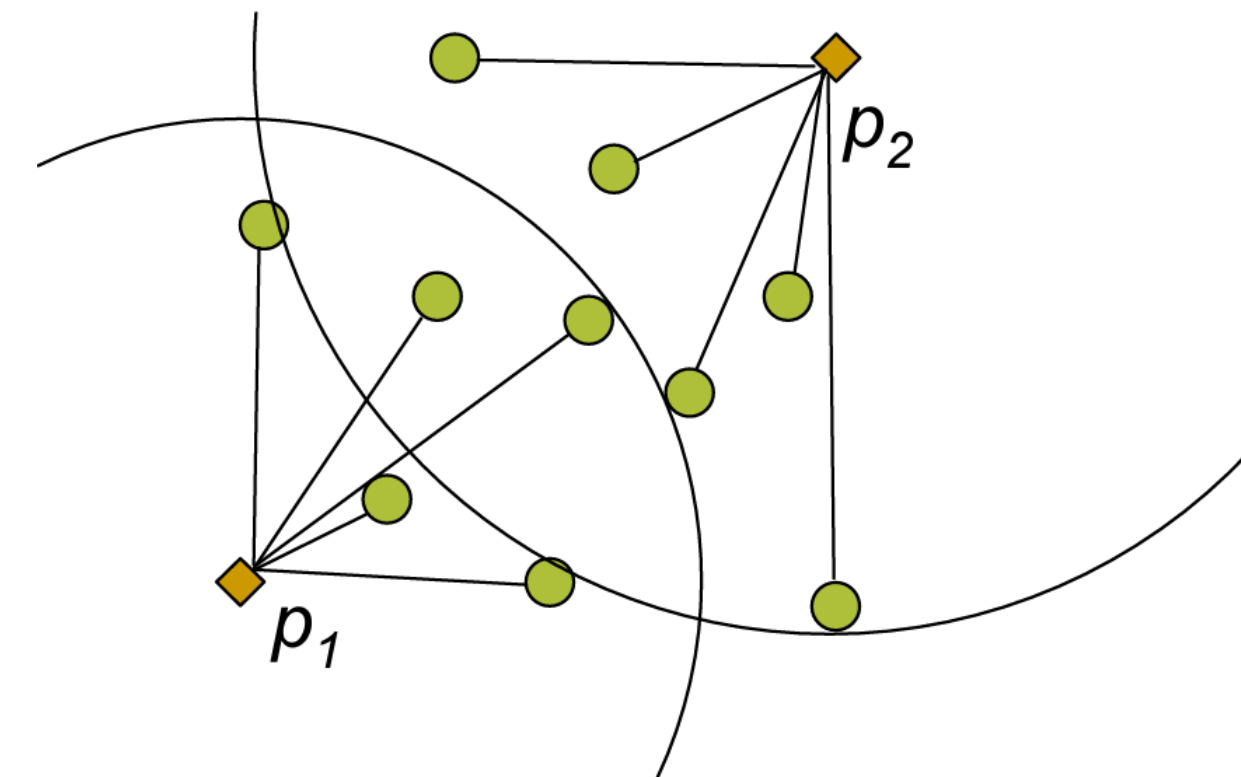
M-Tree

Split policies

Unbalanced Hiperplano generalizado



Balanced Radios de cobertura más grandes



Mejor es *unbalanced*

M-Tree

Range Query

Nodo interno

Se omite el nodo si	$ d(q, p') - D - r > \epsilon$ $d(p, p')$	Lema 1, 3
Sino, se omite el nodo si	$d(q, p) - r > \epsilon$	Lema 2

Nodo hoja

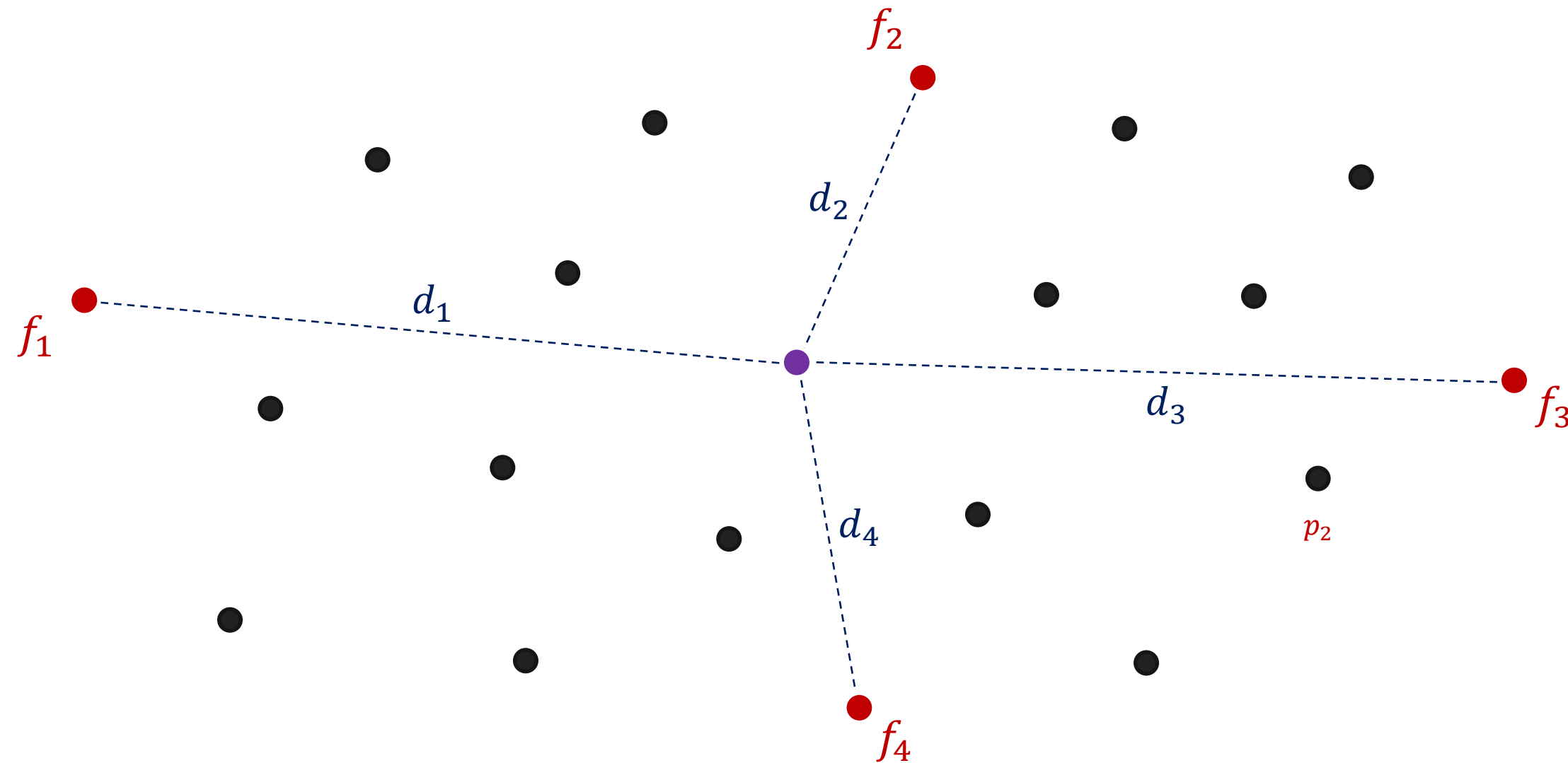
Se omite el objeto si	$ d(q, p') - D - r \leq \epsilon$
-----------------------	------------------------------------

4. omni-family

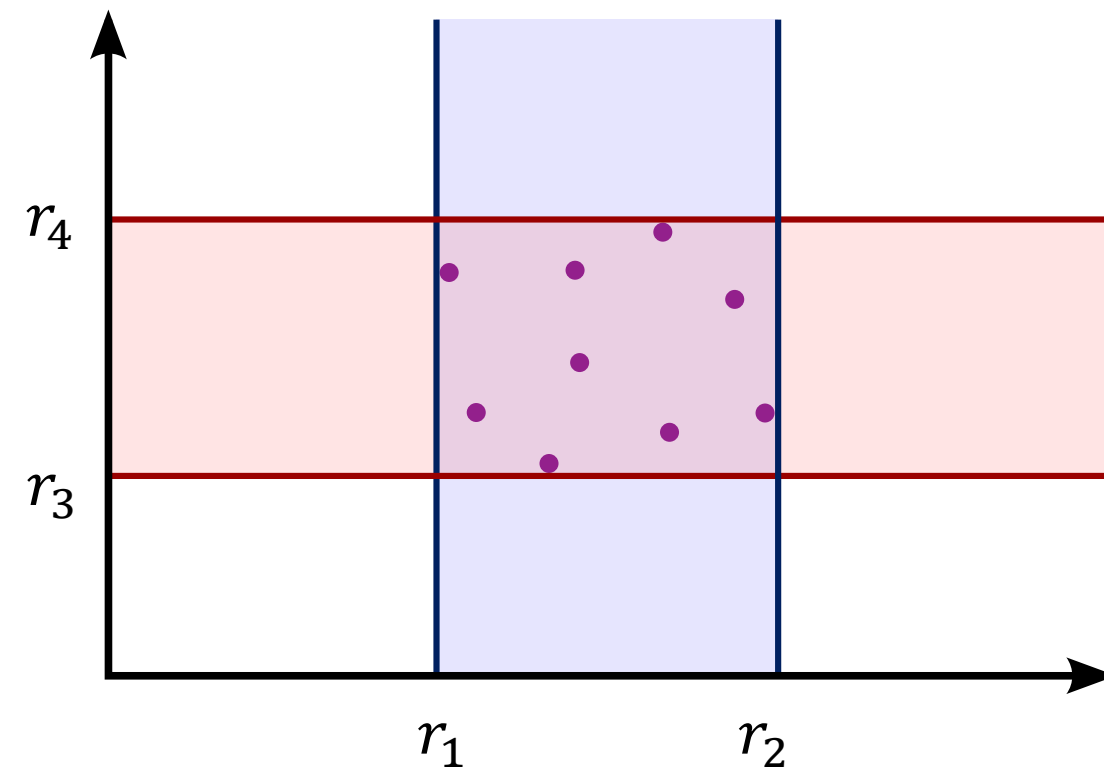
Omni-family

Omni-foci base: $\mathcal{F} = \{f_1, f_2, \dots, f_h\}$

Omni-coordinate: (d_1, d_2, d_3, d_4)

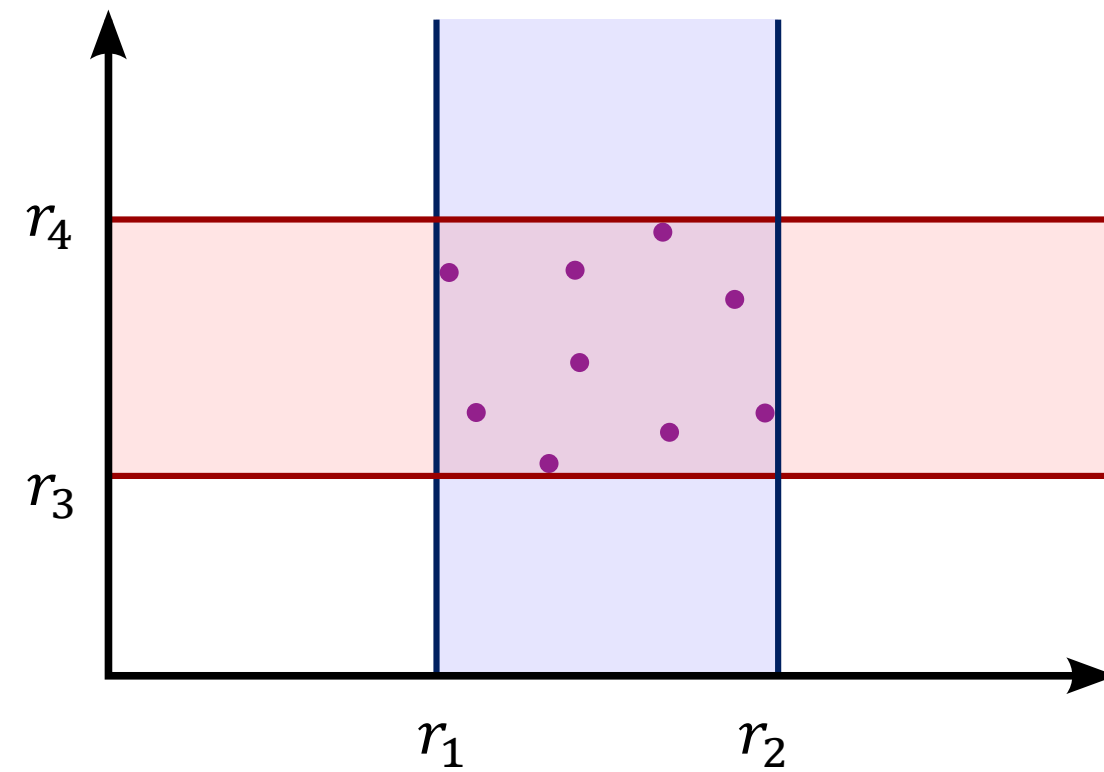


Minimum-bounding-Omni-region (mbOr)

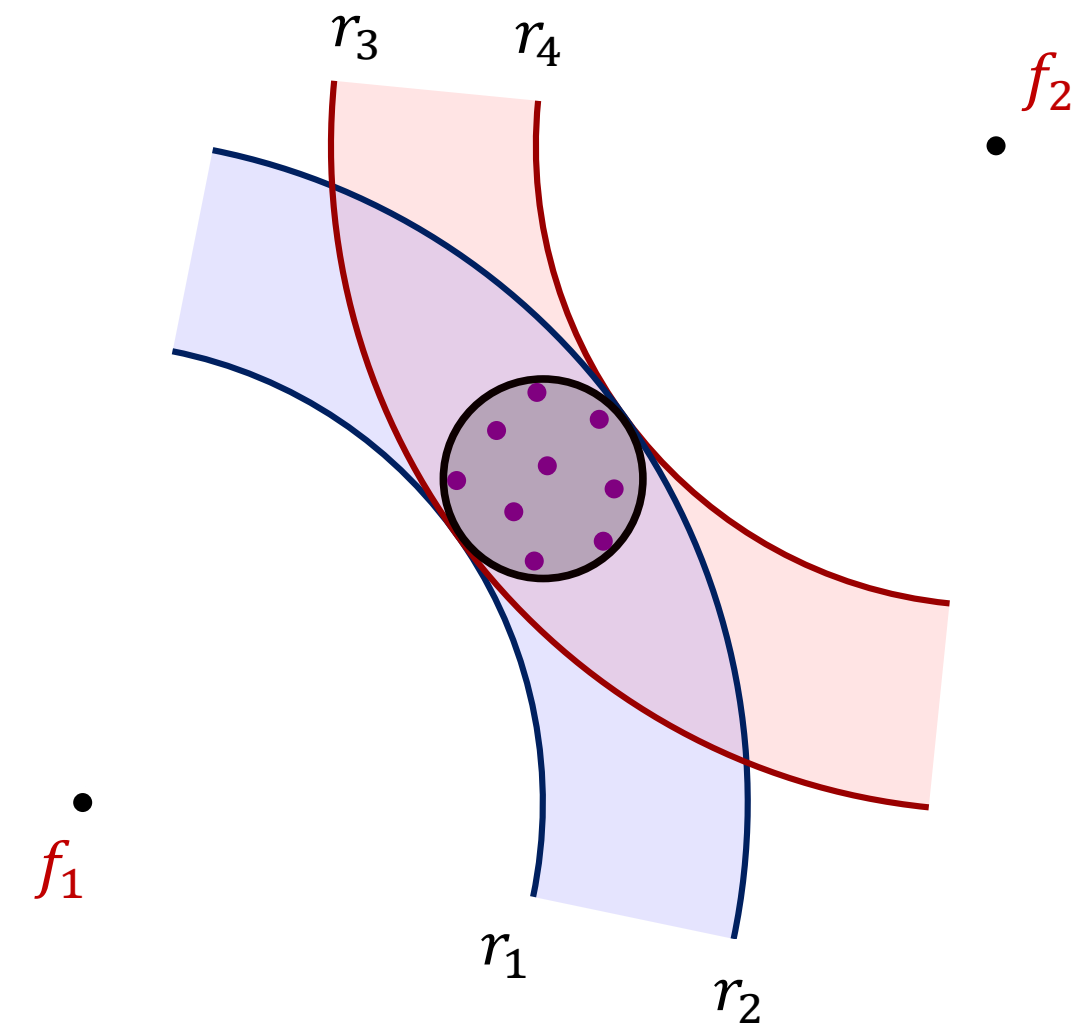


Región: $r_1 < x < r_2$
 $r_3 < y < r_4$

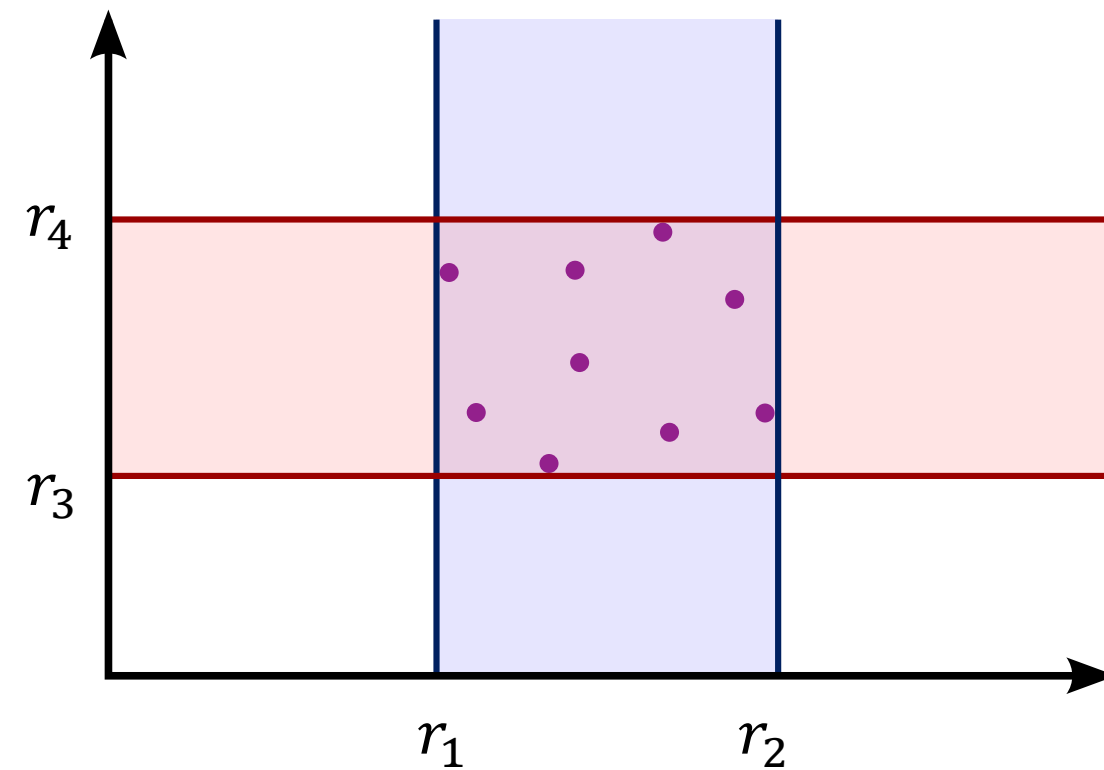
Minimum-bounding-Omni-region (*mbOr*)



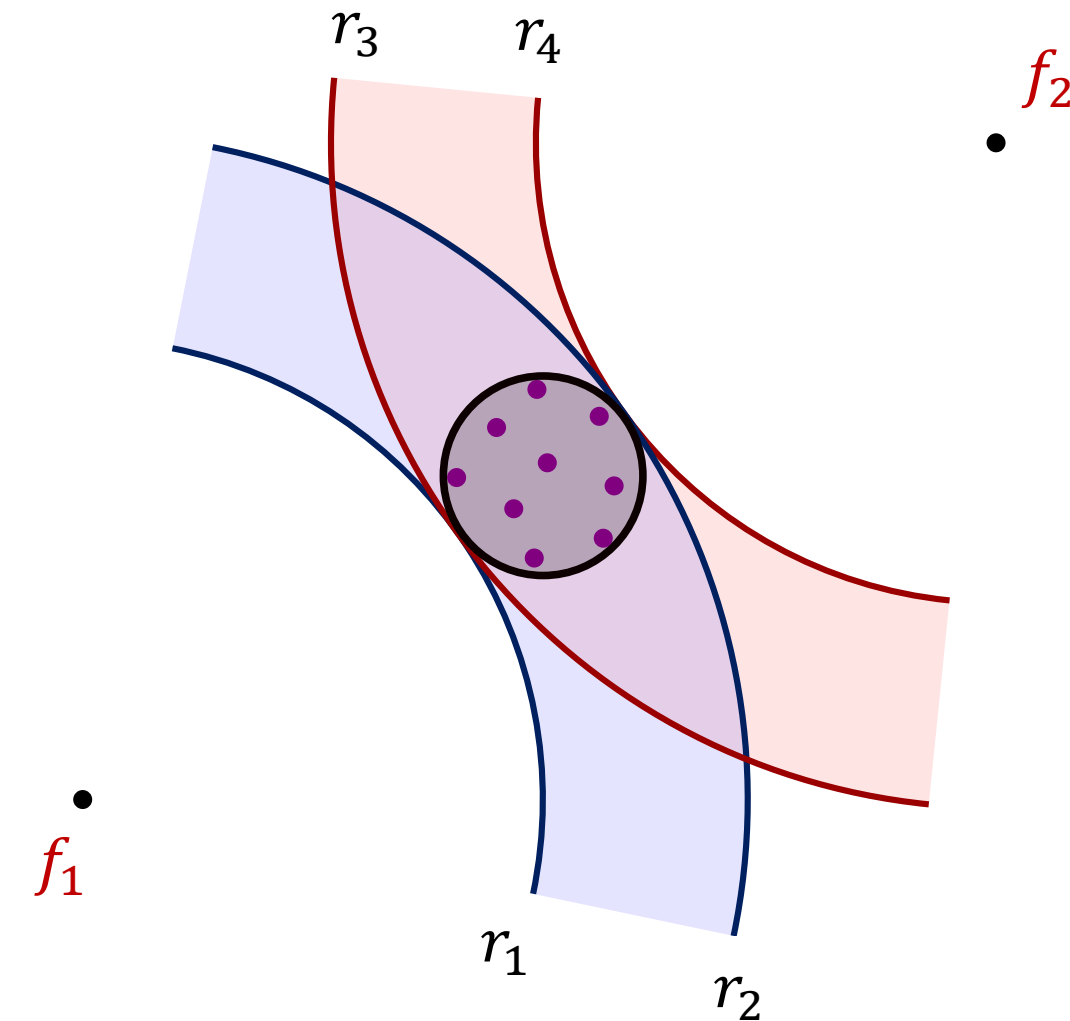
Región: $r_1 < x < r_2$
 $r_3 < y < r_4$



Minimum-bounding-Omni-region (mbOr)



Región: $r_1 < x < r_2$
 $r_3 < y < r_4$

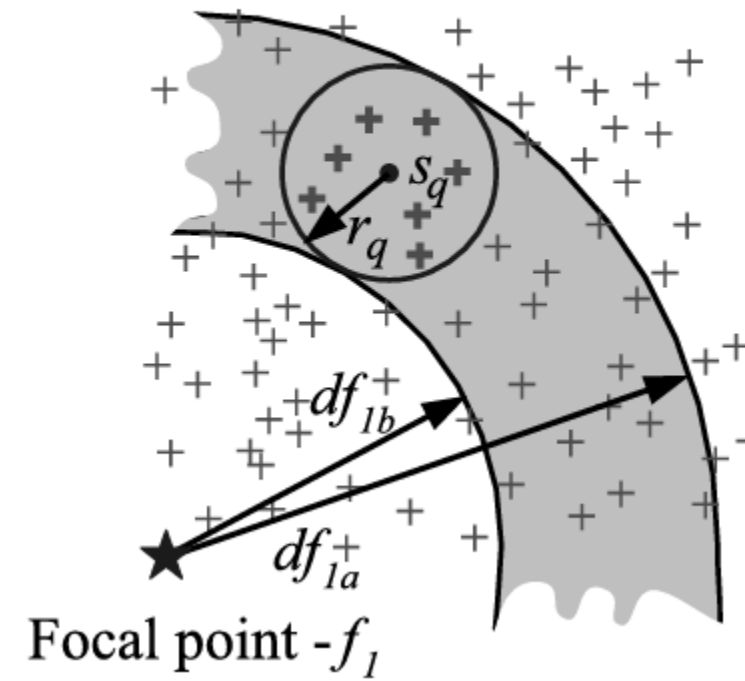
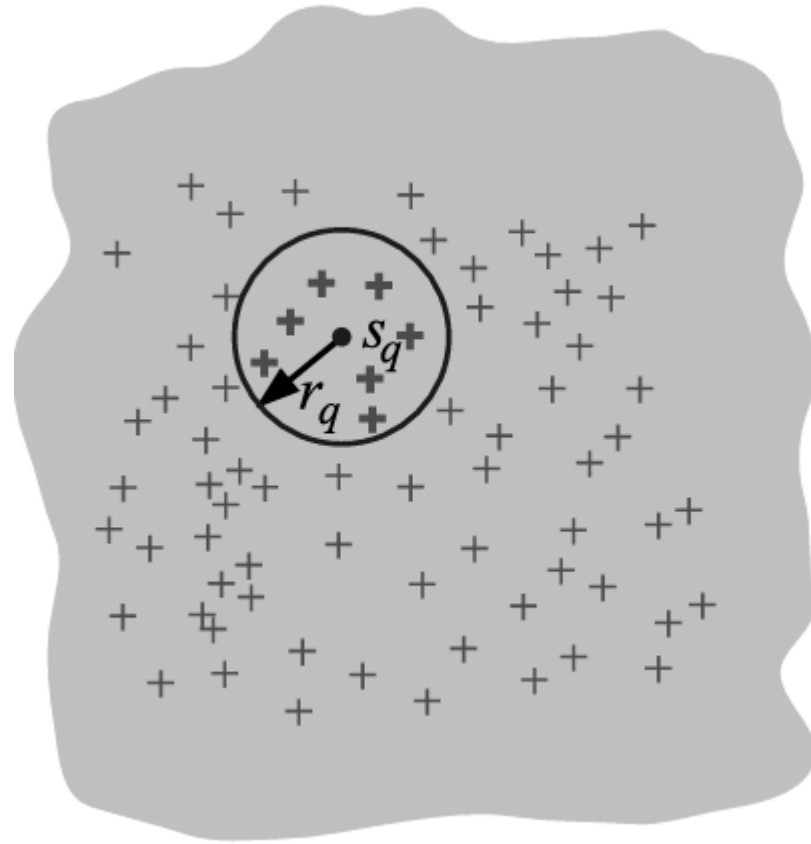


Región: $r_1 < \|x - f_1\| < r_2$
 $r_3 < \|x - f_2\| < r_4$

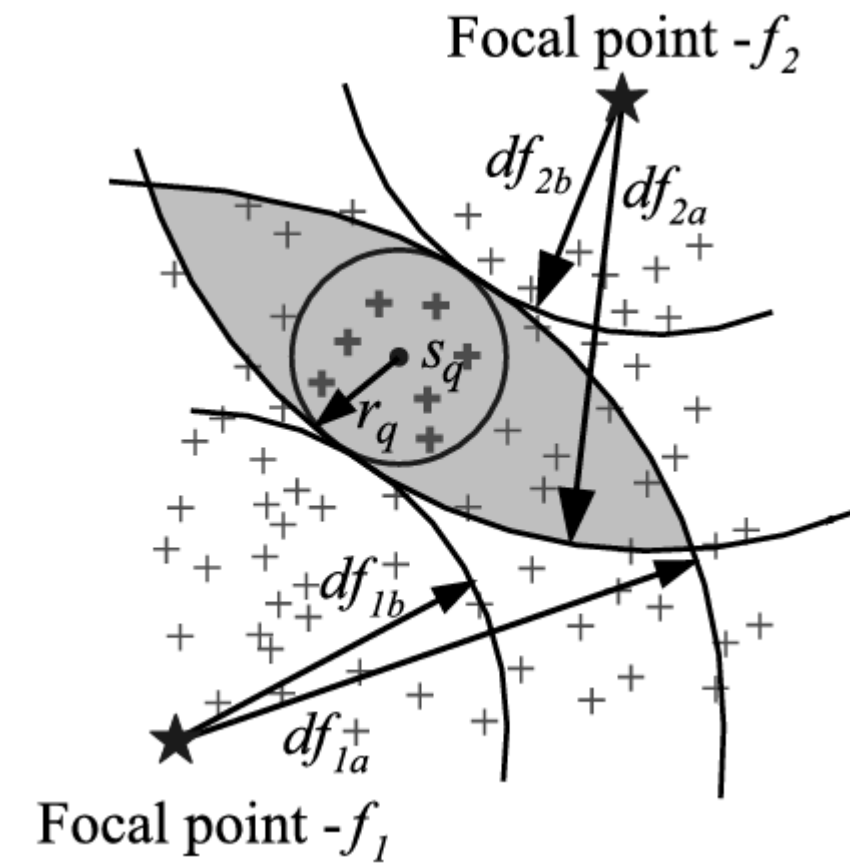
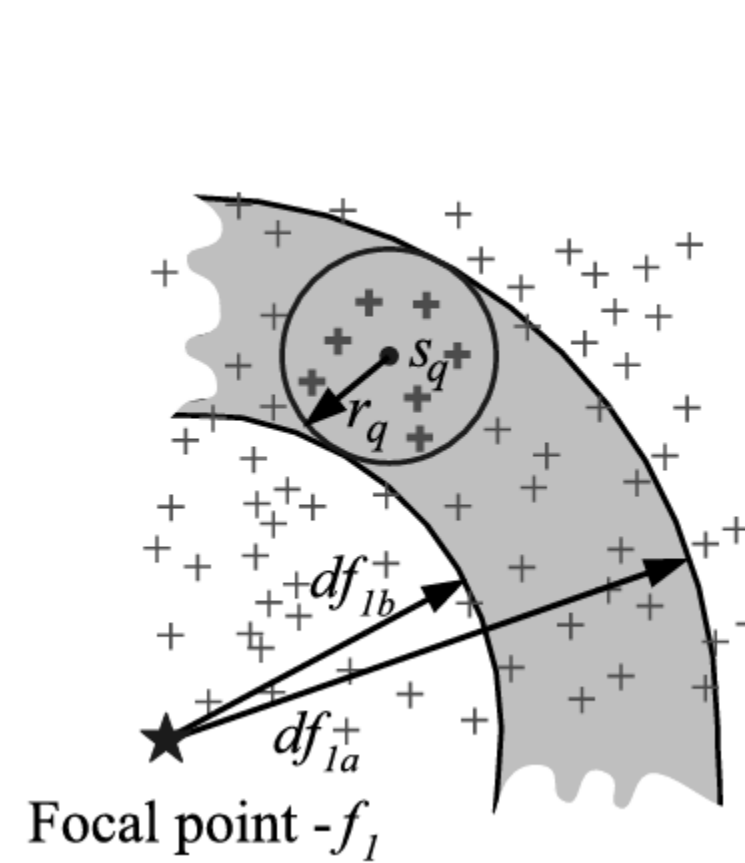
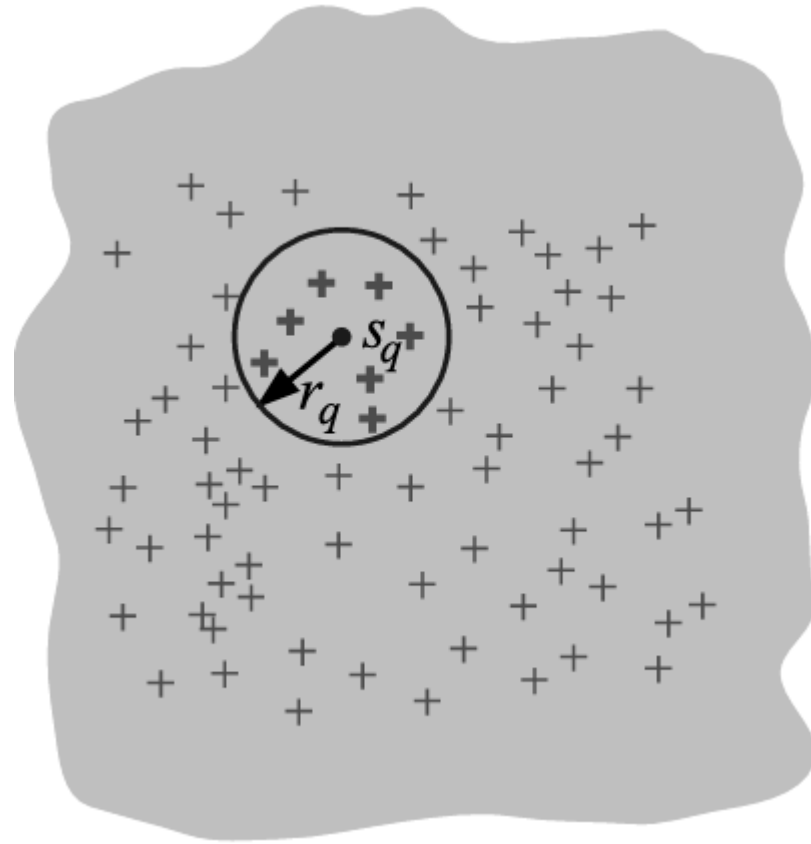
Minimum-bounding-Omni-region (*mbOr*)



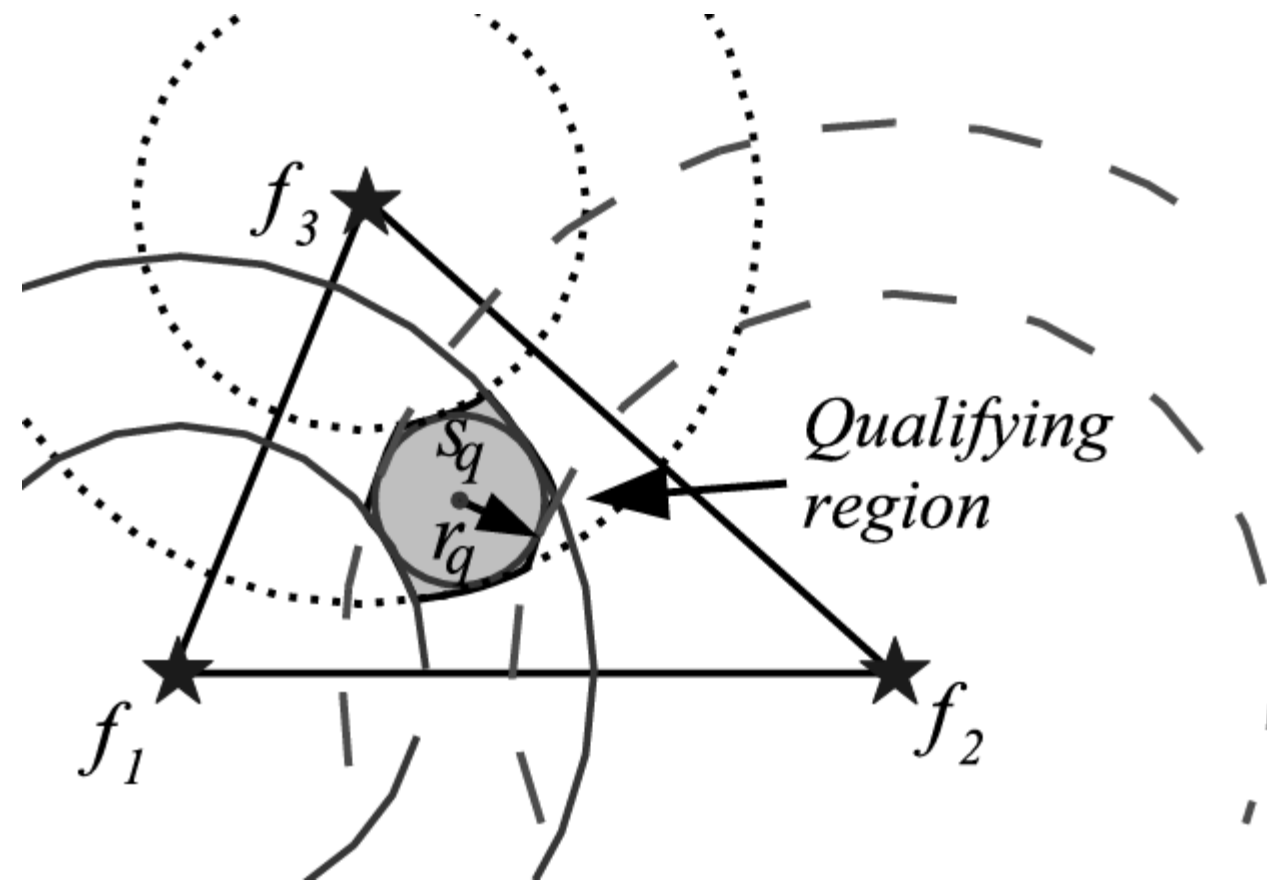
Minimum-bounding-Omni-region (mbOr)



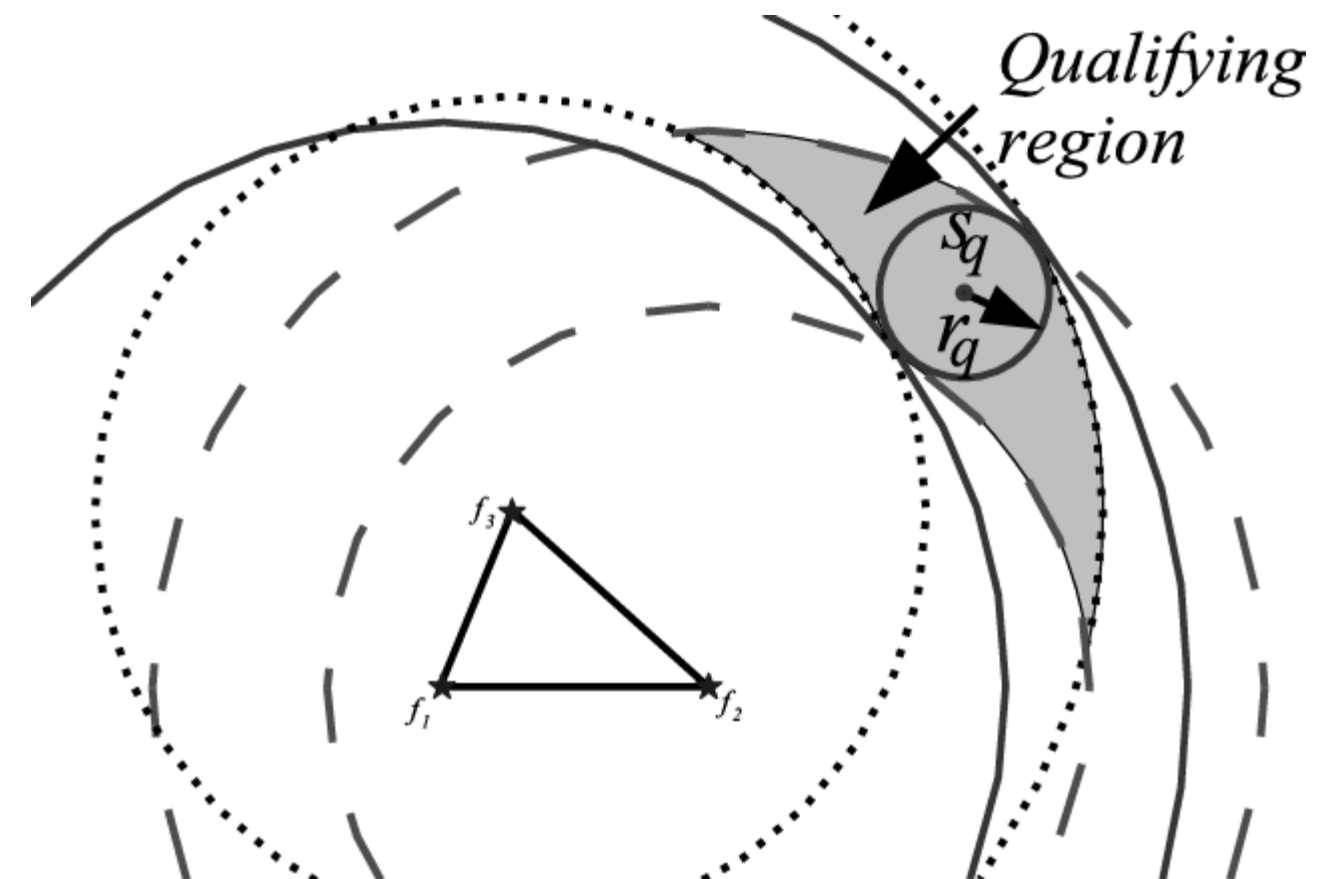
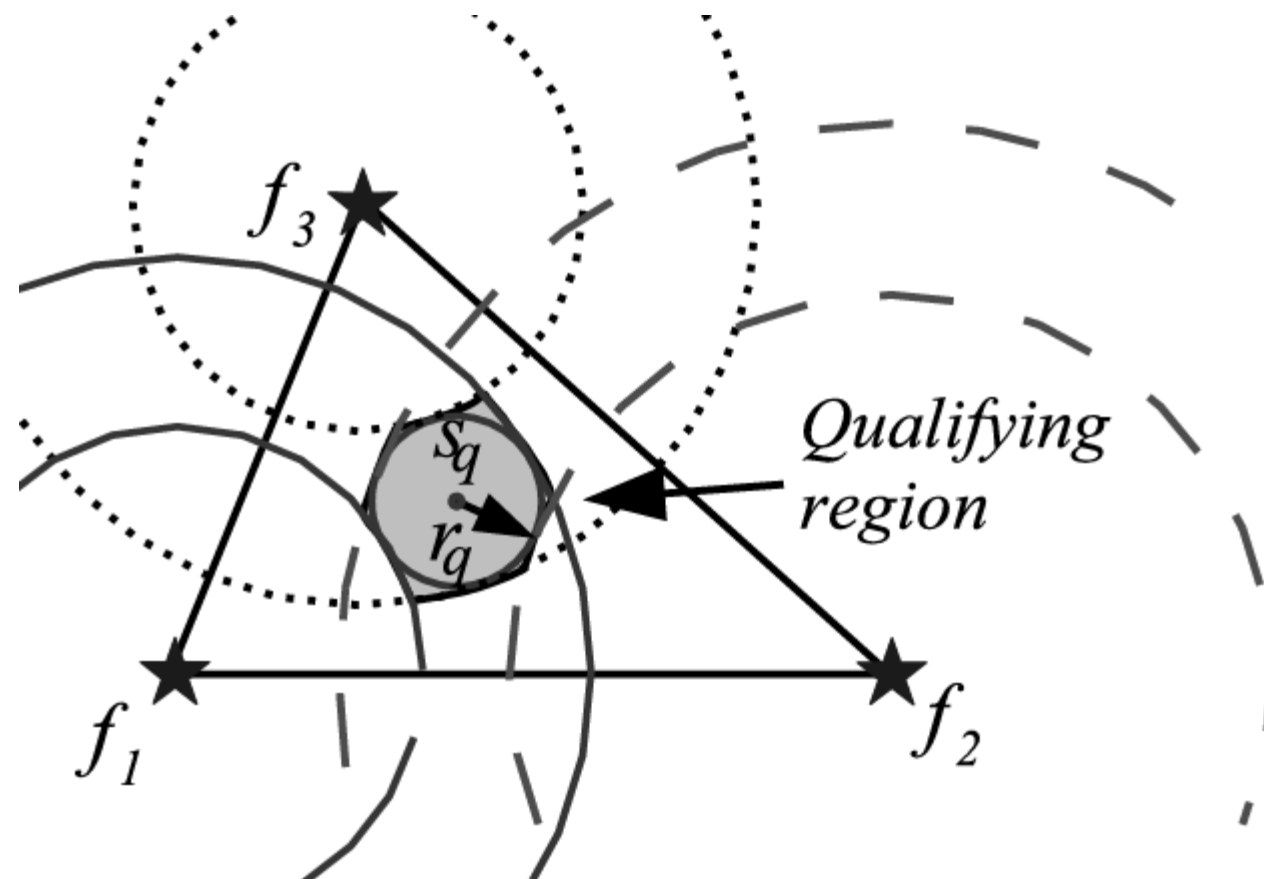
Minimum-bounding-Omni-region (*mbOr*)



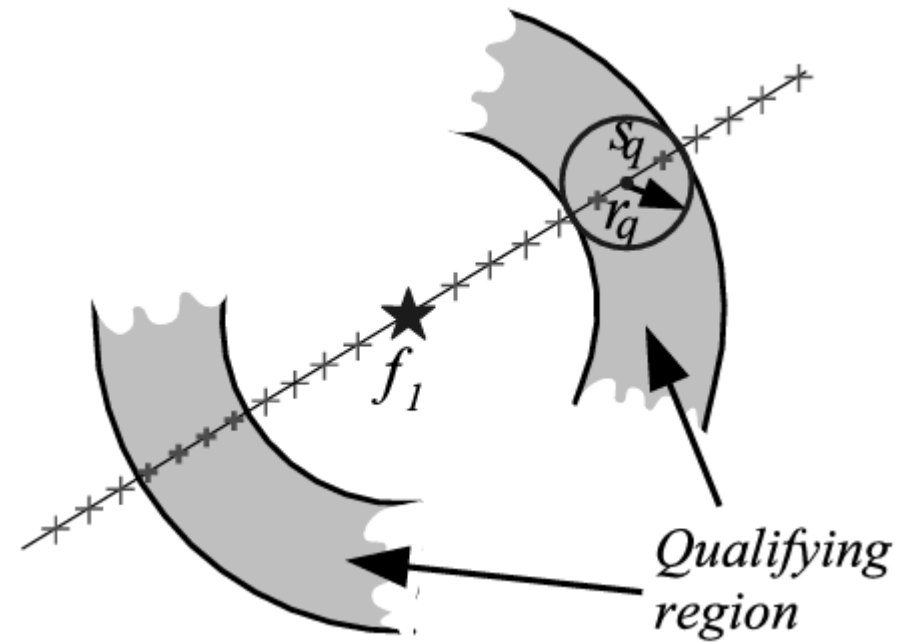
Minimum-bounding-Omni-region (mbOr)



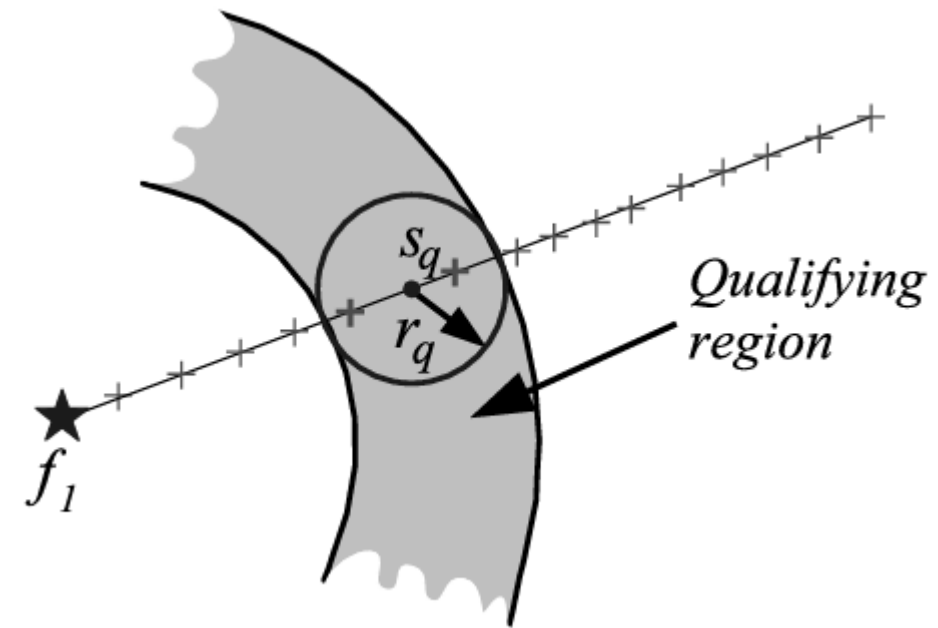
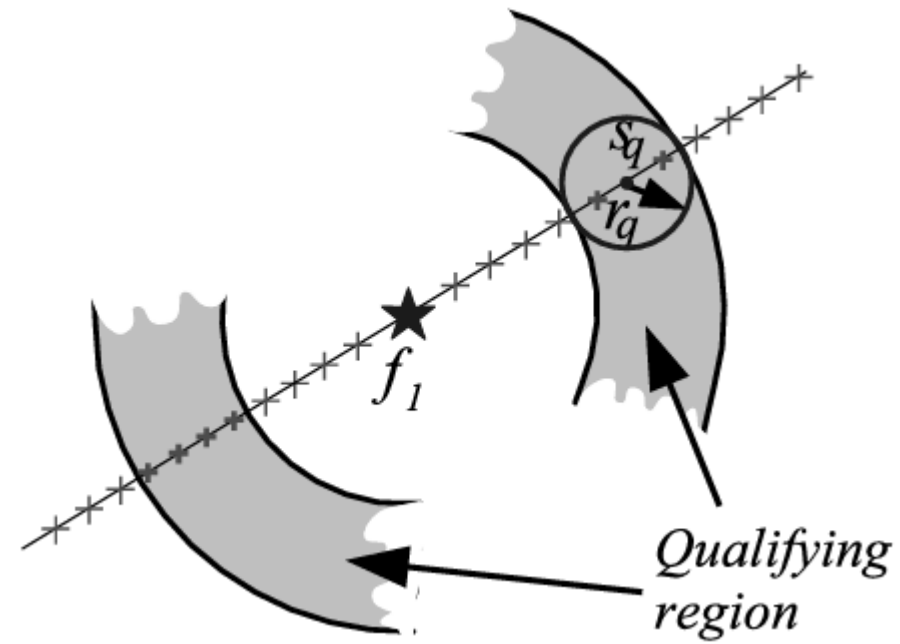
Minimum-bounding-Omni-region (mbOr)



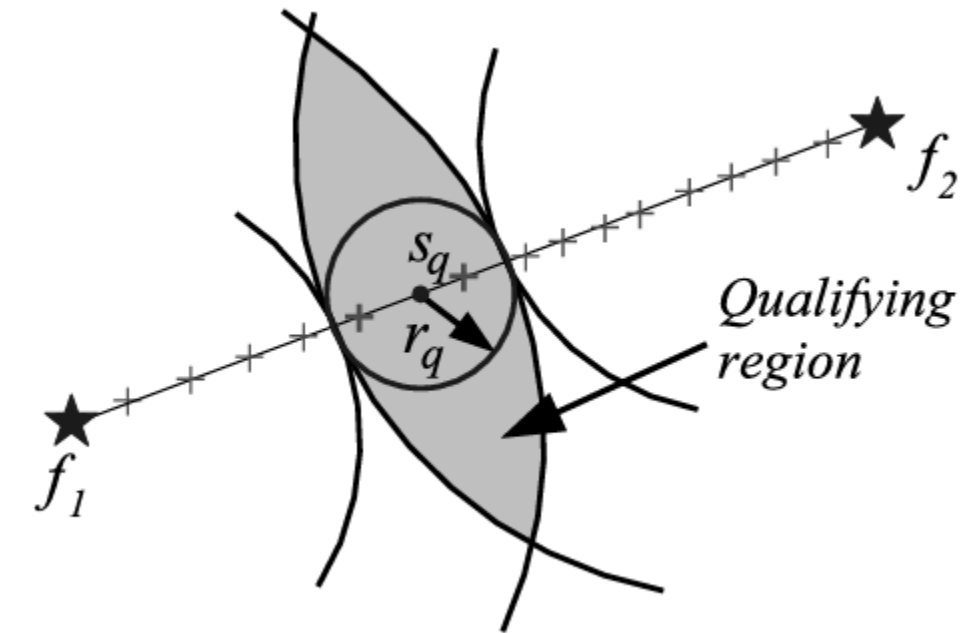
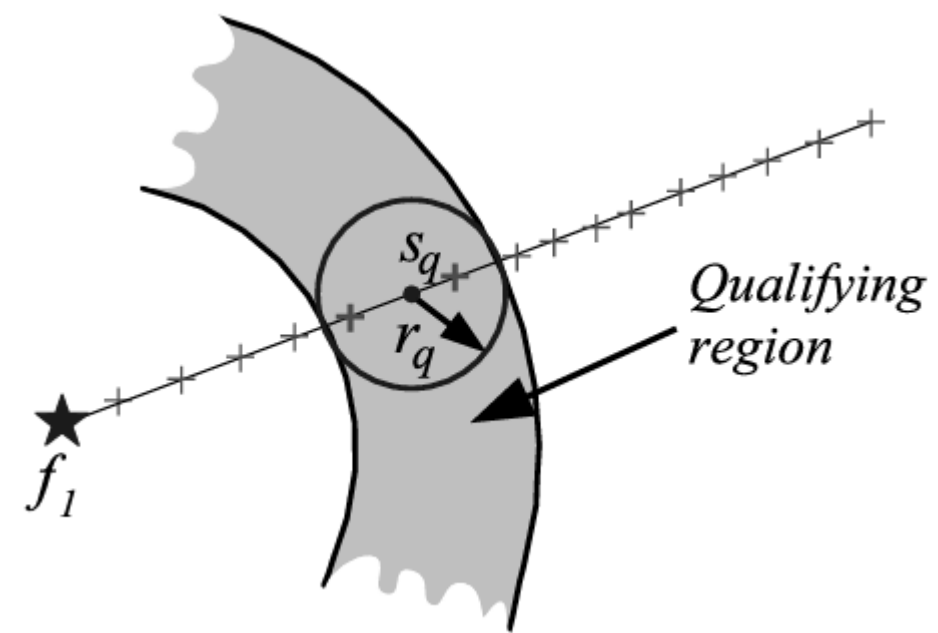
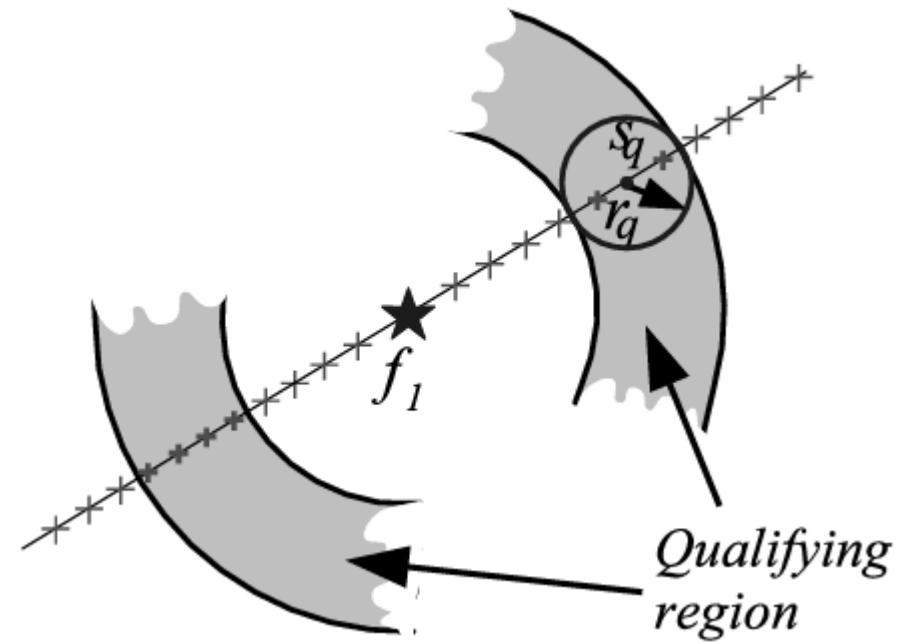
Omni-foci *base*



Omni-foci *base*



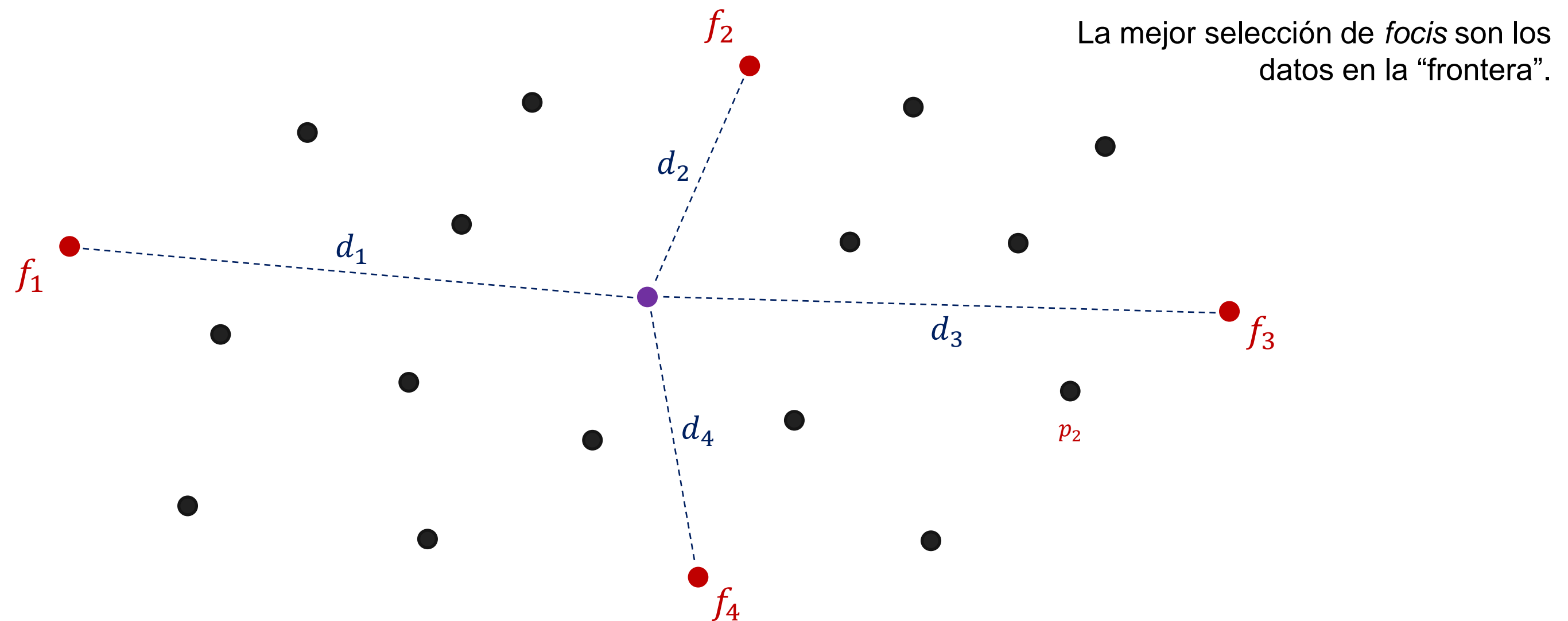
Omni-foci *base*



Omni-foci *base*

¿Como elegimos los foci?

Omni-foci *base*

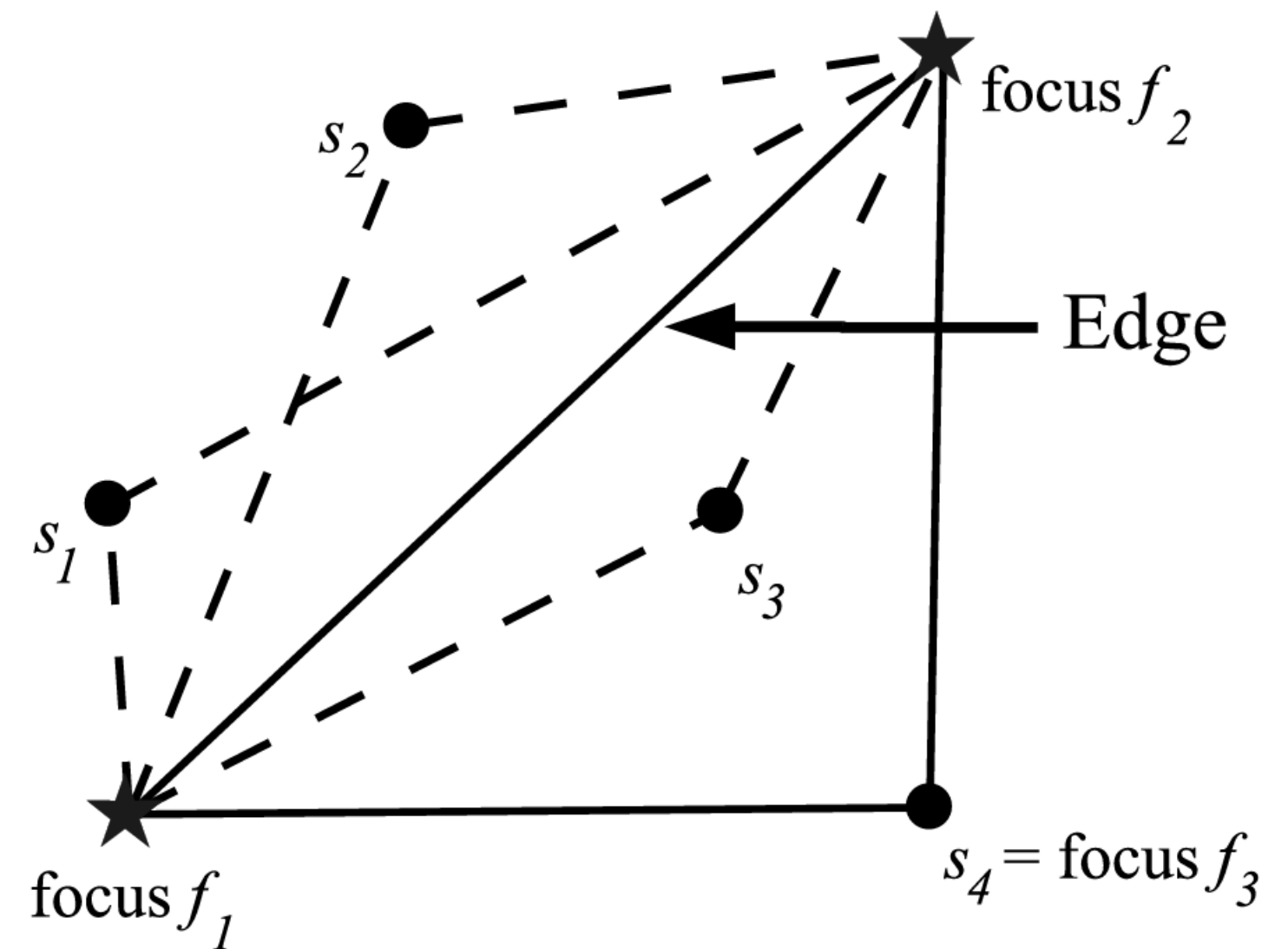


Hull of Foci (HF)

- Un punto cualquiera: p_0
- Buscar el punto más lejano a p_0 : f_1
- Buscar el punto más lejano a f_1 : f_2
- Los siguientes foci se obtienen con:

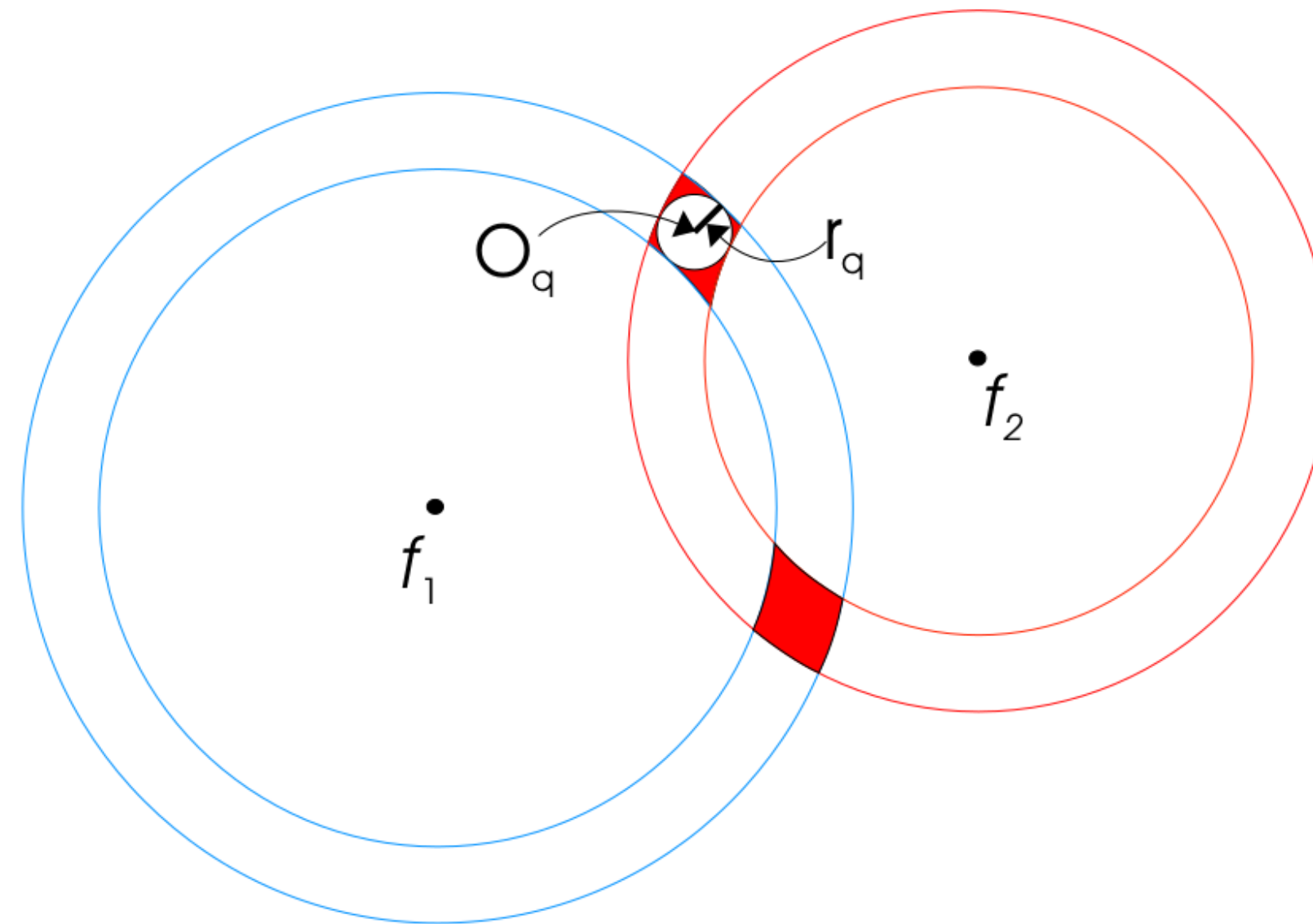
$$\min_{s_i} \sum_k |d(f_1, f_2) - d(f_k, s_i)|$$

edge

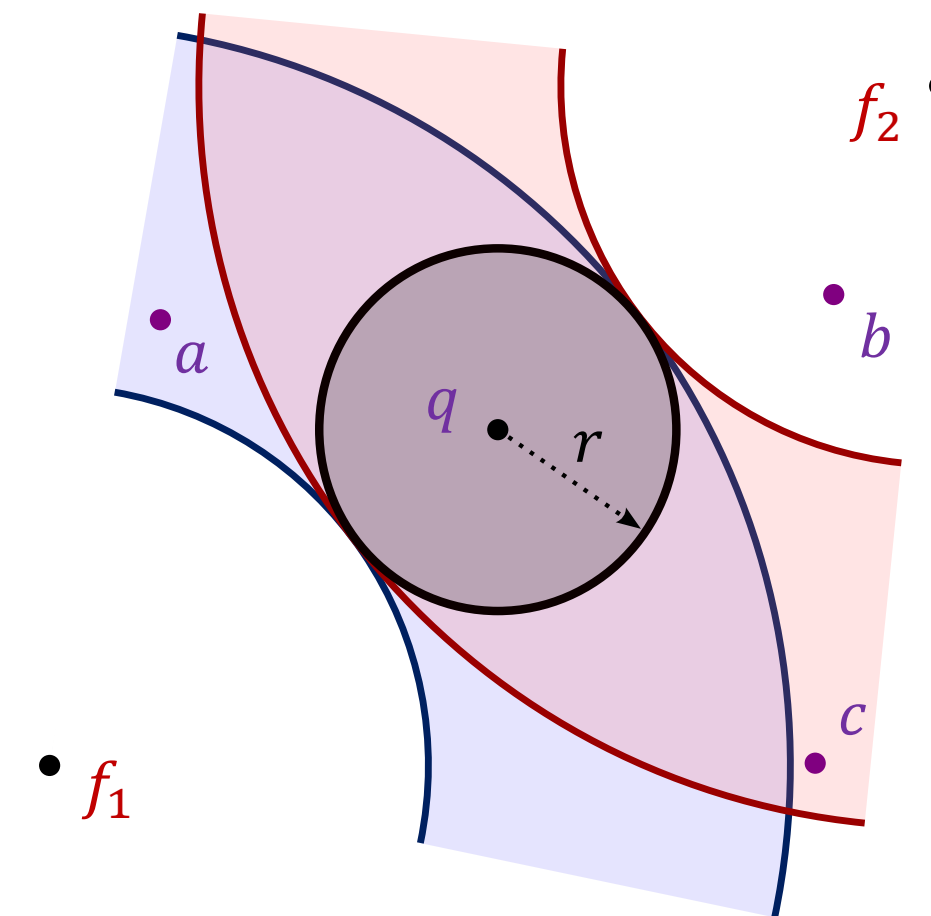
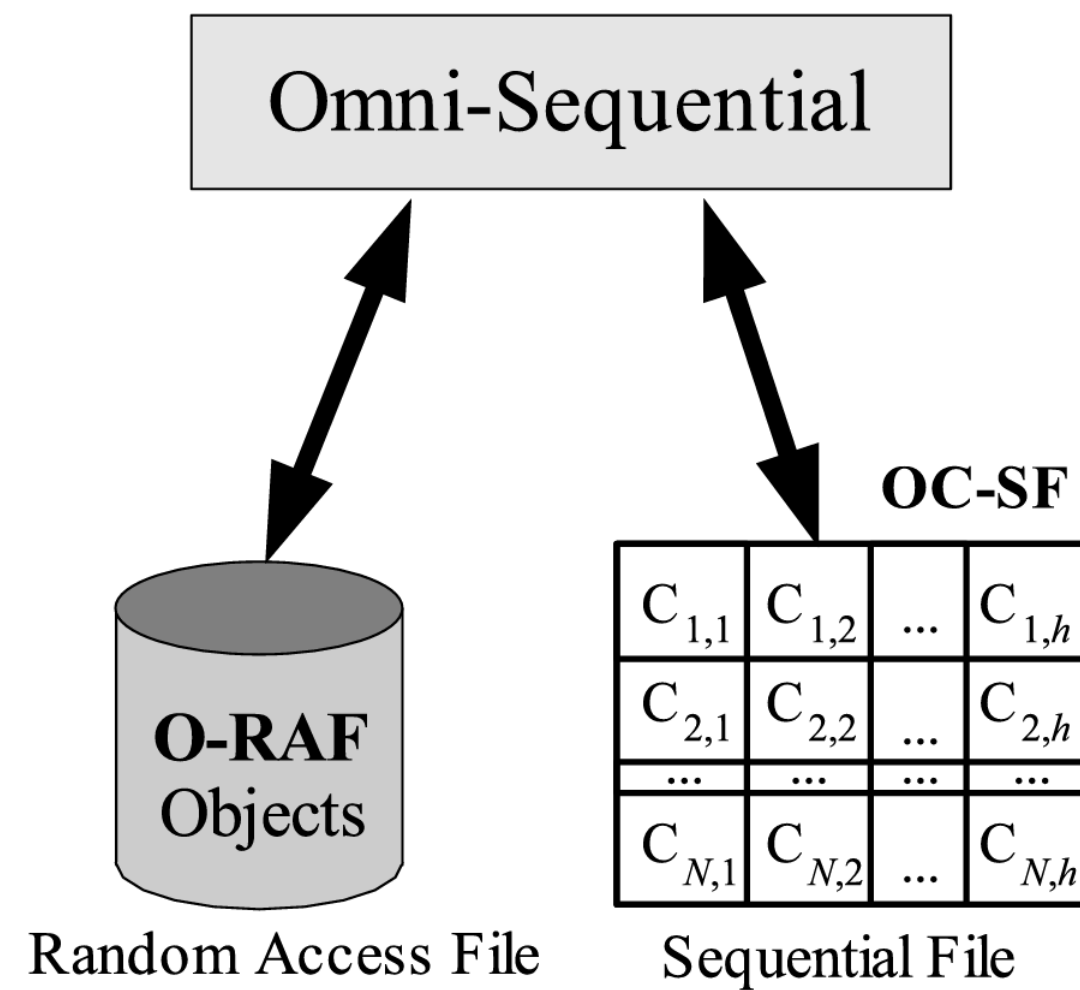


Omni-family

Range query



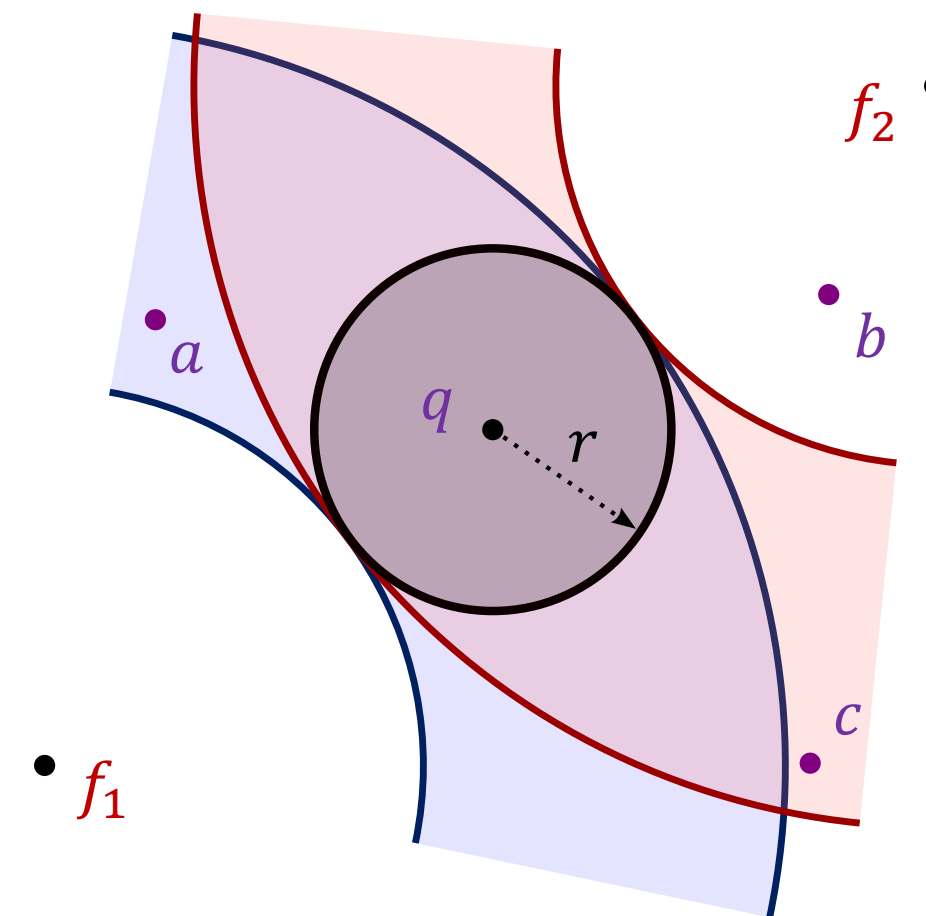
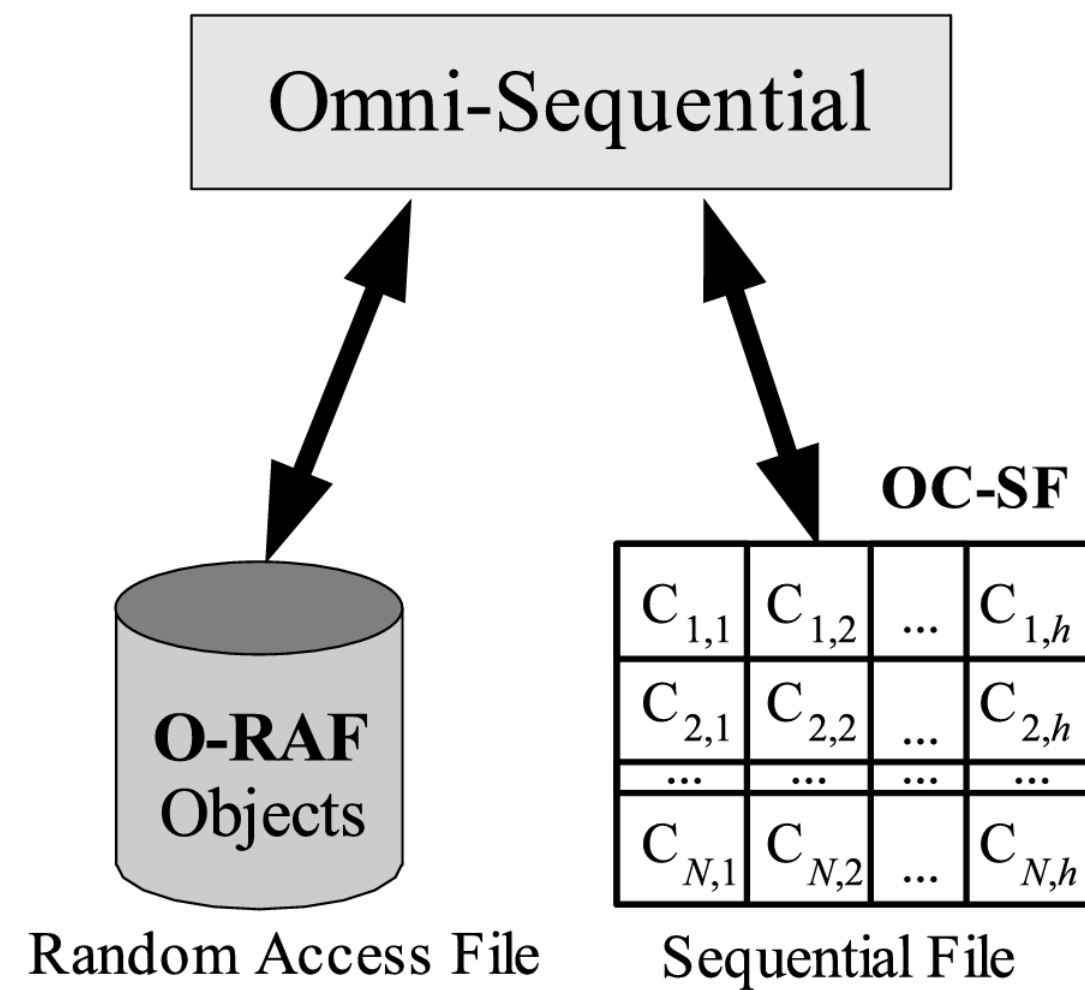
Omni-Sequential



$$f_1 \rightarrow [d(q, f_1) - r, d(q, f_1) + r]$$

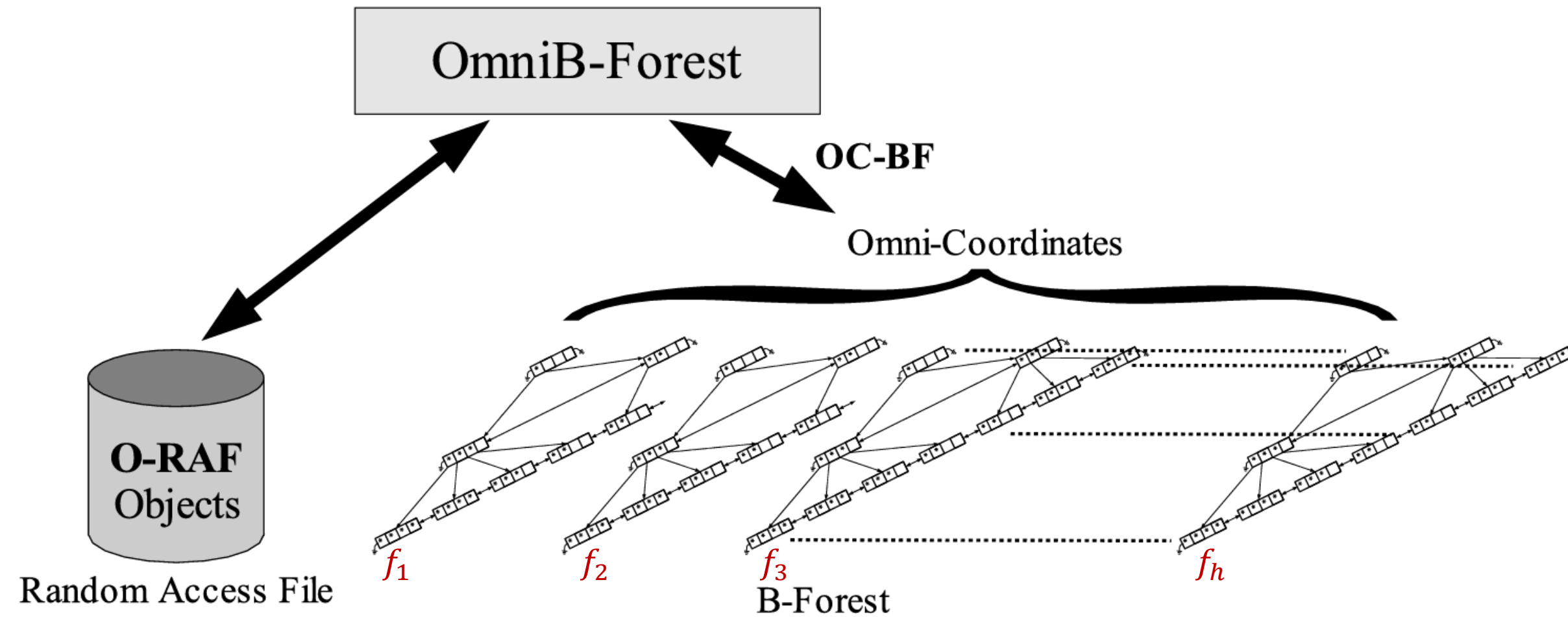
$$f_2 \rightarrow [d(q, f_2) - r, d(q, f_2) + r]$$

Omni-Sequential

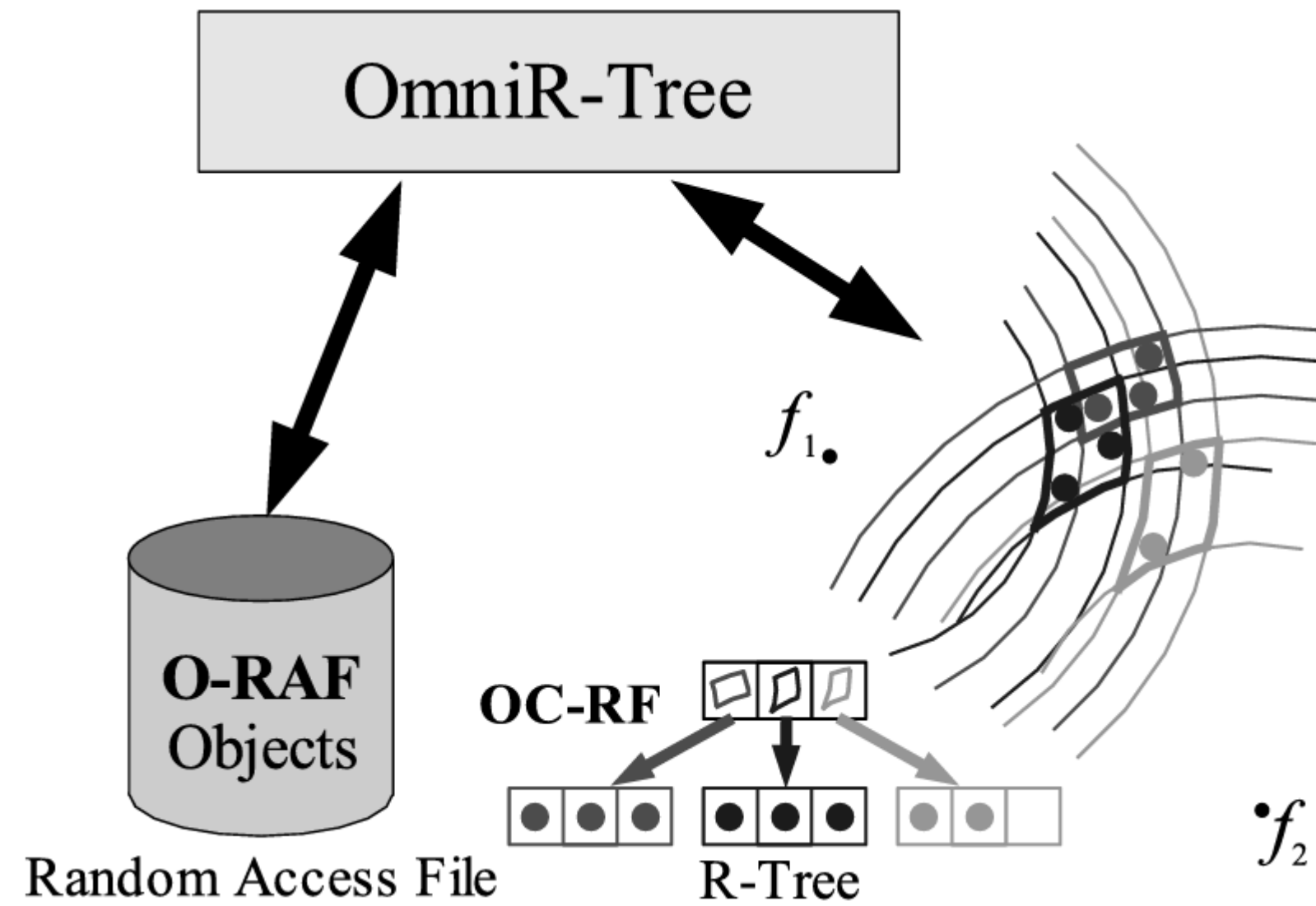


$$\begin{array}{ll} d(a, f_1) & d(a, f_2) \\ d(b, f_1) & d(b, f_2) \\ d(c, f_1) & d(c, f_2) \end{array}$$

OmniB-*Forest*

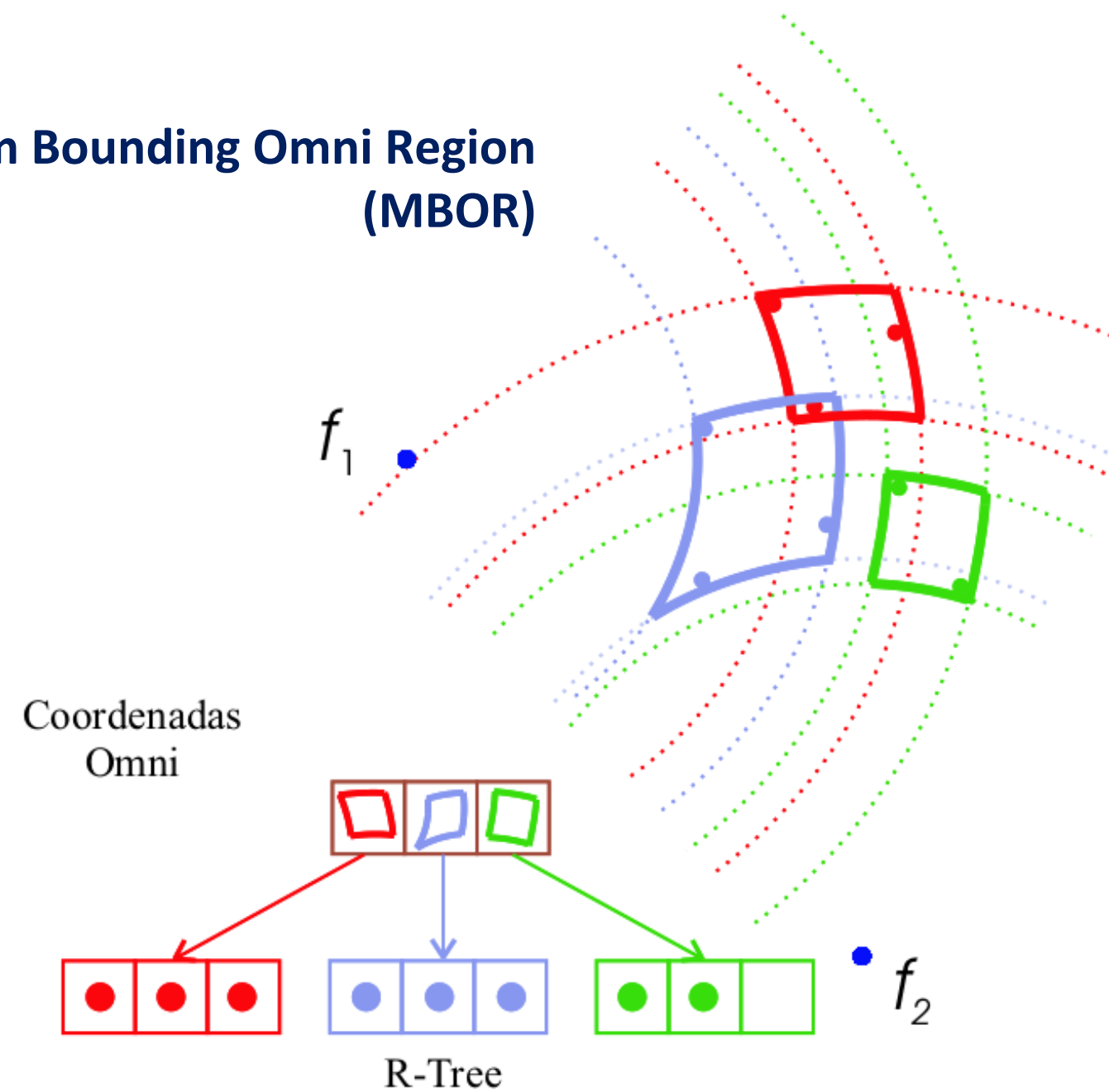


OmniR-Tree



OmniR-Tree

Minimum Bounding Omni Region (MBOR)





INGENIERIA
MECATRÓNICA

BIÓINGENIERÍA

CIENCIA DE
LA COMPUTACIÓN

INGENIERIA
AMBIENTAL

INGENIERIA
ENERGÉTICA

INDUSTRIAL

ELECTRÓNICA



UTEC
UNIVERSIDAD DE INGENIERÍA
Y TECNOLOGÍA

